



# LUND UNIVERSITY

## Simulering av adaptiv fartygsstyrning med Kalmanfilter

Aspernäs, Bertil; Källström, Claes

1975

*Document Version:*  
Förlagets slutgiltiga version

[Link to publication](#)

*Citation for published version (APA):*  
Aspernäs, B., & Källström, C. (1975). *Simulering av adaptiv fartygsstyrning med Kalmanfilter*. (Research Reports TFRT-3123). Department of Automatic Control, Lund Institute of Technology (LTH).

*Total number of authors:*  
2

### General rights

Unless other specific re-use rights are stated the following general rights apply:  
Copyright and moral rights for the publications made accessible in the public portal are retained by the authors and/or other copyright owners and it is a condition of accessing publications that users recognise and abide by the legal requirements associated with these rights.

- Users may download and print one copy of any publication from the public portal for the purpose of private study or research.
- You may not further distribute the material or use it for any profit-making activity or commercial gain
- You may freely distribute the URL identifying the publication in the public portal

Read more about Creative commons licenses: <https://creativecommons.org/licenses/>

### Take down policy

If you believe that this document breaches copyright please contact us providing details, and we will remove access to the work immediately and investigate your claim.

LUND UNIVERSITY

PO Box 117  
221 00 Lund  
+46 46-222 00 00

3123

SIMULERING AV ADAPTIV FARTYGSSTYRNING  
MED KALMANFILTER.

B. ASPERNÄS  
C. KÄLLSTRÖM

Rapport 7517(C) Juni 1975  
Inst. för Reglerteknik  
Lunds Tekniska Högskola

**SIMULERING AV ADAPTIV FARTYGSSTYRNING**

**MED KALMANFILTER**

Bertil Aspernäs

Claes Källström

Detta arbete har utförts med stöd från Styrelsen för Teknisk Utveckling (diarienr. 734187).

## INNEHÄLLSFÖRTECKNING

Sida

1.	Inledning	1
2.	Design av Kalman-filter	2
3.	Simulerings av Kalman-filter	8
4.	Simulerings av styrning med Kalman-filter	29
5.	Slutsatser	63
6.	Referenser	64

## APPENDIX - Programlistningar

## 1. INLEDNING.

Ett antal simuleringar av adaptiv fartygsstyrning med Kalman-filter presenteras i denna rapport. Simuleringarna är utförda med hjälp av det interaktiva program paketet SIMNON (se Elmgvist (1975)). Den fartygsmodell som simuleras efterliknar en Kockums-byggd 255 000 dwt tankbåt. Modellen finns utförligt beskriven i Aspernäs och Foisack (1975), där också ett flertal simuleringar av adaptiv styrning utan Kalman-filter visas. Några få experiment med en adaptiv autopilot i kombination med ett Kalman-filter har utförts på en verklig 255 000 dwt tankbåt. Dessa experiment finns beskrivna i Källström (1974).

Listningar av vid simuleringarna använda program finns givna i appendix.

## 2. DESIGN AV KALMANFILTER.

Den båtmodell som används finns beskriven i Aspernäs och Foisack (1975). Endast de linjariserade kraft- och momentekvationerna, inklusive ekvationen för kurser, har emellertid medtagits för att bestämma Kalman-filtret. Driftsfallet är fixerat till propellervarvtalet 77 varv/min, framåthastigheten 16 knop och djupgåendet 20 meter. Den linjära båtmodellen, med kraft- och momentstörningar från vind och vågor införda som extra tillstånd, blir då med normalisering enl. "bis"-systemet:

$$\begin{aligned}
 & \begin{pmatrix} (1-Y_v'') & (x_G''-Y_r'')L & 0 & 0 & 0 \\ (x_G''-N_v'')\frac{1}{L} & (k_{zz}''-N_r'') & 0 & 0 & 0 \\ 0 & 0 & 1 & 0 & 0 \\ 0 & 0 & 0 & 1 & 0 \\ 0 & 0 & 0 & 0 & 1 \end{pmatrix} \begin{pmatrix} dv \\ dr \\ d\psi \\ dF \\ dM \end{pmatrix} = \\
 & = \begin{pmatrix} Y_{uv}'' \frac{1}{L} u & (Y_{ur}'' - 1)u & 0 & 1 & 0 \\ N_{uv}'' \frac{1}{L^2} u & (N_{ur}'' - x_G'')\frac{1}{L} u & 0 & 0 & 1 \\ 0 & 1 & 0 & 0 & 0 \\ 0 & 0 & 0 & 0 & 0 \\ 0 & 0 & 0 & 0 & 0 \end{pmatrix} \begin{pmatrix} v \\ r \\ \psi \\ F \\ M \end{pmatrix} dt + \\
 & + \begin{pmatrix} Y_{clicl}'' \frac{1}{L} c_{clicl} \\ N_{clicl}'' \frac{1}{L^2} c_{clicl} \\ 0 \\ 0 \\ 0 \end{pmatrix} \delta_s dt + \begin{pmatrix} 0 \\ 0 \\ 0 \\ dw_1 \\ dw_2 \end{pmatrix} \quad (2.1)
 \end{aligned}$$

$$\begin{bmatrix} v_1 \\ v_2 \\ r_m \\ \psi_m \end{bmatrix} (t_k) = \begin{bmatrix} CMK & CMK \cdot \ell_1 & 0 & 0 \\ CMK & -CMK \cdot \ell_2 & 0 & 0 \\ 0 & CRG & 0 & 0 \\ 0 & 0 & CRG & 0 \end{bmatrix} \begin{bmatrix} v \\ r \\ \psi \\ F \end{bmatrix} (t_k) + \begin{bmatrix} e_1 \\ e_2 \\ e_3 \\ e_4 \end{bmatrix} (t_k)$$

$$t_k = kT_s, k = 0, 1, 2, \dots$$

Insignál:

$$\text{roderservoläge} \quad \delta_s \text{ [rad]}$$

Tillstånd:

tvärhastighet	$v$ [m/s]
girvinkelhastighet	$r$ [rad/s]
kurs	$\psi$ [rad]
kraft per massenhet	$F$ [m/s <sup>2</sup> ]
moment per massenhet	$M$ [rad/s <sup>2</sup> ]

Mätsignaler:

tvärhastighet i fören	$v_1$ [knop]
tvärhastighet i aktern	$v_2$ [knop]
girvinkelhastighet	$r_m$ [gr/s]
kurs	$\psi_m$ [gr]

Följande parametervärden används:

$$\begin{aligned}
 l - y_v'' &= 2,5 \\
 x_G'' - y_r'' &= 0,050 \\
 y_{uv}'' &= -1,083 \\
 y_{ur}'' - 1 &= -0,625 \\
 y_{c|c|\delta}'' &= 0,197 \\
 x_G'' - N_v'' &= 0,040 \\
 k_{zz}'' - N_r'' &= 0,16
 \end{aligned}$$

$N_{uv}''$	= -0,329
$N_{ur}'' - x_G''$	= 0,2122
$N_{c c \delta}''$	= -0,092
L	= 329,18 m
$\ell_1$	= 148,7 m
$\ell_2$	= 131,1 m
u	= 8,23 m/s
c	= 8,23 m/s
CMK	= 1,9438 knop·s/m
CRG	= 57,2958 gr
$T_s$	= 1 s

Det förutsätts att  $\{w'(t), 0 \leq t \leq \infty\}$  är en Wiener-process, med inkrementell kovariansmatris  $R_w dt$ , vilken är oberoende av initialtillståndet och av mätfelen. Mätfelen  $\{e(t_k)\}$  antas vara oberoende och normalfördelade med medelvärde noll och kovariansmatris  $R_e$ .

Det bör påpekas att det processbrus som används i den simulerade båten är färgat och dessutom infört på ett något annorlunda sätt än vad som förutsätts i modellen (2.1). Dessutom är den simulerade båtmodellen olinjär. Se vidare Aspernäs och Foisack (1975).

Systemet skrives nu på standardform

$$\begin{cases} dx = Axdt + Budt + dw \\ y(t_k) = Cx(t_k) + e(t_k) \end{cases} \quad (2.2)$$

där matriserna har följande numeriska värden:

$$A = \begin{bmatrix} -0,00985 & -1,85 & 0 & 0,402 & -41,4 \\ -0,000149 & -0,0318 & 0 & -0,000305 & 6,28 \\ 0 & 1 & 0 & 0 & 0 \\ 0 & 0 & 0 & 0 & 0 \\ 0 & 0 & 0 & 0 & 0 \end{bmatrix}$$

$$B = \begin{bmatrix} 0,0146 \\ -0,000291 \\ 0 \\ 0 \\ 0 \end{bmatrix} \quad (2.3)$$

$$C = \begin{bmatrix} 1,94 & 289 & 0 & 0 & 0 \\ 1,94 & -255 & 0 & 0 & 0 \\ 0 & 57,3 & 0 & 0 & 0 \\ 0 & 0 & 57,3 & 0 & 0 \end{bmatrix}$$

Systemen (2,2) och (2,3) sampelas med samplingsintervallet 1s och det förutsätts då att insignalen u är konstant över samplingsintervallet:

$$\begin{cases} x(t+1) = \Phi x(t) + ru(t) + w(t) \\ y(t) = Cx(t) + e(t) \end{cases} \quad (2.4)$$

där

$$\Phi = \begin{bmatrix} 0,990 & -1,81 & 0 & 0,400 & -46,9 \\ -0,000146 & 0,969 & 0 & -0,000330 & 6,19 \\ -0,0000733 & 0,984 & 1 & -0,000161 & 3,11 \\ 0 & 0 & 0 & 1 & 0 \\ 0 & 0 & 0 & 0 & 1 \end{bmatrix}$$

$$(2.5)$$

$$r = \begin{bmatrix} 0,0148 \\ -0,000288 \\ -0,000144 \\ 0 \\ 0 \end{bmatrix}$$

och där C ges av (2.3).

Kovariansmatrisen för mätbruset  $R_e$  väljs till

$$R_e = \begin{bmatrix} 0,0025 & 0 & 0 & 0 \\ 0 & 0,0025 & 0 & 0 \\ 0 & 0 & 0,0004 & 0 \\ 0 & 0 & 0 & 0,0025 \end{bmatrix}$$

Problemet är nu att välja lämplig kovariansmatris för tillståndsbruset  $R_w$ . Efter att ha simulerat några olika Kalman-filter designade med olika  $R_w$  valdes

$$R_w = \begin{bmatrix} 0 & 0 & 0 & 0 & 0 \\ 0 & 0 & 0 & 0 & 0 \\ 0 & 0 & 0 & 0 & 0 \\ 0 & 0 & 0 & 10^{-11} & 0 \\ 0 & 0 & 0 & 0 & 10^{-13} \end{bmatrix}$$

Tillståndsbruset och mätbruset antages vara okorrelerade, vilket medför att  $R_{we} = 0$ .

Kalman-filtret får följande utseende (se Åström (1970)):

$$\begin{cases} \hat{x}(t|t-1) = \hat{\Phi}\hat{x}(t-1|t-1) + \Gamma u(t-1) \\ \hat{x}(t|t) = \hat{x}(t|t-1) + K\varepsilon(t) \\ y(t) = C\hat{x}(t|t-1) + \varepsilon(t) \end{cases} \quad (2.6)$$

där  $\hat{x}(t|t-1)$  betecknar estimatet av  $x$  vid tidpunkten t baserat på data upp till och med tidpunkten t-1.  $\Phi$ ,  $\Gamma$  och C är samma matriser som i (2.4) och deras numeriska värden finns i (2.3) och (2.5). Filterförstärkningen K beräknas m.h.a. SYNPAC till

$$K = 10^{-3} \begin{bmatrix} -1,34 & 4,54 & -3,87 & -4,79 \\ 0,174 & -0,193 & 0,242 & 0,182 \\ 0,756 & -0,972 & 1,14 & 2,04 \\ 0,0440 & 0,0449 & -0,000593 & 0,00447 \\ 0,00350 & -0,00361 & 0,00468 & 0,00211 \end{bmatrix}$$

Listning av programmet som utför Kalman-filtreringen enl.  
(2.6) finns i appendix.

### 3. SIMULERING AV KALMANFILTER.

Den fartygsmodell som simuleras finns beskriven i Aspernäs och Foisack (1975). Driftfallet är i fortsättningen alltid fixerat till propellervarvtalet 77 varv/min och framåthastigheten 16 knop. Vindriktningen visas i fig. 3.1.

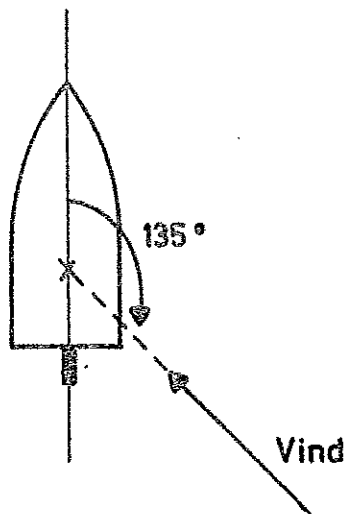


Fig. 3.1 - Vindriktningen under simuleringsarna.

Medelvärdet  $F_0$  och  $M_0$  för kraft och moment från vind och vågor för två fall finns givna i tabell 3.1.

	$F_0$		$M_0$	
	$\text{m/s}^2$	knop/s	$\text{rad/s}^2$	$\text{gr/s}^2$
Svag vind (6 - 9 m/s)	$-1,19 \cdot 10^{-3}$	$-2,31 \cdot 10^{-3}$	$3,25 \cdot 10^{-7}$	$1,86 \cdot 10^{-5}$
Hård vind (16 - 19 m/s)	$-2,60 \cdot 10^{-3}$	$-5,06 \cdot 10^{-3}$	$6,51 \cdot 10^{-7}$	$3,73 \cdot 10^{-5}$

Tabell 3.1 - Medelvärdet  $F_0$  och  $M_0$  för kraft och moment från vind och vågor för två vindförhållanden.

Vid simuleringsarna överlagras medelvärdena  $F_0$  och  $M_0$  med färgat brus. (se Aspernäs och Foissack (1975)). I fig. 3.2 och 3.3 visas kraften  $F$  och momentet  $M$  från vind och vågor för de två fallen svag och hård vind.

I fig. 3.4 visas i en simulerings att tillståndsestimaten  $\hat{F}$  och  $\hat{M}$  svänger in mot korrekta värden redan efter ca. 10 minuter. I fortsättningen sätts därför alltid initialtillståndet i Kalman-filtret till

$$\hat{x}(0) = \begin{bmatrix} \hat{v}(0) \\ \hat{r}(0) \\ \hat{\psi}(0) \\ \hat{F}(0) \\ \hat{M}(0) \end{bmatrix} = \begin{bmatrix} 0 \\ 0 \\ 0 \\ F_0 \\ M_0 \end{bmatrix} \quad (3.1)$$

där  $F_0$  och  $M_0$  får värden från tabell 3.1, beroende på vilken vind som simuleras.

I fig. 3.5 visas mätsignaler, verkligt tillstånd och tillståndsestimat vid djupgåendet 20 m och svag vind, när båten styrs med en adaptiv autopilot. Simulerings vid samma djupgående men vid hård vind visas i fig. 3.6. Djupgåendet 10,5 m och svag vind resp. hård vind finns i fig. 3.7 och 3.8. Överensstämmelsen mellan verkligt tillstånd och tillståndsestimat från Kalman-filtret är för samtliga simuleringsar mycket god.

Kalman-filtrets uppförande är med andra ord inte speciellt känsligt för ändringar i vare sig djupgående eller vindstyrka. Däremot har känsligheten för fartändringar ej undersöks och inte heller hur Kalman-filtrets uppförande ändras om någon av mätsignalerna faller ifrån.

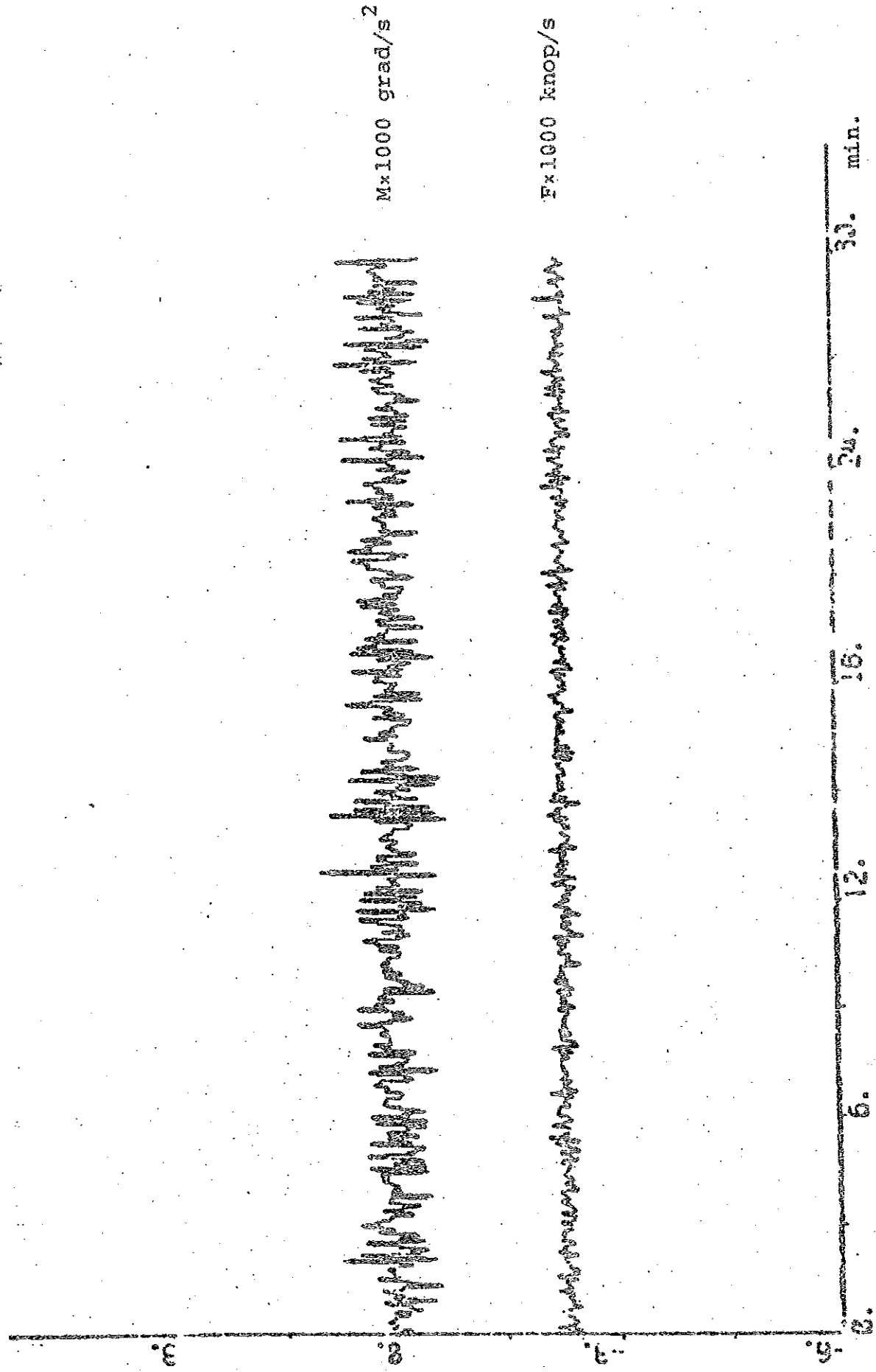


Fig. 3.2 - Kraften F och momentet M från vind och vågor vid svag vind.

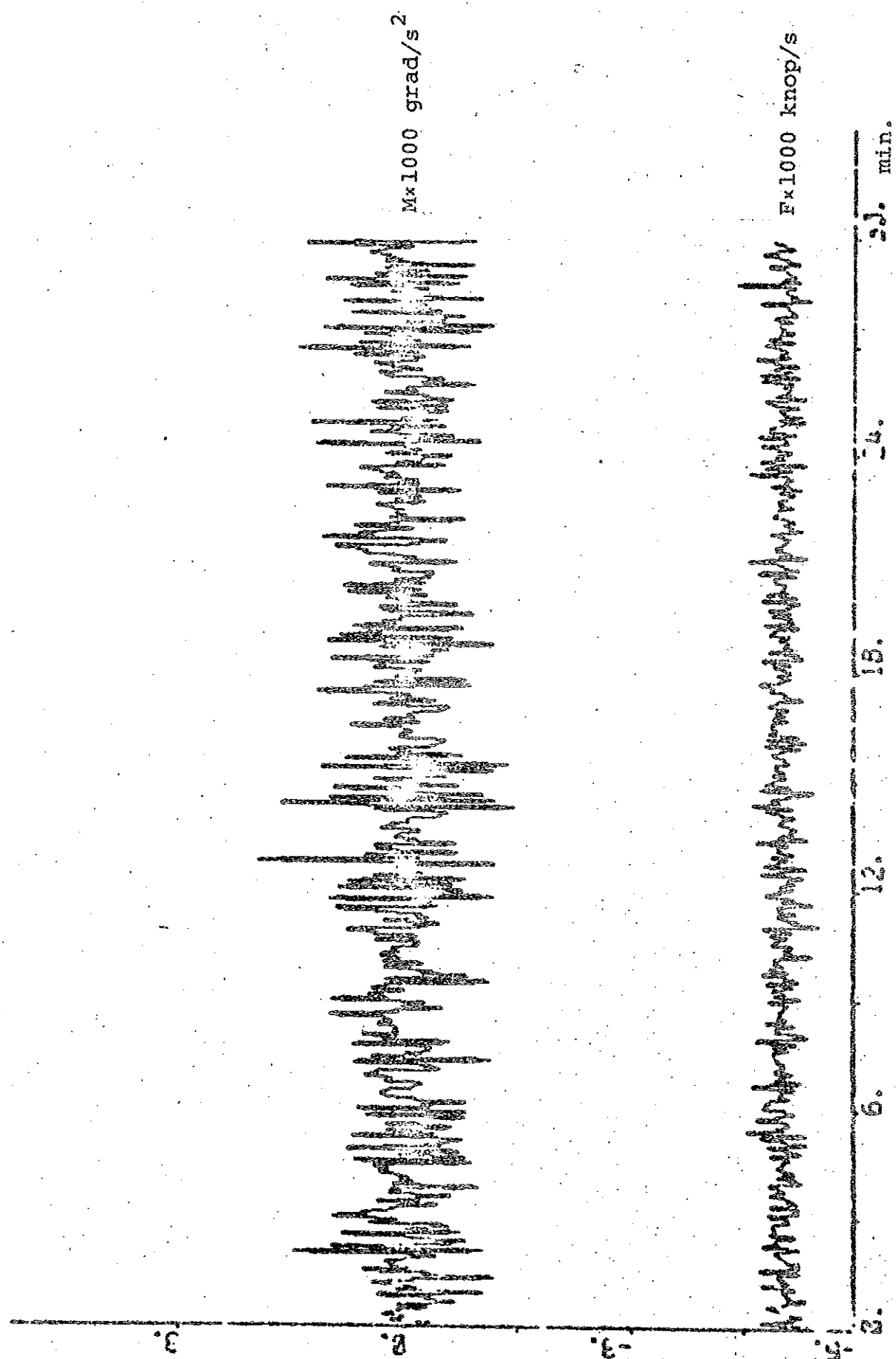


Fig. 3.3 - Kraften  $F$  och momentet  $M$  från vind och vågor vid hård vind.

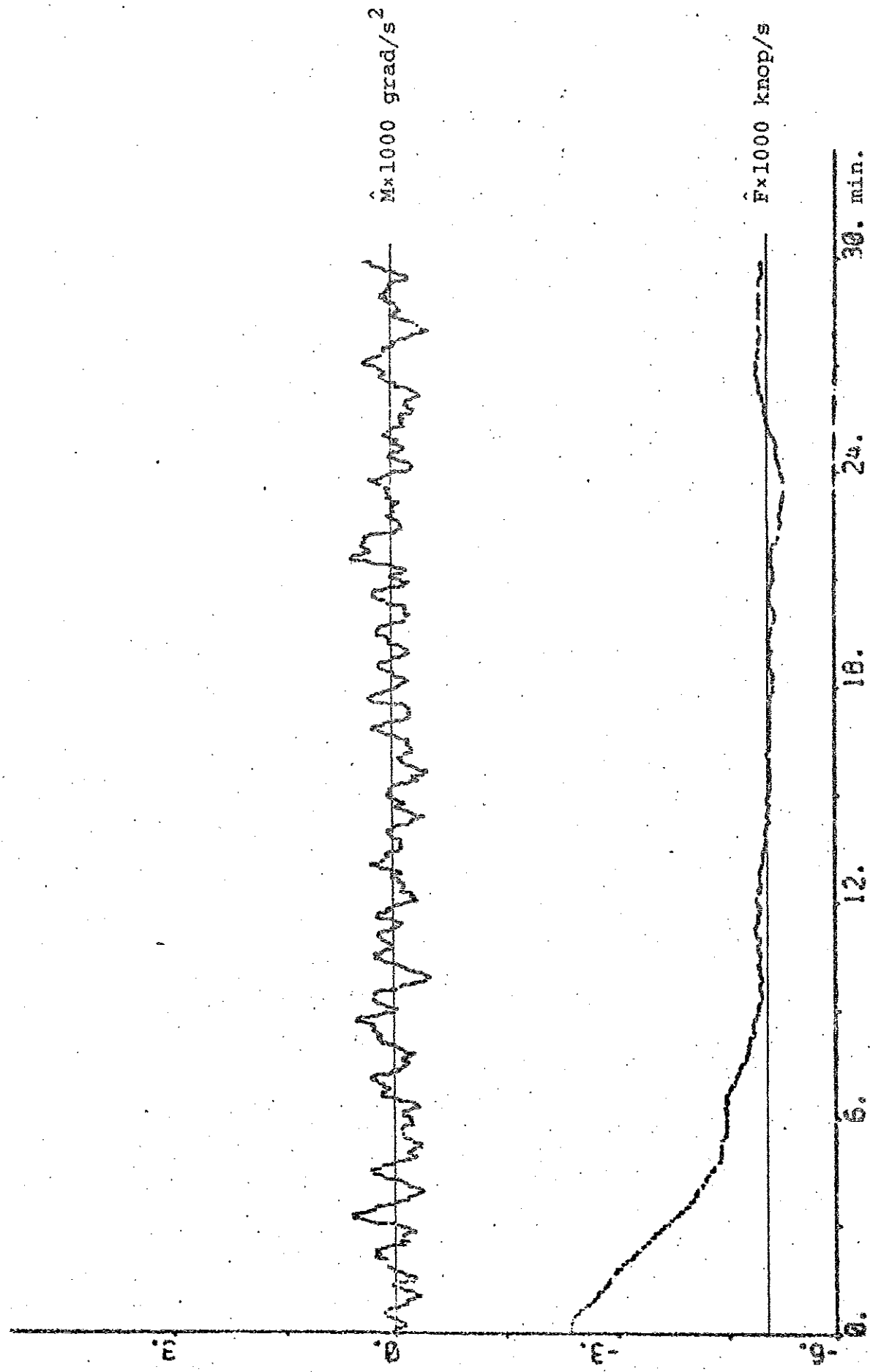


Fig. 3.4 - Insväningningen av tillståndsestimatens  $\hat{F}$  och  $\hat{M}$  vid hård vind när  $\hat{F}(0)$  och  $\hat{M}(0)$  har värden för svag vind.

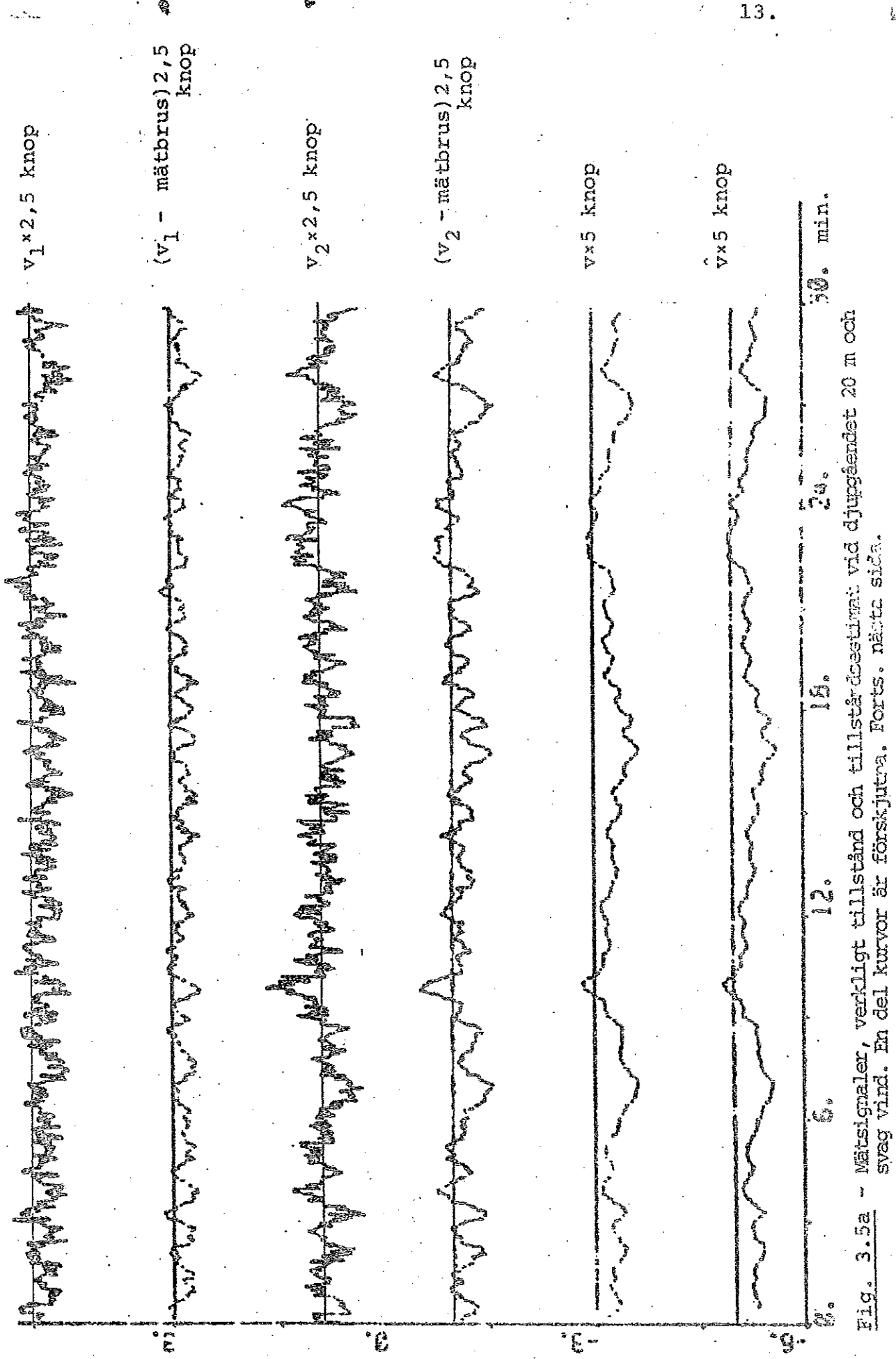


Fig. 3.5a - Mätsignaler, verkligt tillstånd och tillgängeligt vid djupgåendet 20 m och svag vind. En del kurvor är förskjutna. Forts. nästa sida.

14.

30. min.

71.

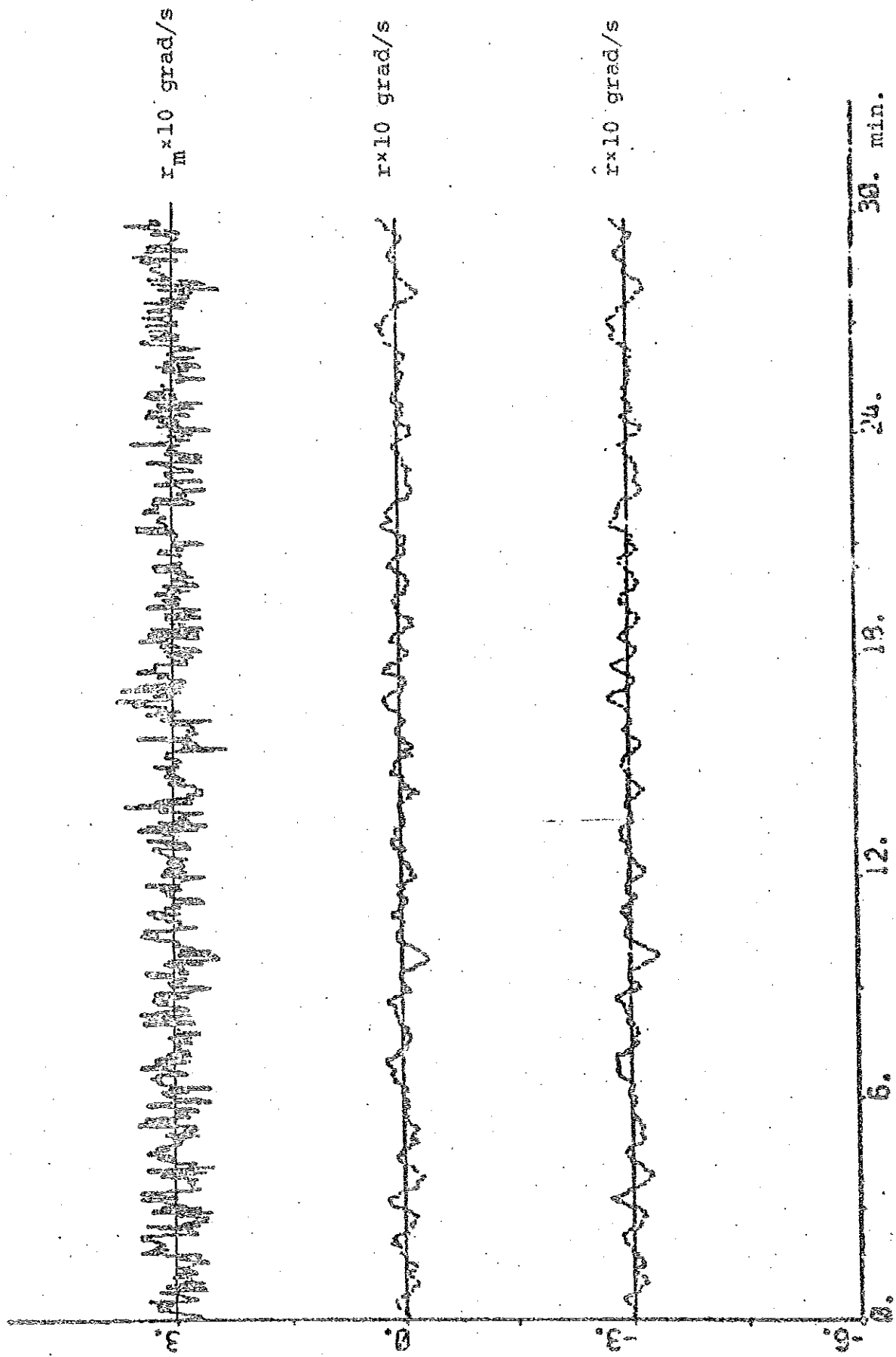
13.

12.

6.

6.

FIG. 3.5D



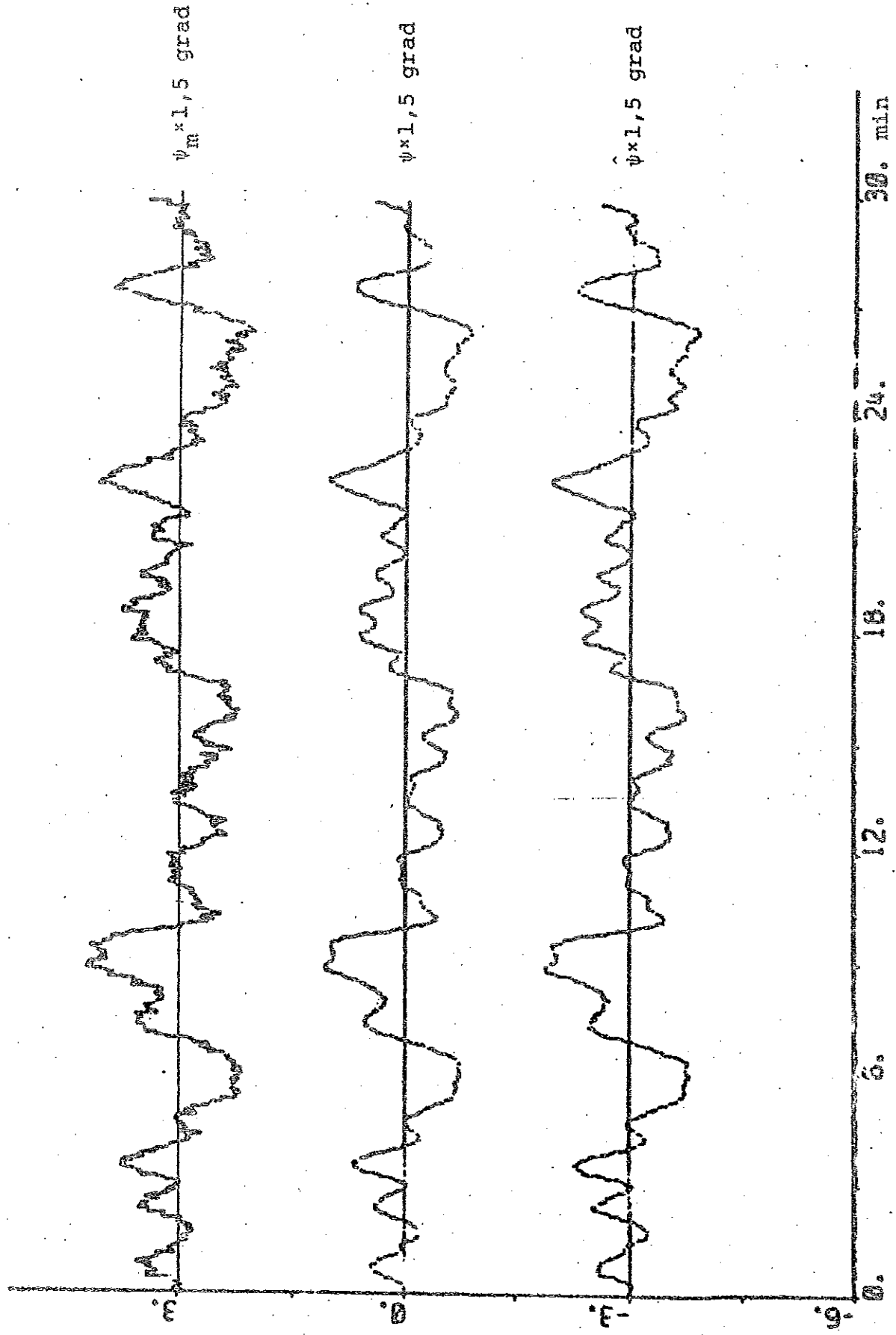


Fig. 3.5c

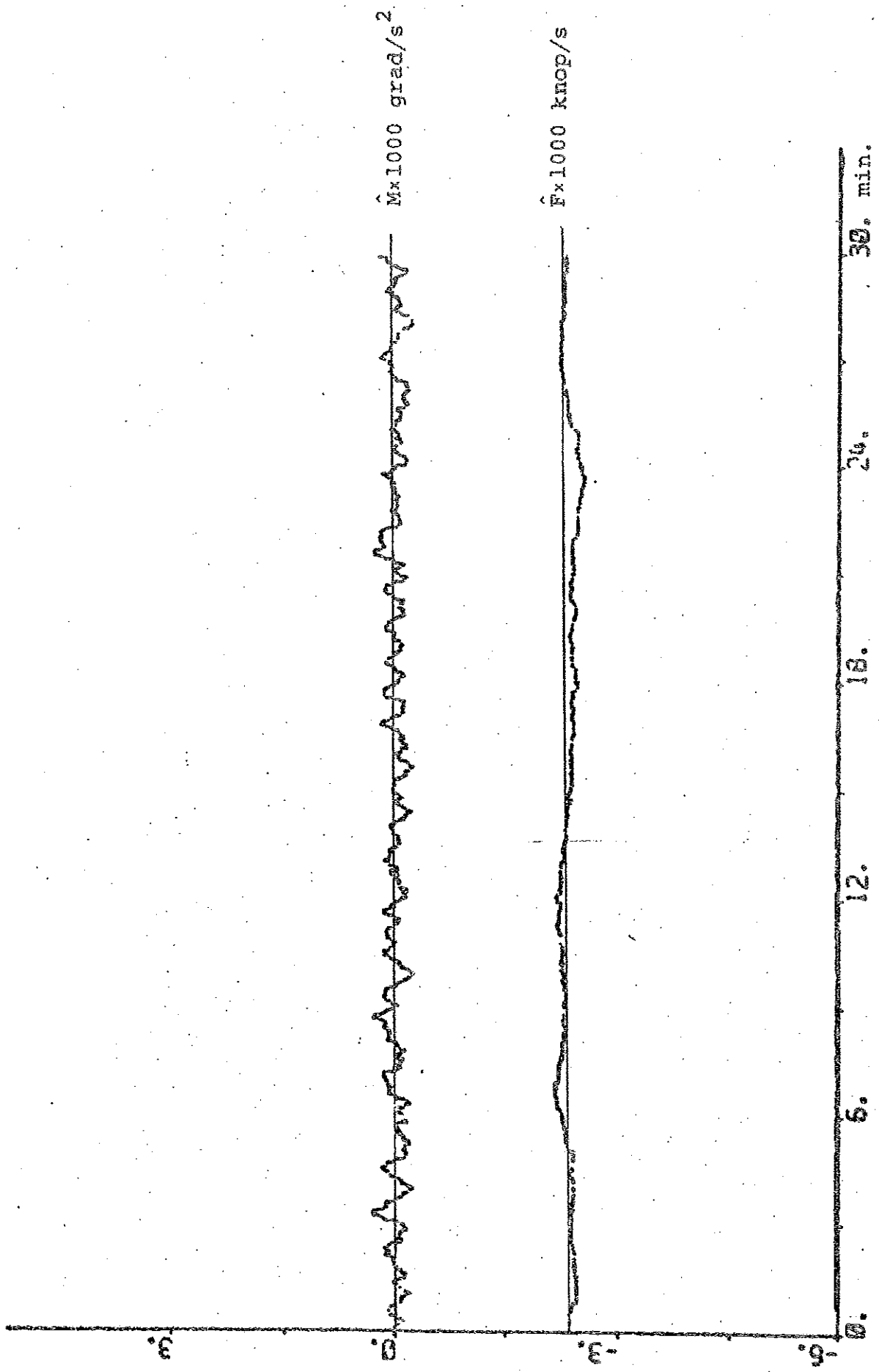


Fig. 3.5d

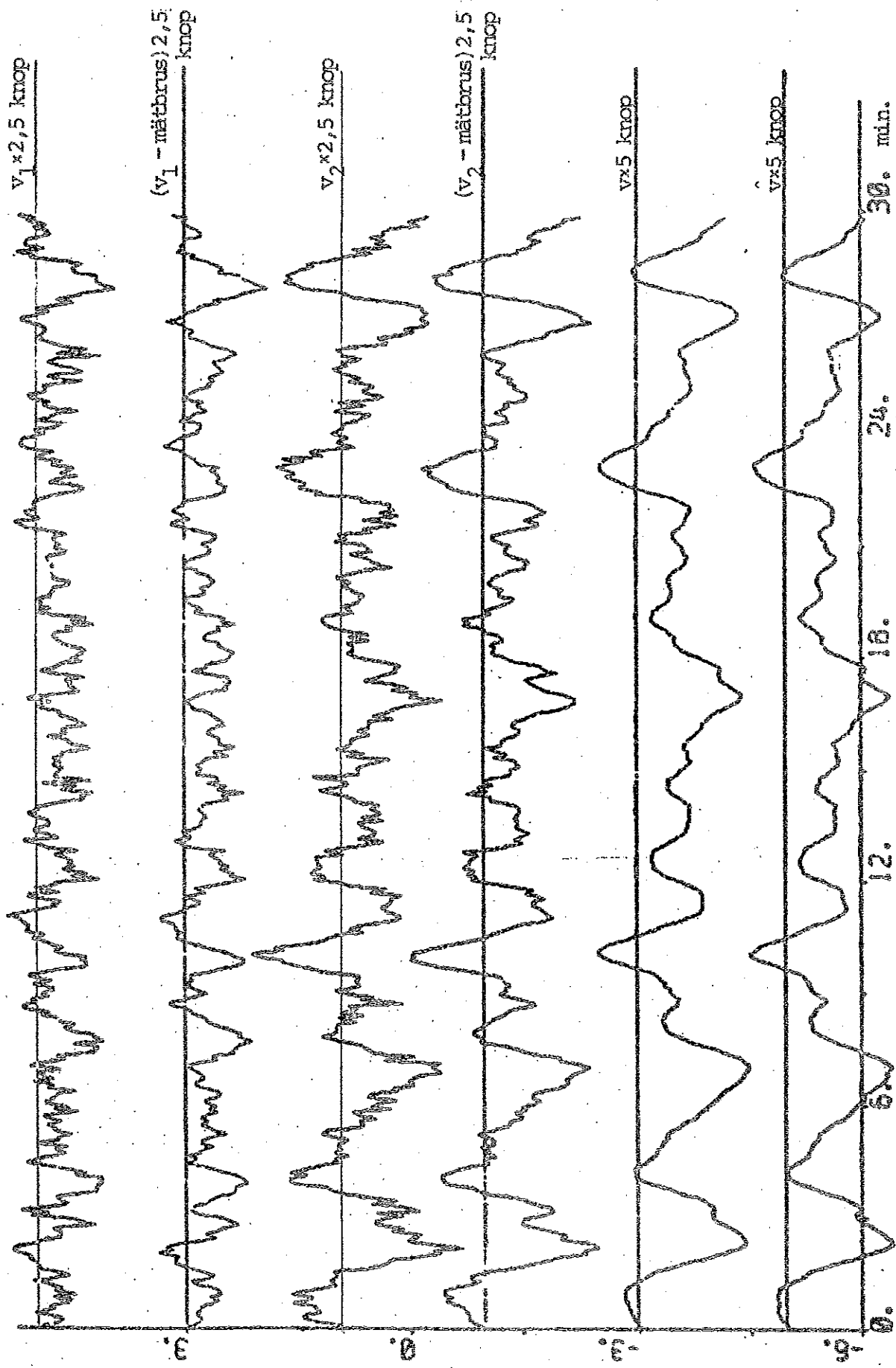


Fig. 3.6a - Matsignaler, verkligt tillstånd och tillståndssättat vid djupgåendet 20 m och hård vind.  
En del kurvor är förskjutna. Forts. nästa sida.

18.

30. min

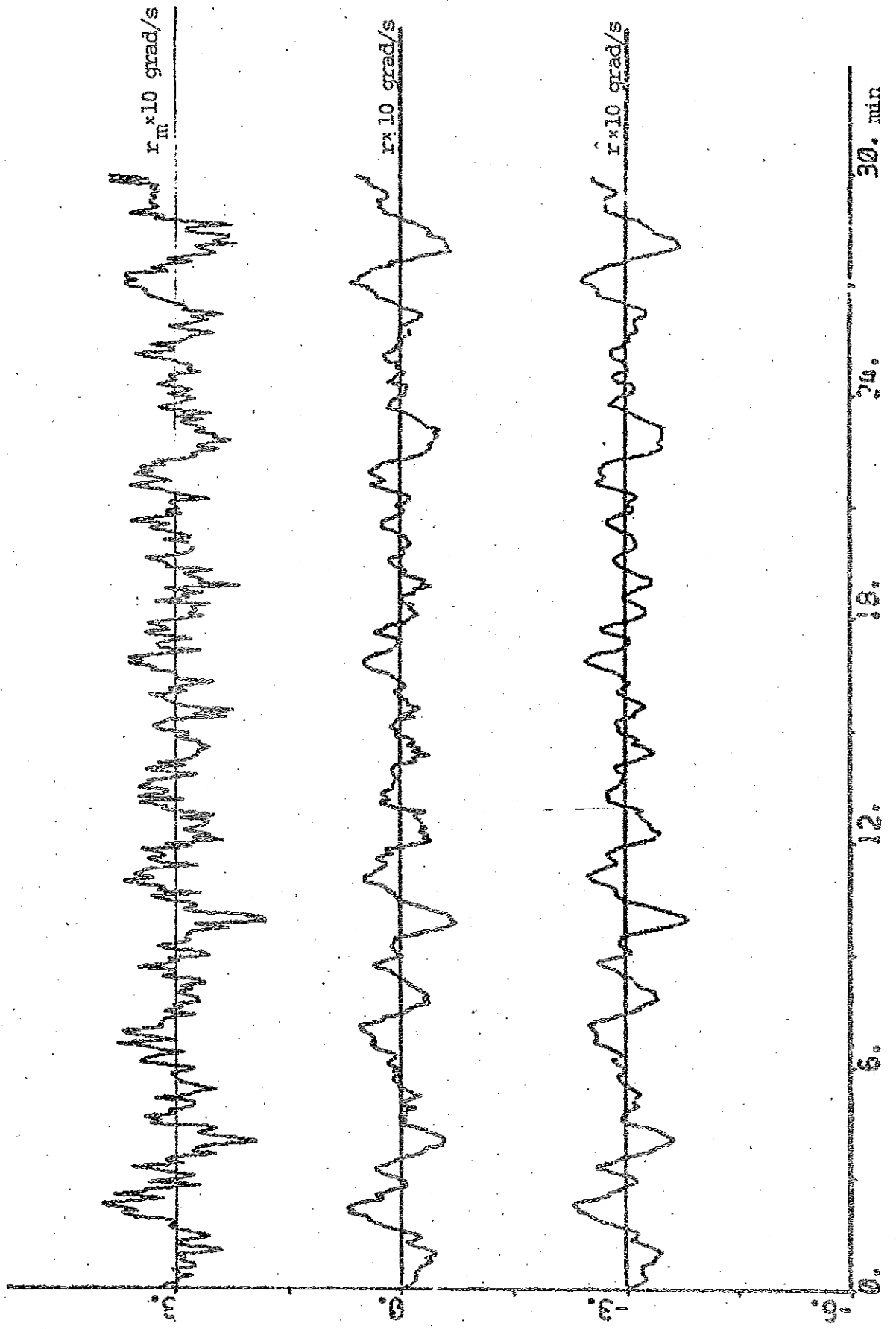
24.

12.

6.

0.

Fig. 3.6b



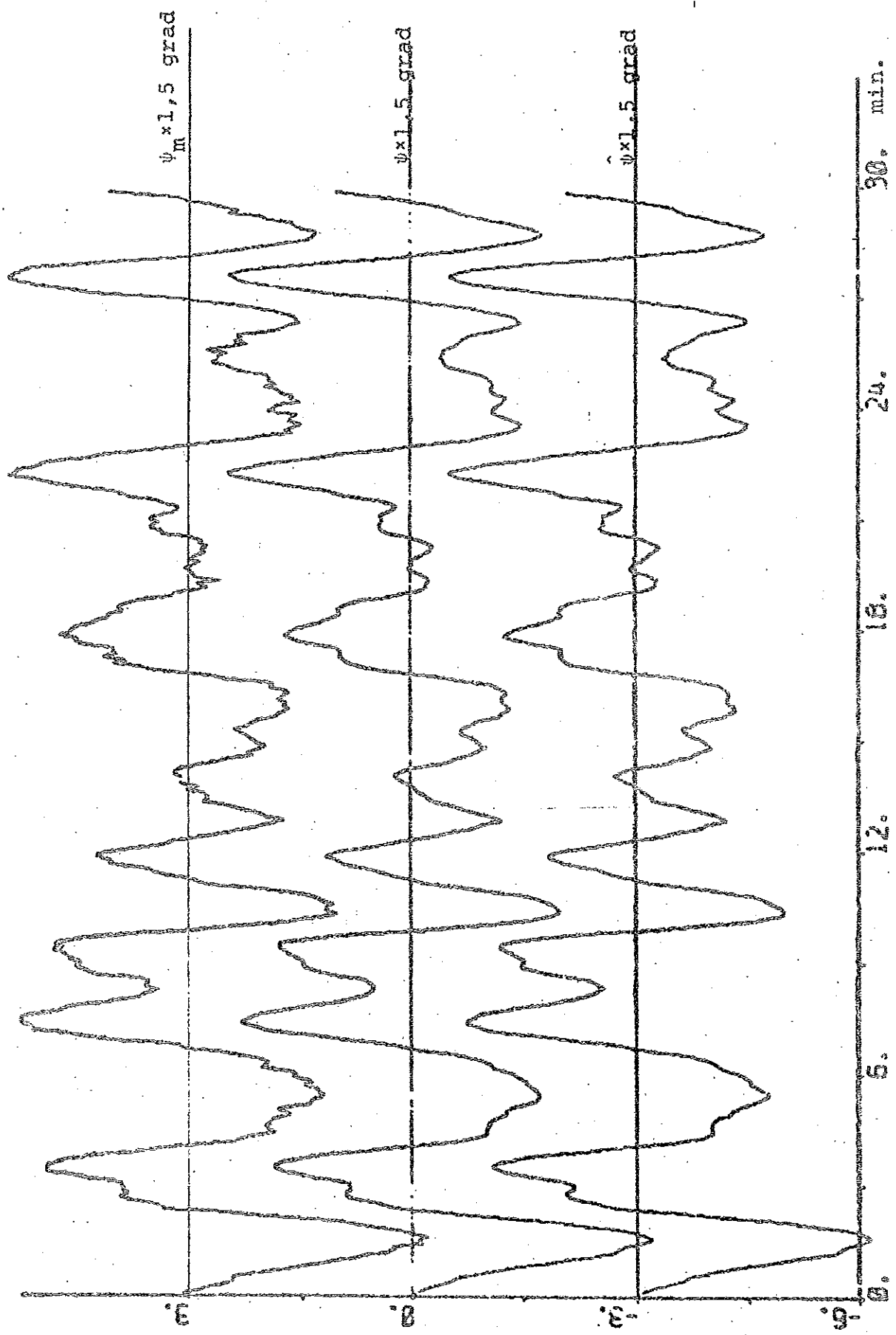
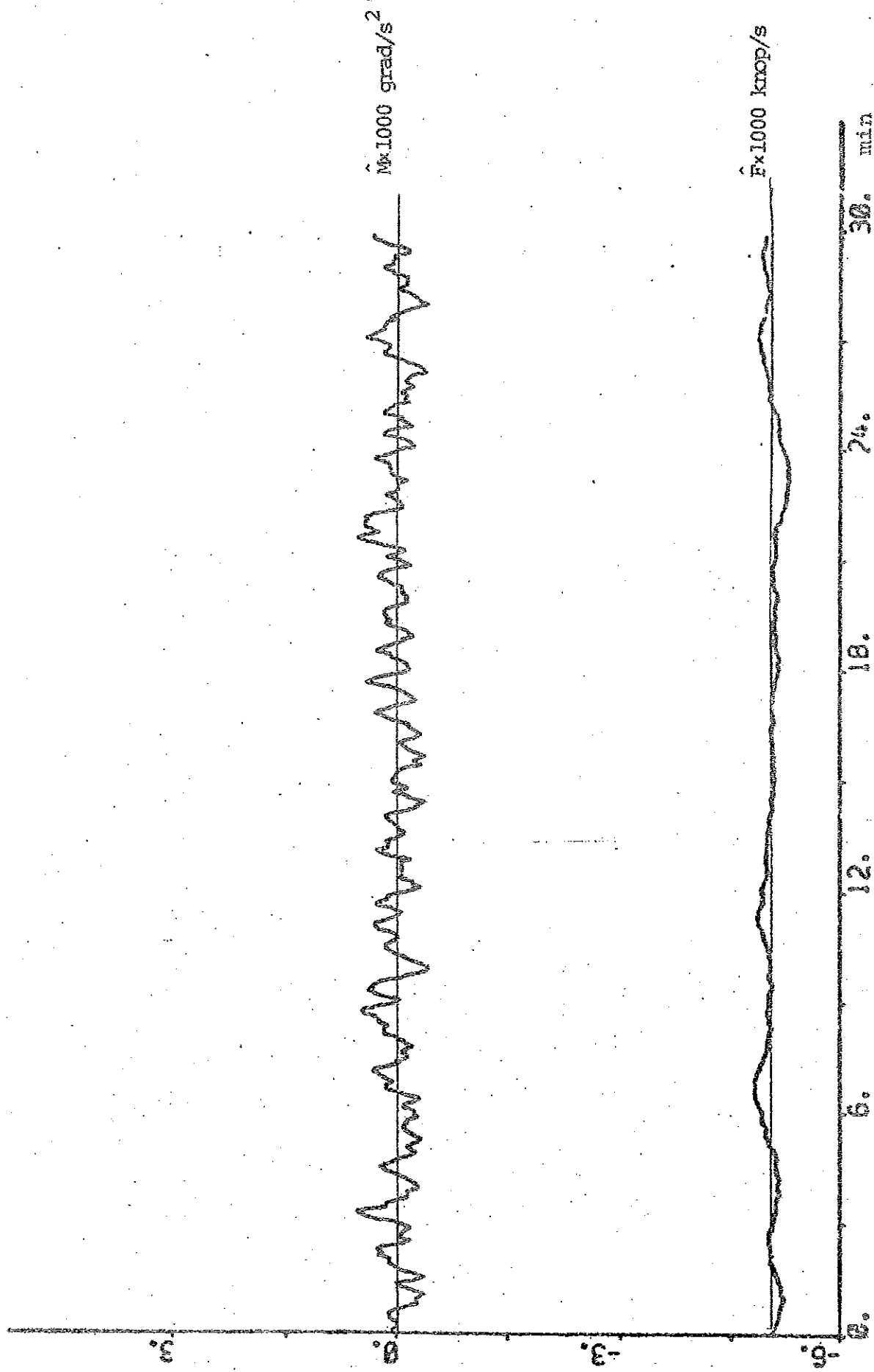


Fig. 3.6d



20.

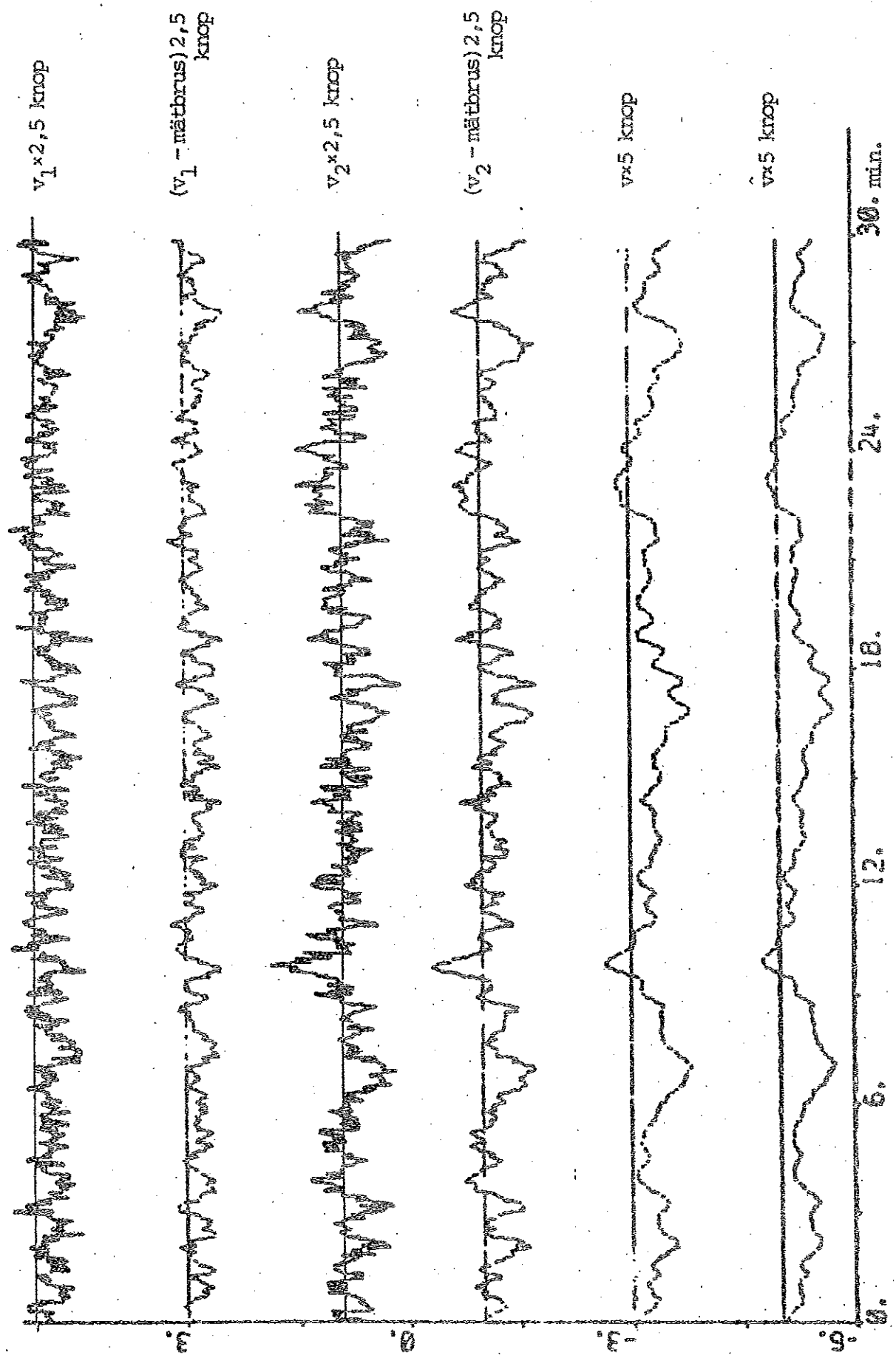
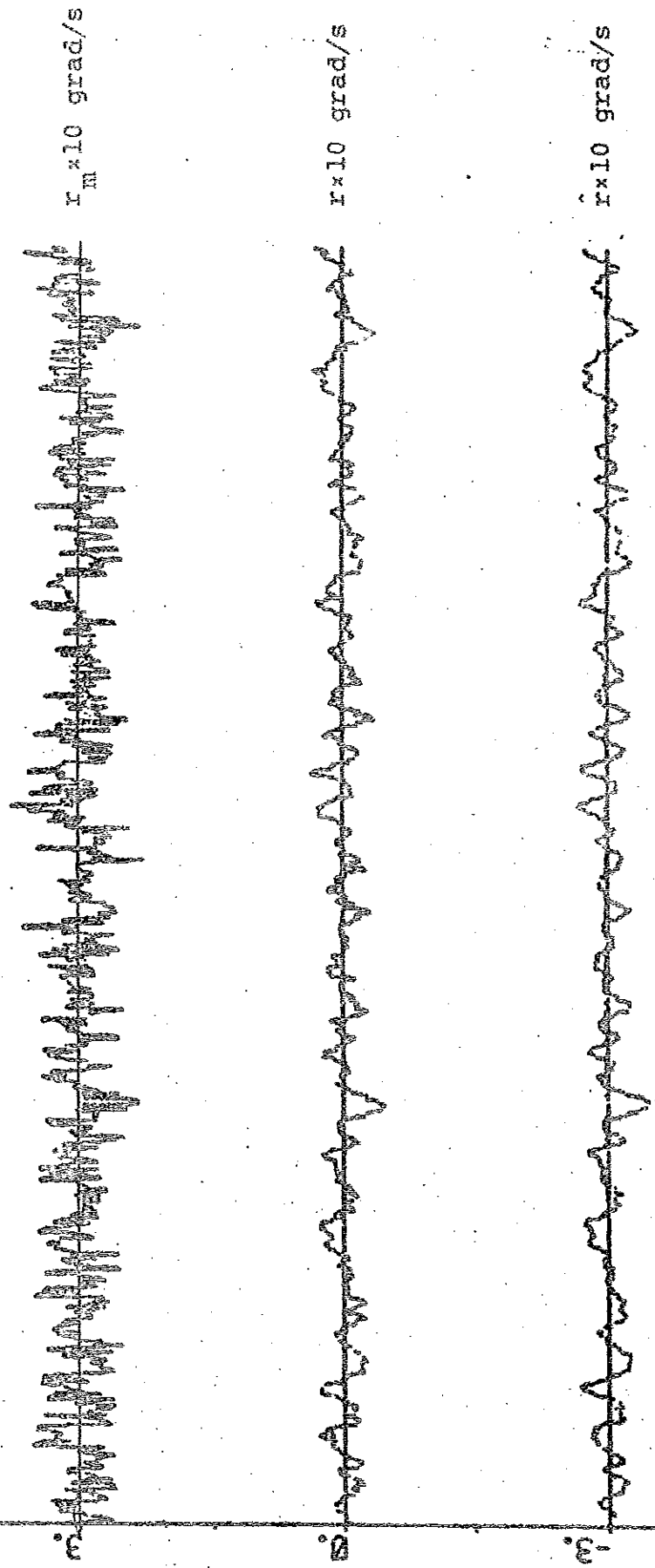


Fig. 3.7a - Mätsignaler, verkligt tillstånd och tillståndsestimat vid djupgåendet 10,5 m och svag vind. En del kurvor är förskjutna. Forts. nästa sida.

Fig. 3.72



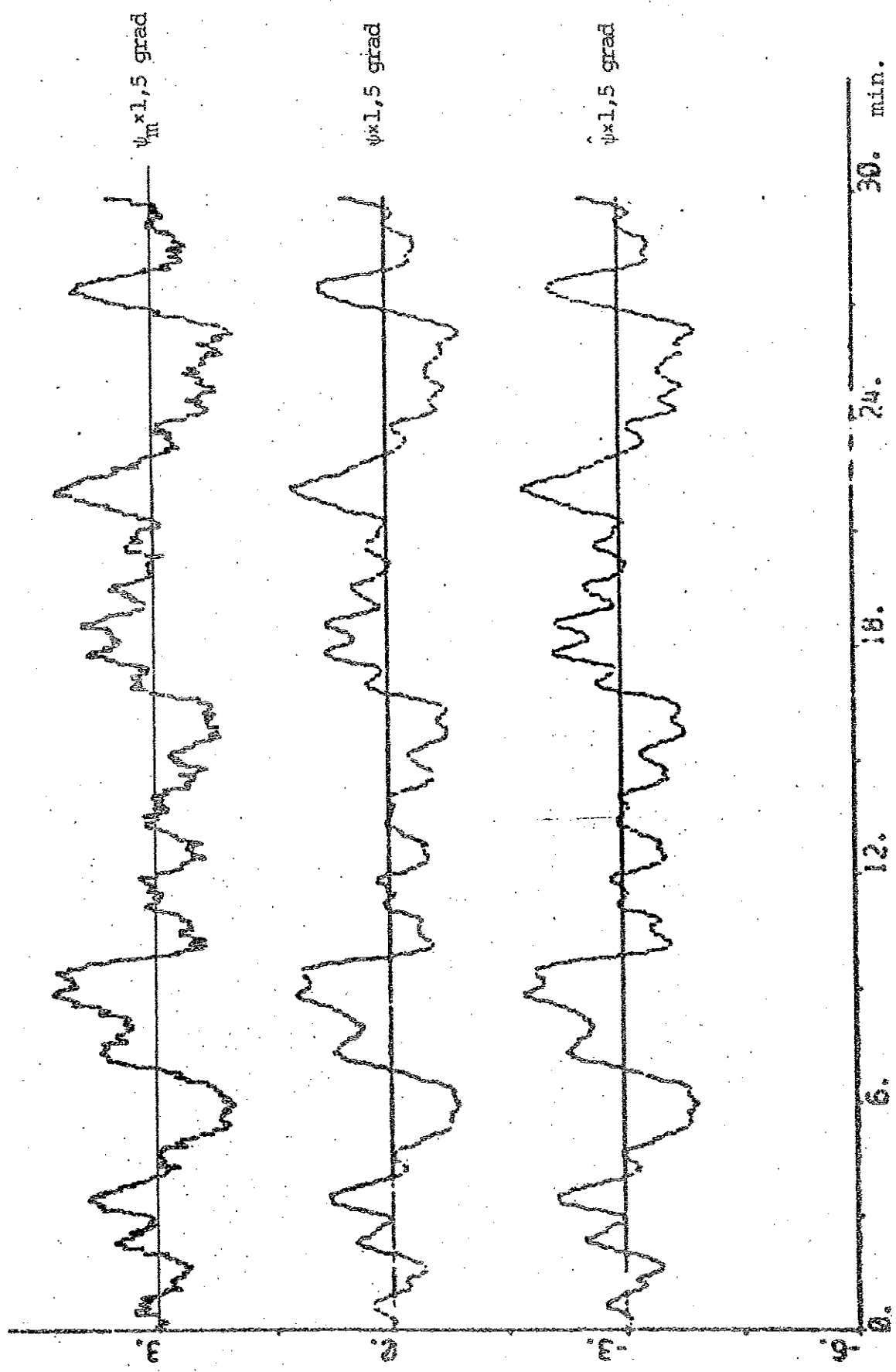


Fig. 3.7c

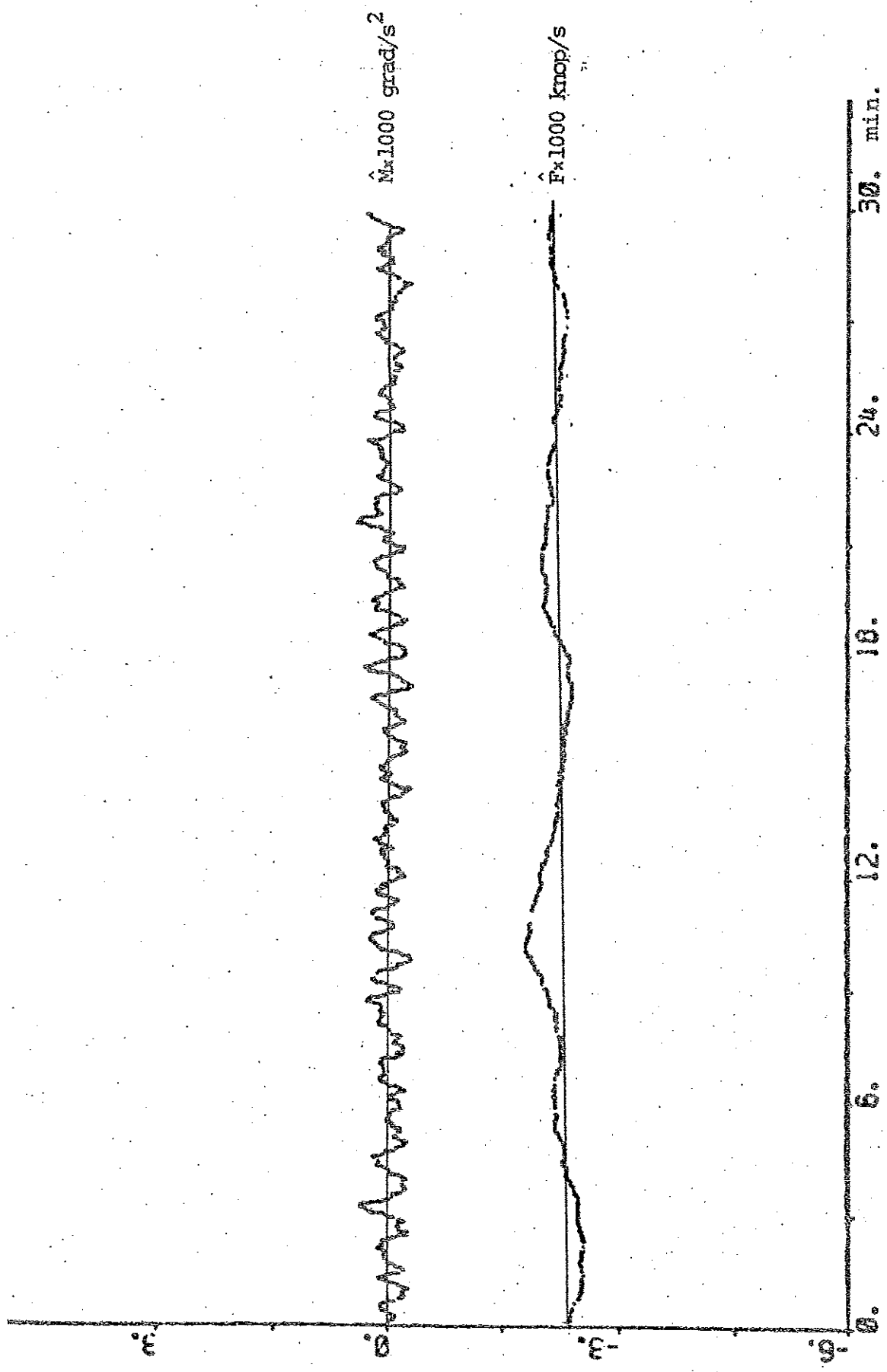
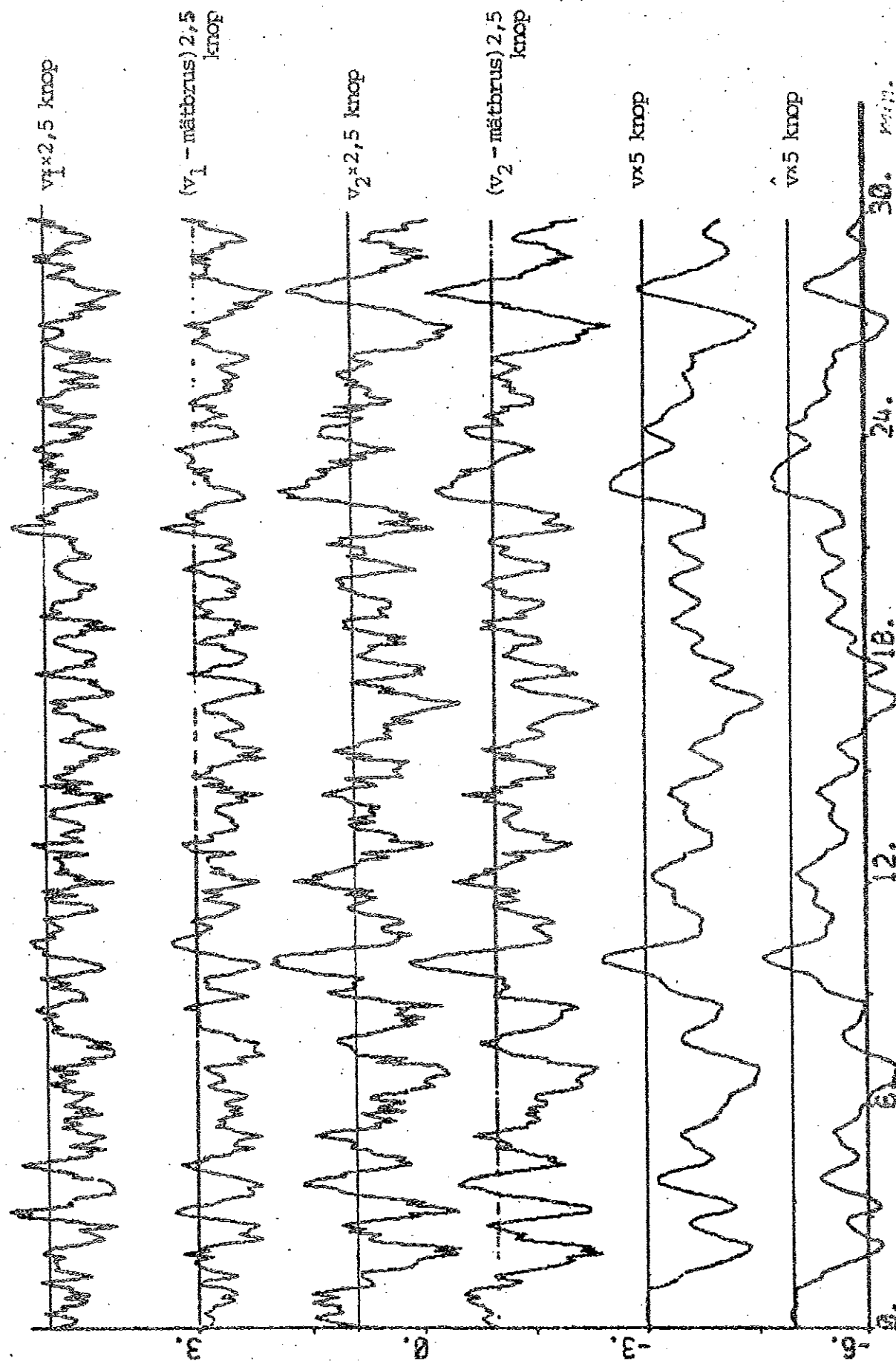


Fig. 3.7d



12.

VIB.

24. 30. m.m.

Fig. 3.8a - Mätsignaler, verkligt tillstånd och tillståndsestimat vid djupgåendet 10,5 m och hård vind.  
En del kurvor är förskjutna. Forts. nästa sida.

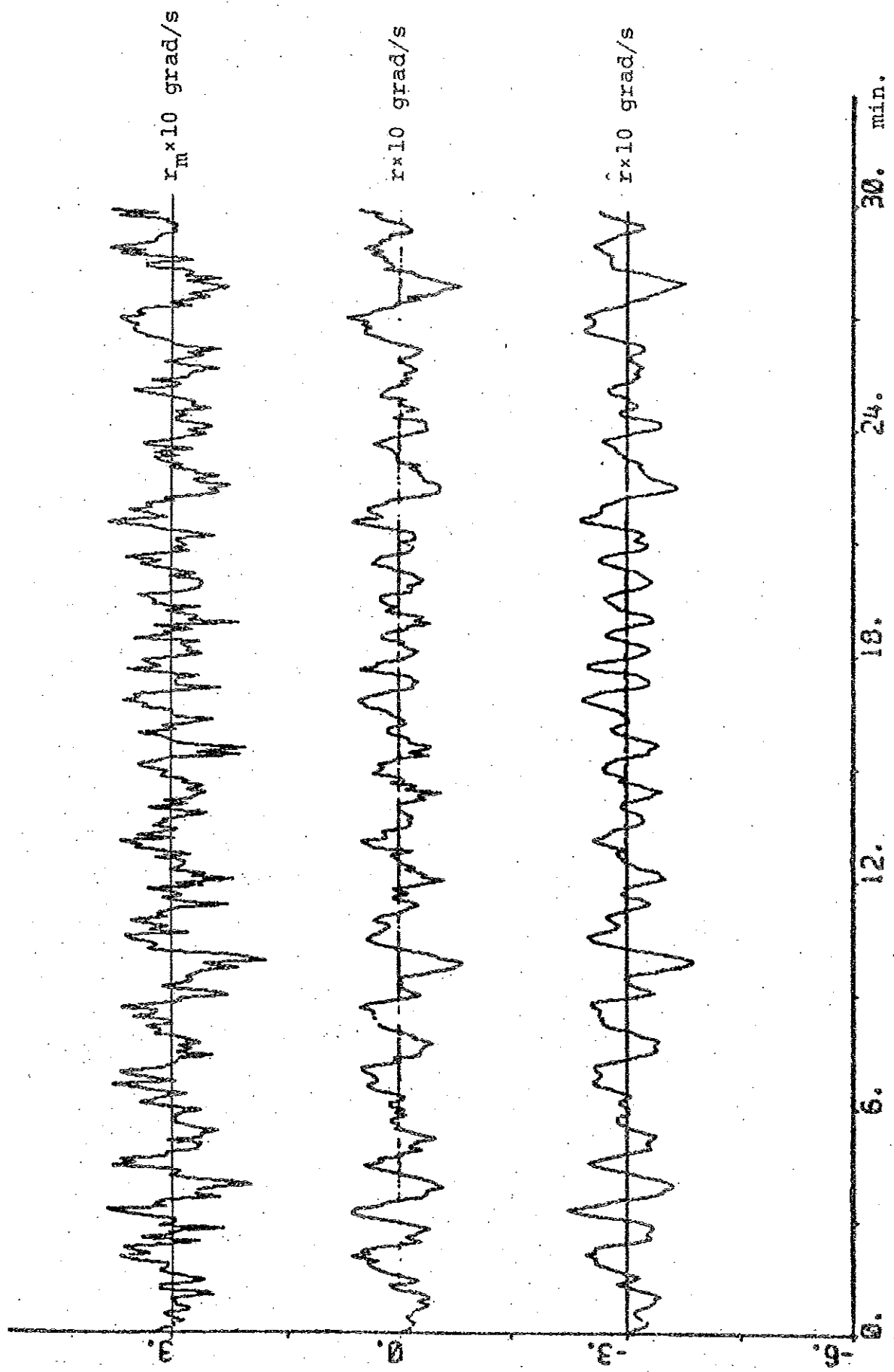
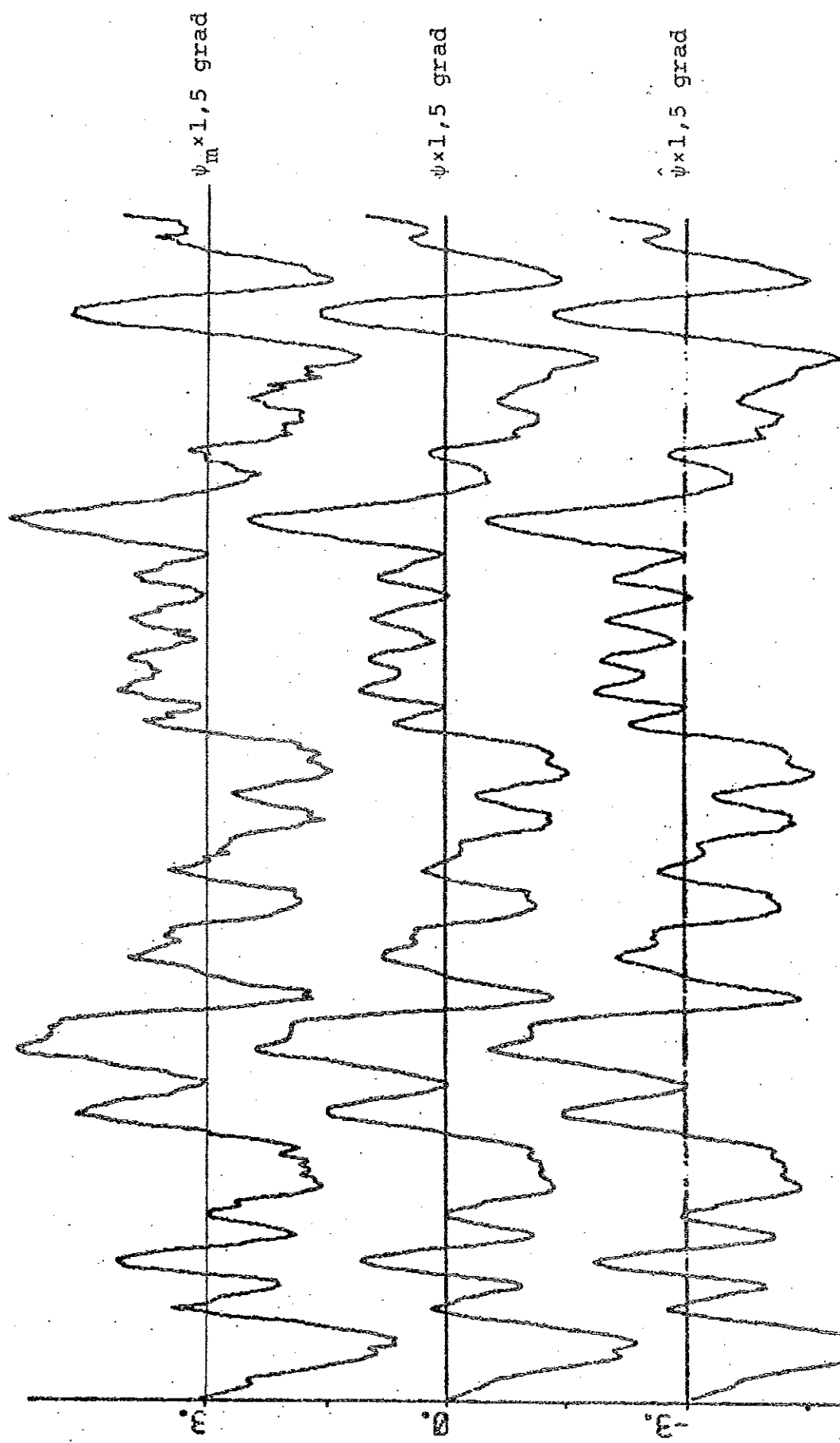


Fig. 3.8b



30. min.

24.

18.

12.

6.

Fig. 3.8c

g.

6.

24.

30. min.

18.

12.

6.

g.

Fig. 3.8c

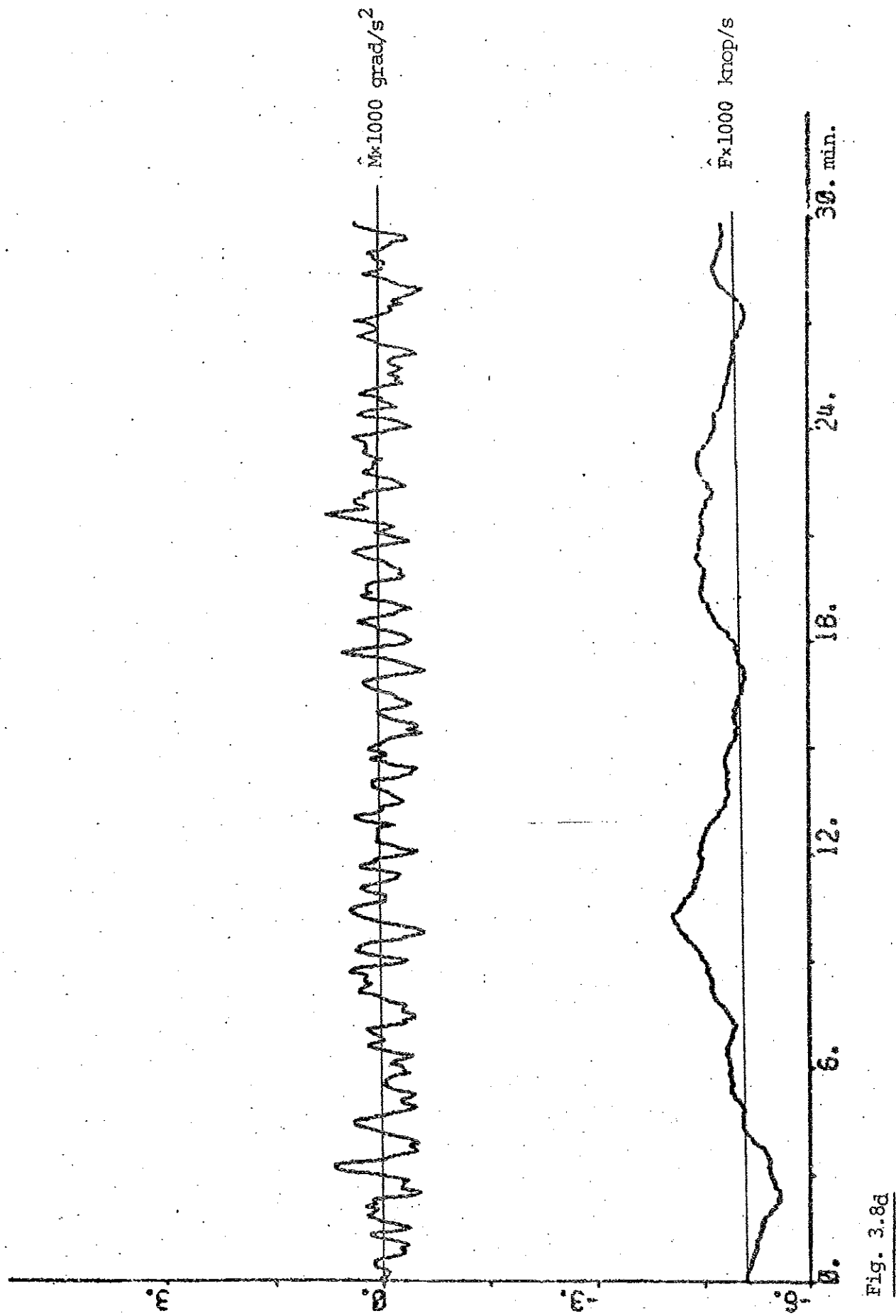


FIG. 3.8d

#### 4. SIMULERING AV STYRNING MED KALMANFILTER.

Den grundläggande självinställande regulatorn finns beskriven i Wittenmark (1973). Simuleringar med i princip samma adaptiva regulator som används i denna rapport, dock utan Kalman-filter, finns beskrivna i Aspernäs och Foisack (1975).

Den modell av fartyget, som regulatorn använder, är:

$$\begin{aligned}
 & (\hat{\psi}(t) - \psi_{ref}) + a_1(\hat{\psi}(t-k-1) - \psi_{ref}) + \dots + \\
 & + a_{NA}(\hat{\psi}(t-k-NA) - \psi_{ref}) = \\
 & = b_0[\nabla \delta_s(t-k-1) + b_1 \nabla \delta_s(t-k-2) + \dots + \\
 & + b_{NB} \nabla \delta_s(t-k-NB-1)] + \\
 & + c_1 \hat{v}(t-k-1) + c_2 \hat{r}(t-k-1) + \\
 & + 100 \cdot c_3 \hat{F}(t-k-1) + 100 \cdot c_4 \hat{M}(t-k-1) + \varepsilon(t) \quad (4.1)
 \end{aligned}$$

Minimalvariansstyrlagen blir då:

$$\begin{aligned}
 \nabla_s \delta_s(t) = & \hat{a}_1(\hat{\psi}(t) - \psi_{ref}) + \dots + \hat{a}_{NA}(\hat{\psi}(t-NA+1) - \psi_{ref}) - \\
 & - \hat{b}_1 \nabla_s \delta_s(t-1) - \dots - \hat{b}_{NB} \nabla_s \delta_s(t-NB) - \\
 & - \hat{c}_1 \hat{v}(t) - \hat{c}_2 \hat{r}(t) - 100 \cdot \hat{c}_3 \hat{F}(t) - \\
 & - 100 \cdot \hat{c}_4 \hat{M}(t) \quad (4.2)
 \end{aligned}$$

där

$$\nabla_s \delta_s(t) = b_0 \nabla \delta_s(t) = b_0(\delta_s(t) - \delta_s(t-1))$$

och där t.ex.

$$\hat{v}_v(t) = \hat{v}(t) - \hat{v}(t-1)$$

I fortsättningen fixeras följande parametrar:

$$NA = 3$$

$$NB = 2$$

$$k = 5$$

$$b_0 = -1$$

Dessutom väljs samplingsintervallet för regulatorn till 15 s och den exponentiella glömskefaktorn sätts till 0,99. I fortsättningen kommer alltid  $\psi_{ref}$  att vara noll. Listning av programmet för regulatorn finns i appendix.

För att kunna utvärdera simuleringarna införes två förlustfunktioner

$$V_1 = \frac{1}{\tau} \int_0^{\tau} [(\psi(t) - \psi_{ref})^2 + \lambda \delta_s^2(t)] dt \quad (4.3)$$

$$V_2 = \frac{1}{\tau} \int_0^{\tau} [(\psi(t) - \psi_{ref})^2 + \lambda (\delta_s(t) - \bar{\delta}_s)^2] dt$$

där  $\bar{\delta}_s$  är medelvärdet av  $\delta_s(t)$  och där viktfaktorn  $\lambda$  sätts lika med 0,1.

De två förlustfunktionerna beräknas approximativt som

$$V_1 = \frac{1}{N} \sum_{n=0}^{N-1} [(\psi(nT_s) - \psi_{ref})^2 + \lambda \delta_s^2(nT_s)] \quad (4.4)$$

$$V_2 = \frac{1}{N} \sum_{n=0}^{N-1} [(\psi(nT_s) - \psi_{ref})^2 + \lambda (\delta_s(nT_s) - \bar{\delta}_s)^2]$$

där  $NT_s = \tau$ .

I fortsättningen kommer även medelvärde  $m_{\delta_s}$  och standardavvikelse  $\sigma_{\delta_s}$  för moderservoläget att anges, liksom medelvärde  $m_\psi$  och standardavvikelse  $\sigma_\psi$  för kurserna.

I fig. 4.1 och 4.2 visas simuleringar för djupgåendet 20 m och svag resp. hård vind. Alla fyra framkopplingarna av tillståndsestimaten i (4.1) och (4.2) används. En sammanställning av resultaten finns i tabell 4.1.

		Svag vind	Hård vind
Djupgående 20, m.	$v_1$ gr <sup>2</sup>	0,63	2,44
	$v_2$ gr <sup>2</sup>	0,56	2,14
	$\sigma_\psi$ gr	0,30	0,79
	$\sigma_{\delta_s}$ gr	2,16	3,90

Tabell 4.1 - Resultat av simuleringar med framkoppling av fyra tillståndsestimat.

Vissa svårigheter att få samtliga 9 parametrar att konvergera uppstod. Framkopplingen av  $\hat{F}$  och  $\hat{M}$  bör inte ge särskilt mycket information till regulatorn, eftersom dessa estimat ändrar sig mycket långsamt och eftersom regulatorn har möjlighet att ta hänsyn till denna typ av störningar genom att den arbetar med differenser av  $\delta_s$ .

I fig. 4.3 - 4.6 visas simuleringar vid olika djupgående och olika vindstyrkor, när endast  $\hat{v}$  och  $\hat{r}$  har använts som framkopplingar i regulatorn (4.1) och (4.2). Resultaten finns sammanställda i tabell 4.2.

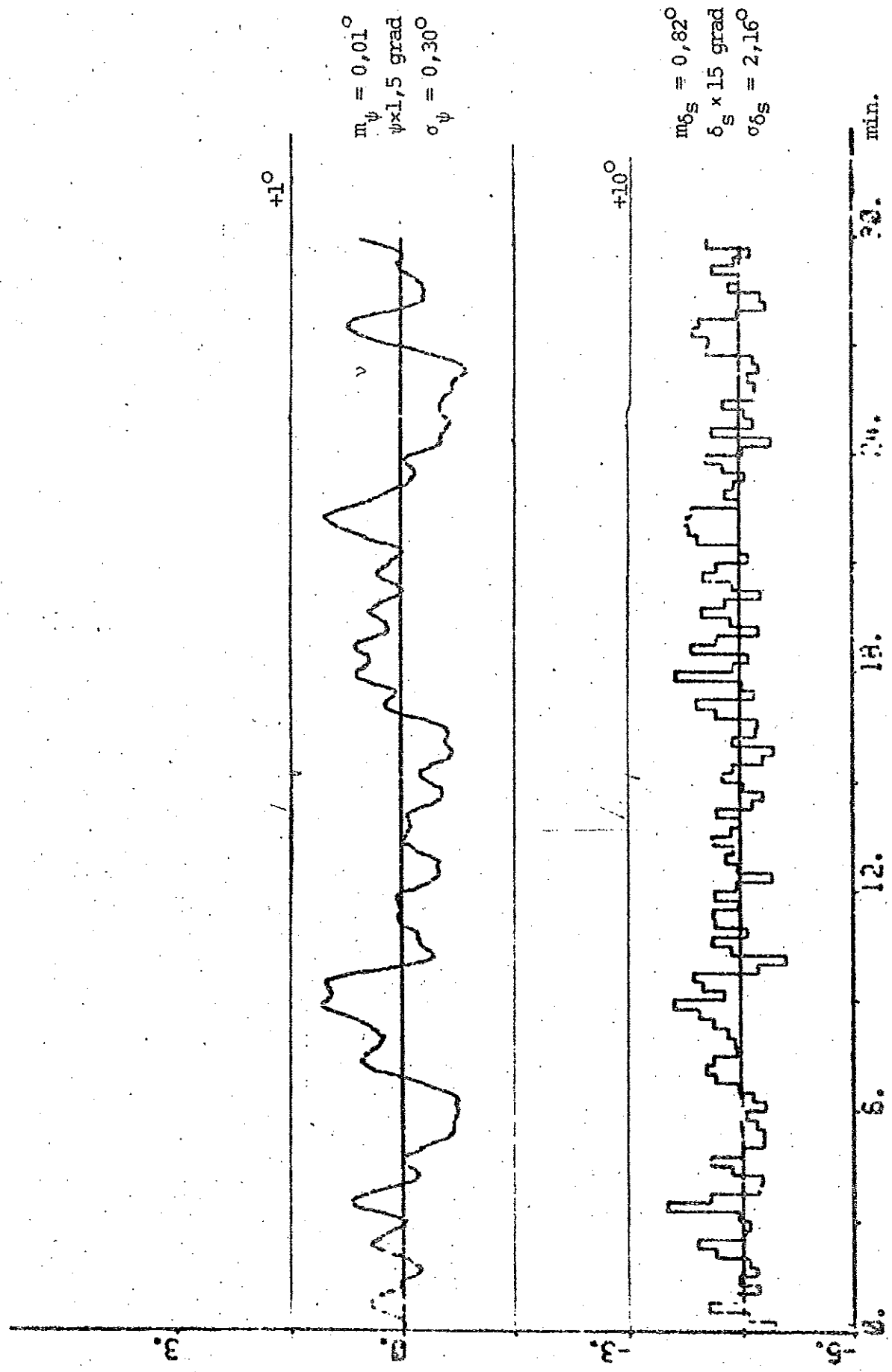


Fig. 4.1a - Styrning med frankkoppling av  $\hat{v}$ ,  $\hat{\psi}$ ,  $\hat{F}$ ,  $\hat{M}$  vid djupgåendet 20 m och svag vind. Forts. nästa sida.

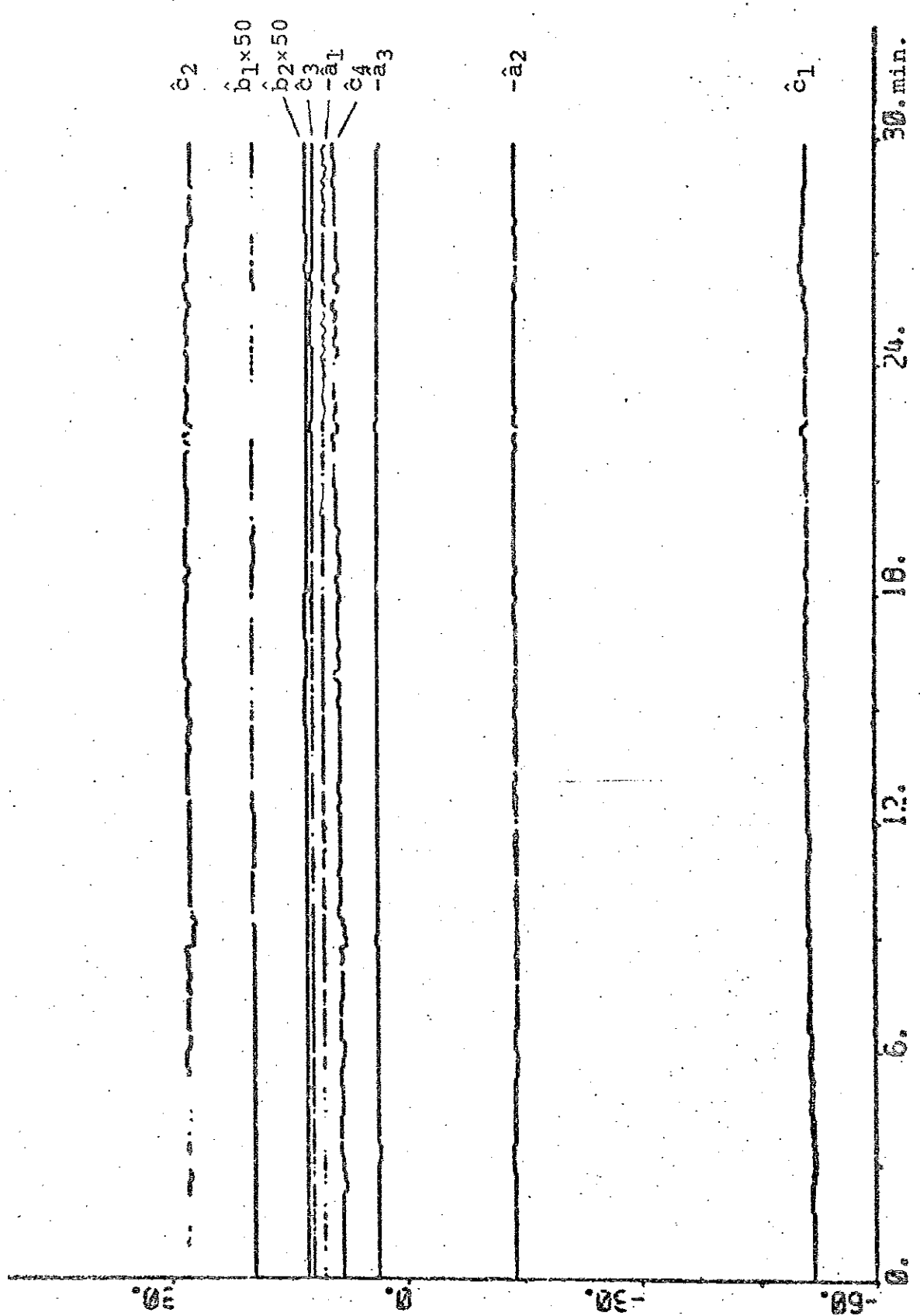


Fig. 4.1b

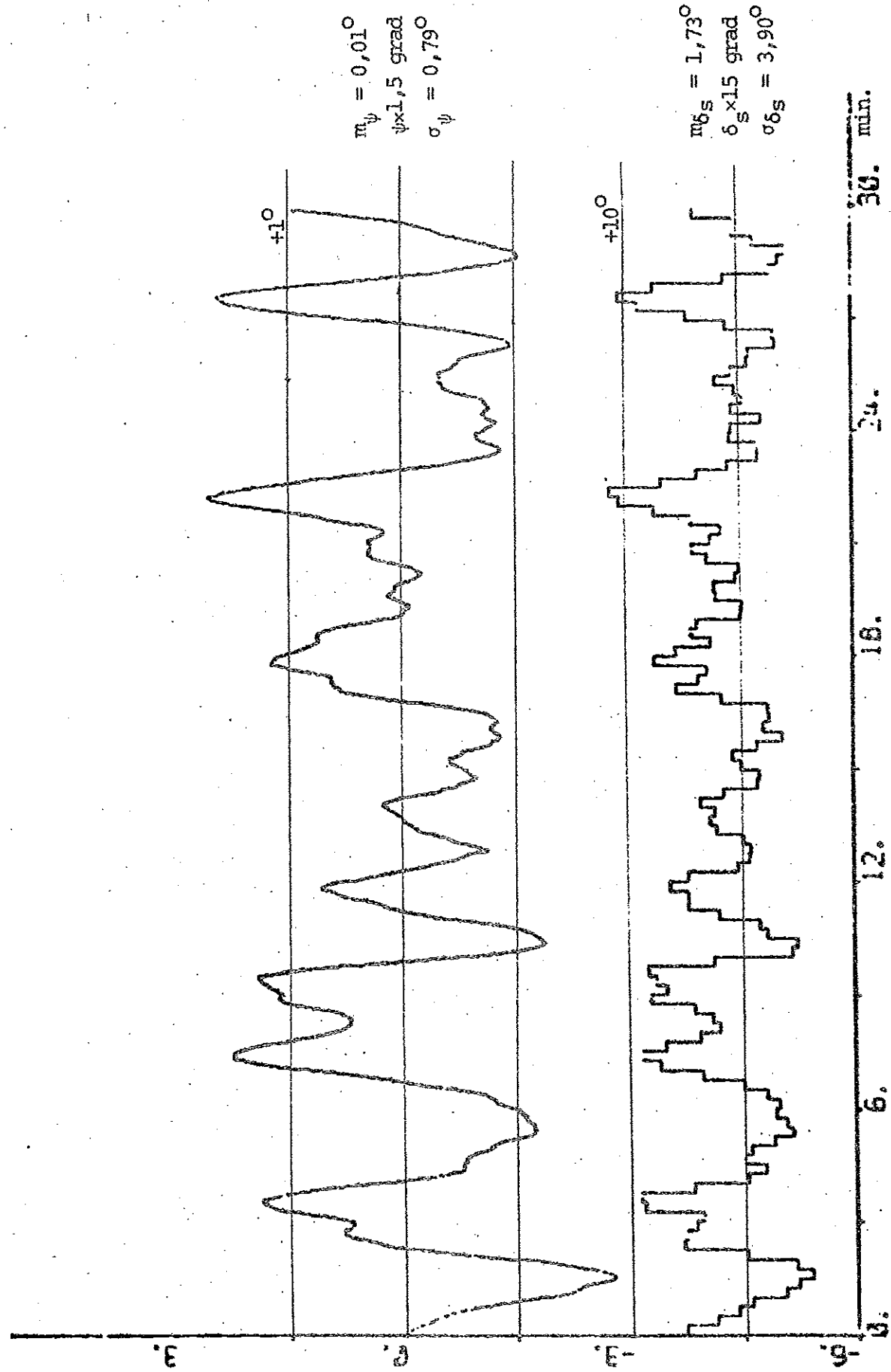


Fig. 4.2a - Styrning med framkoppling av  $\hat{v}$ ,  $\hat{F}$ ,  $\hat{E}$  vid djupgåendet 20 m och hård vind. Forts. nästa sida.

30. min. 24. 18. 12. 9. 6. 3.

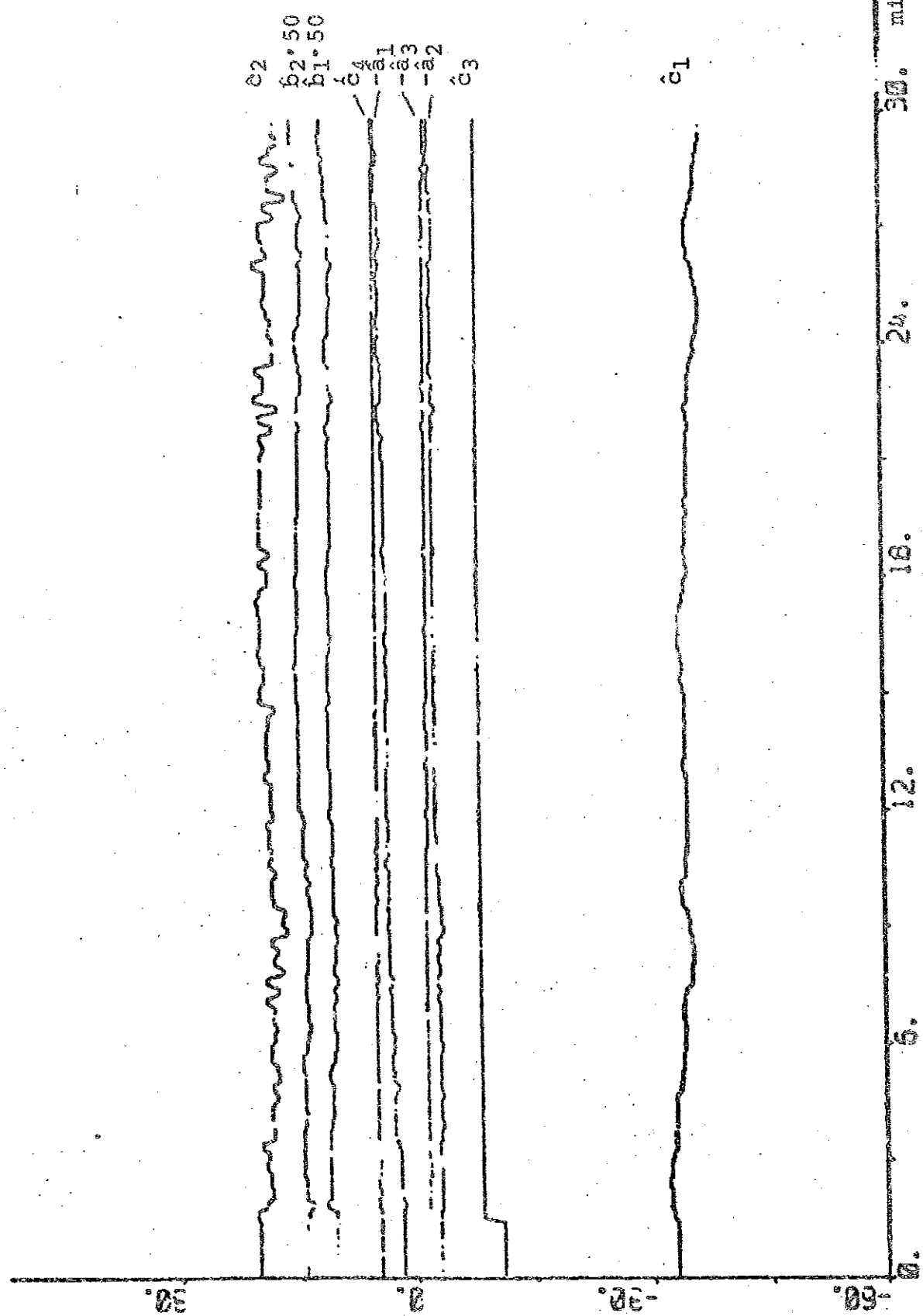


Fig. 4. 2b

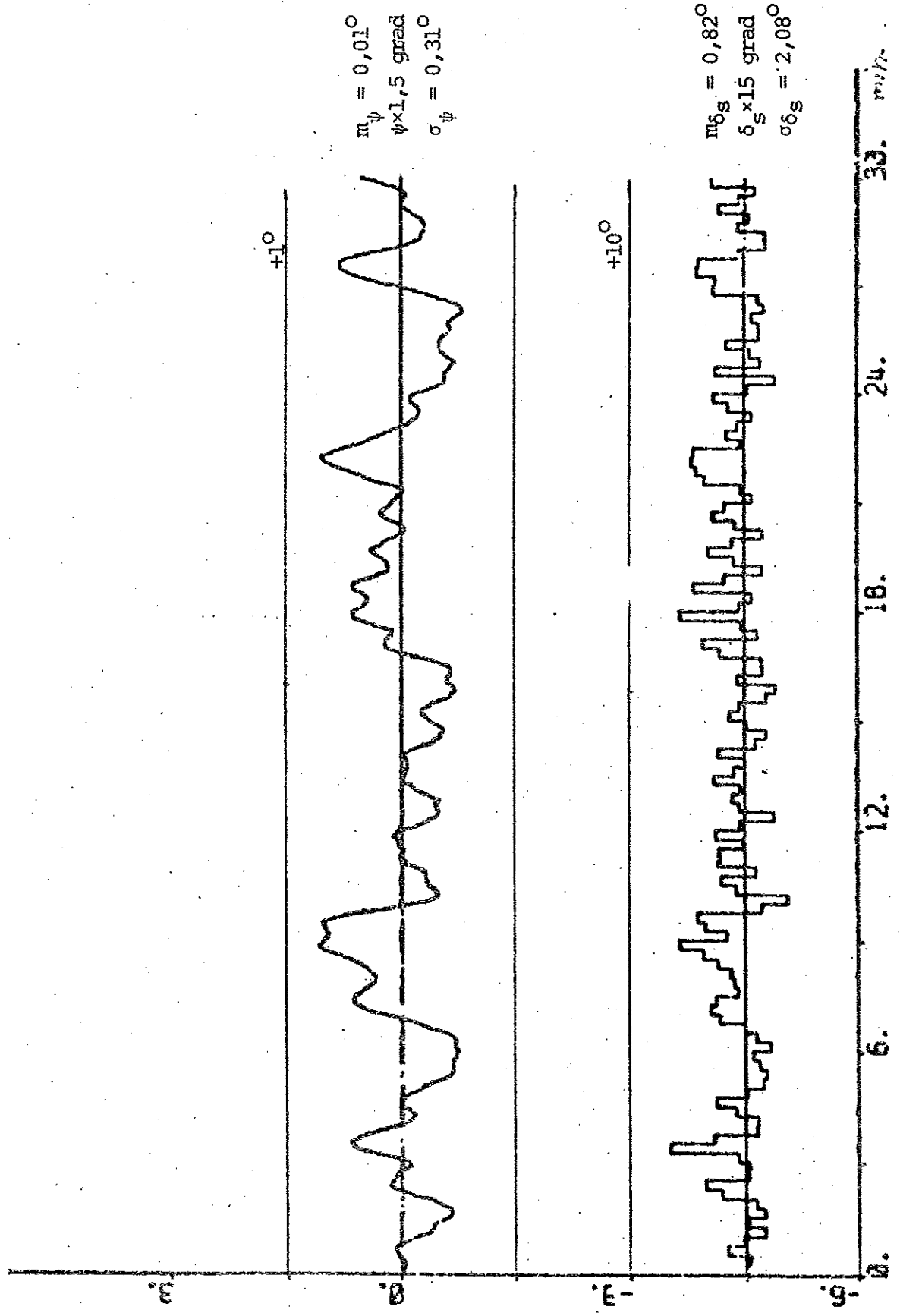


Fig. 4.3a - Styrning med framkoppling av  $\hat{v}$  och  $\hat{r}$  vid djupgåendet 20 m och svag vind. Forts. nästa sida.

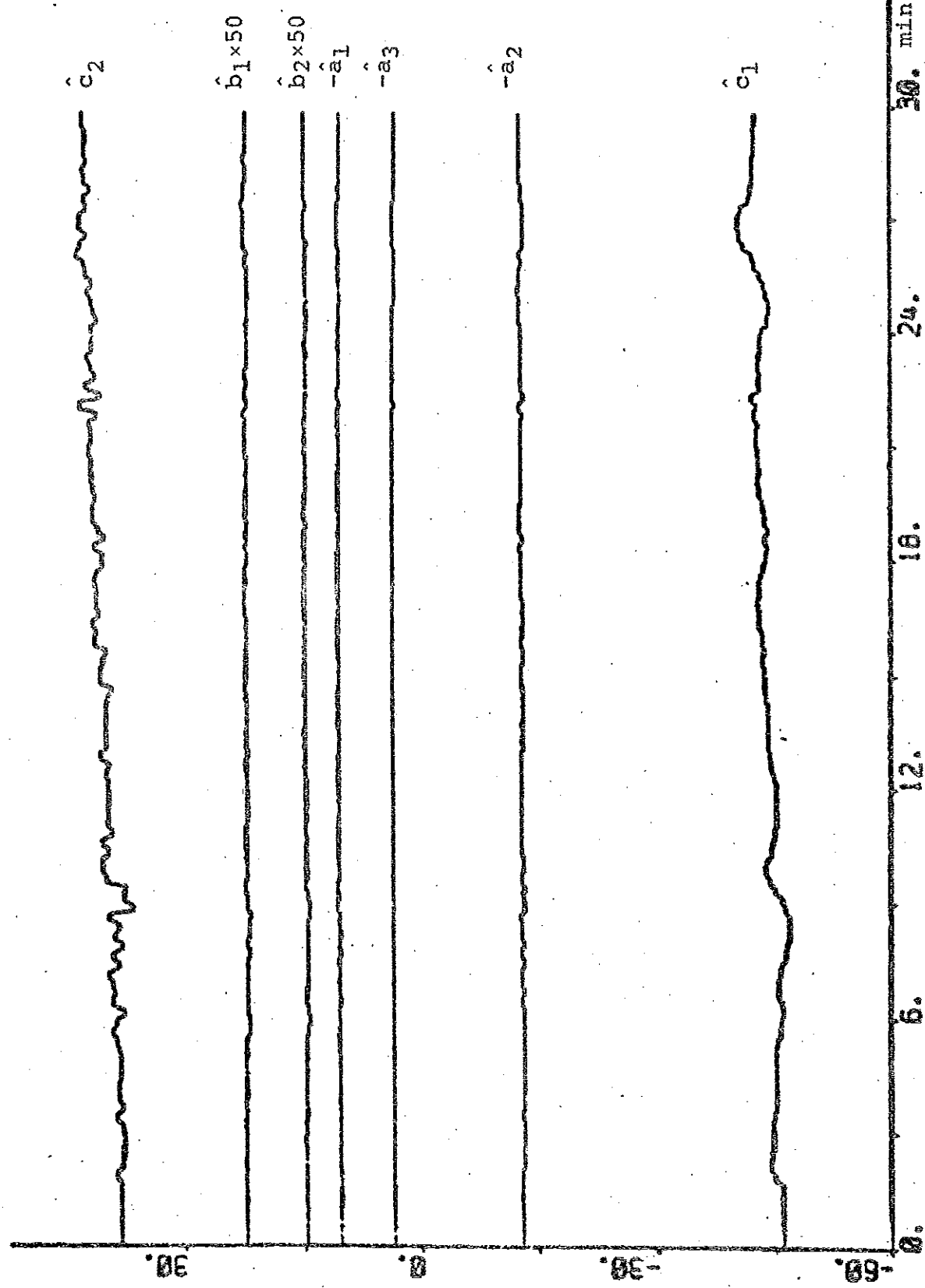
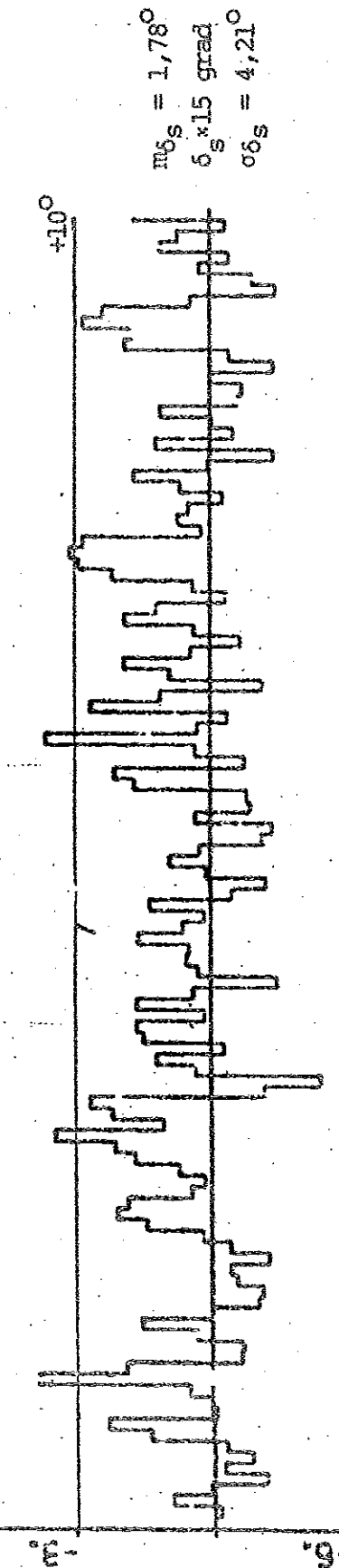
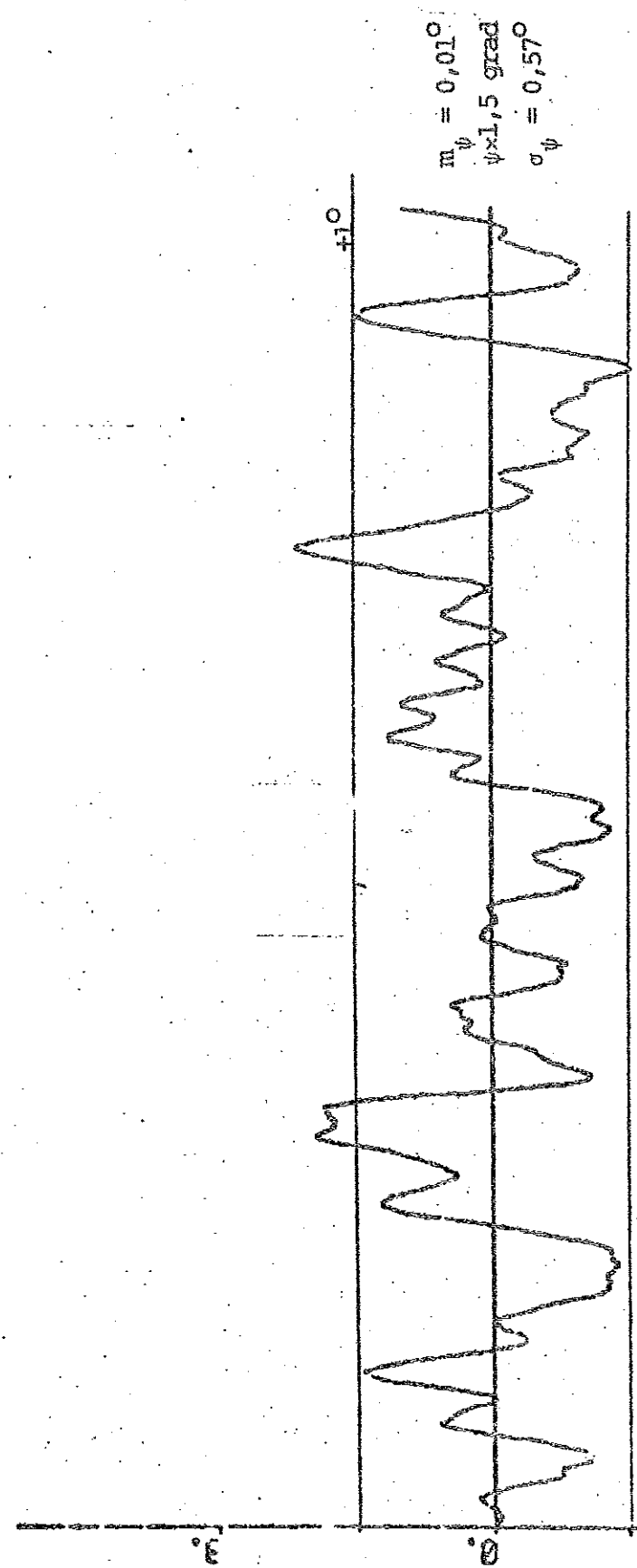


Fig. 4.3b.



三

詩  
卷

2

2

५

四

**Fig. 4.4a** - Styrning ned framkopplingen av V och X vid djupgåendet 20 m och hård vind. Forts. nästa sida.

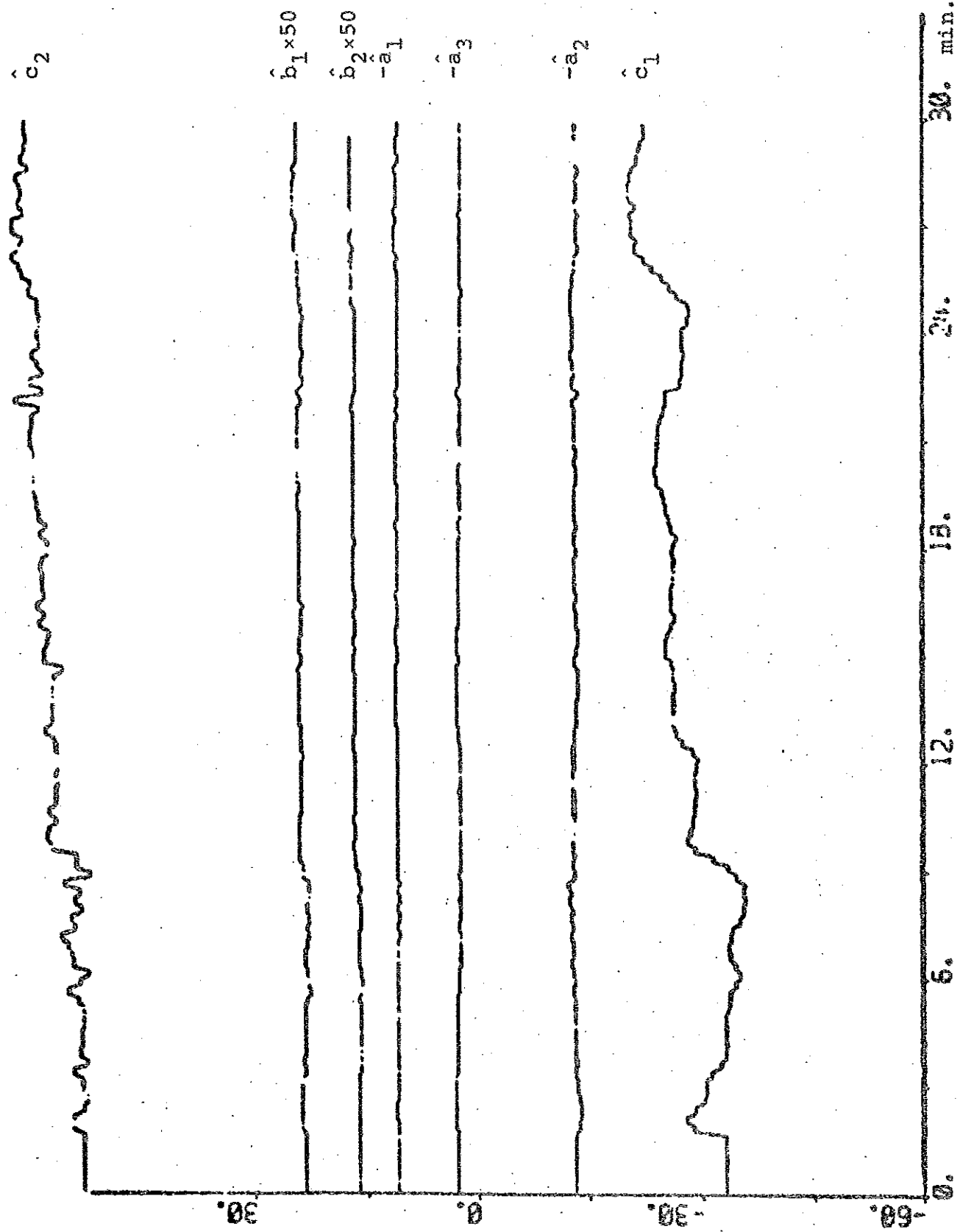


Fig. 4.4b

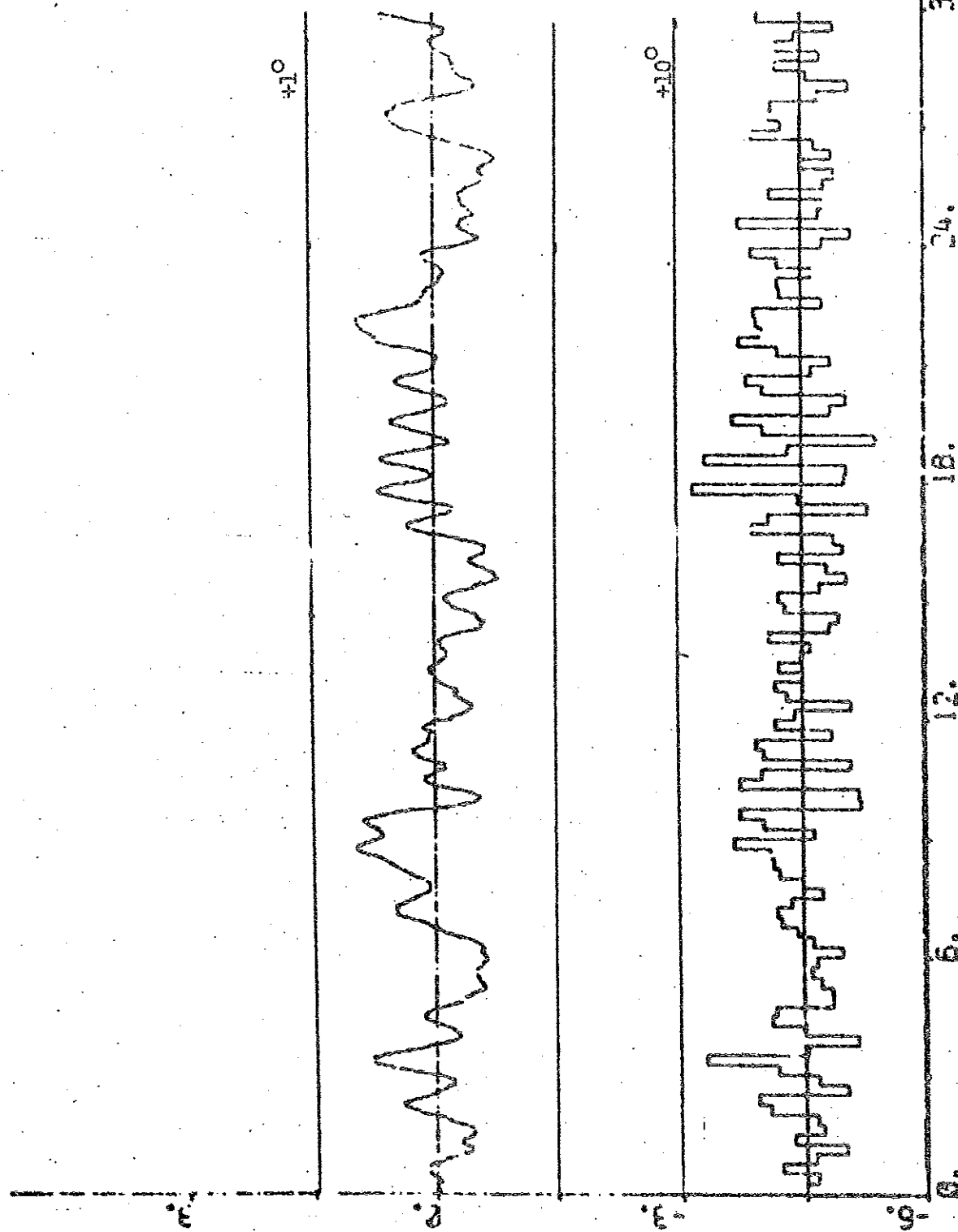


Fig. 4.5a - Styrning med framkoppling av  $\dot{\psi}$  och  $\ddot{\psi}$  vid djupgåendet 10,5 m och svag vind. Forts. nästa sida.

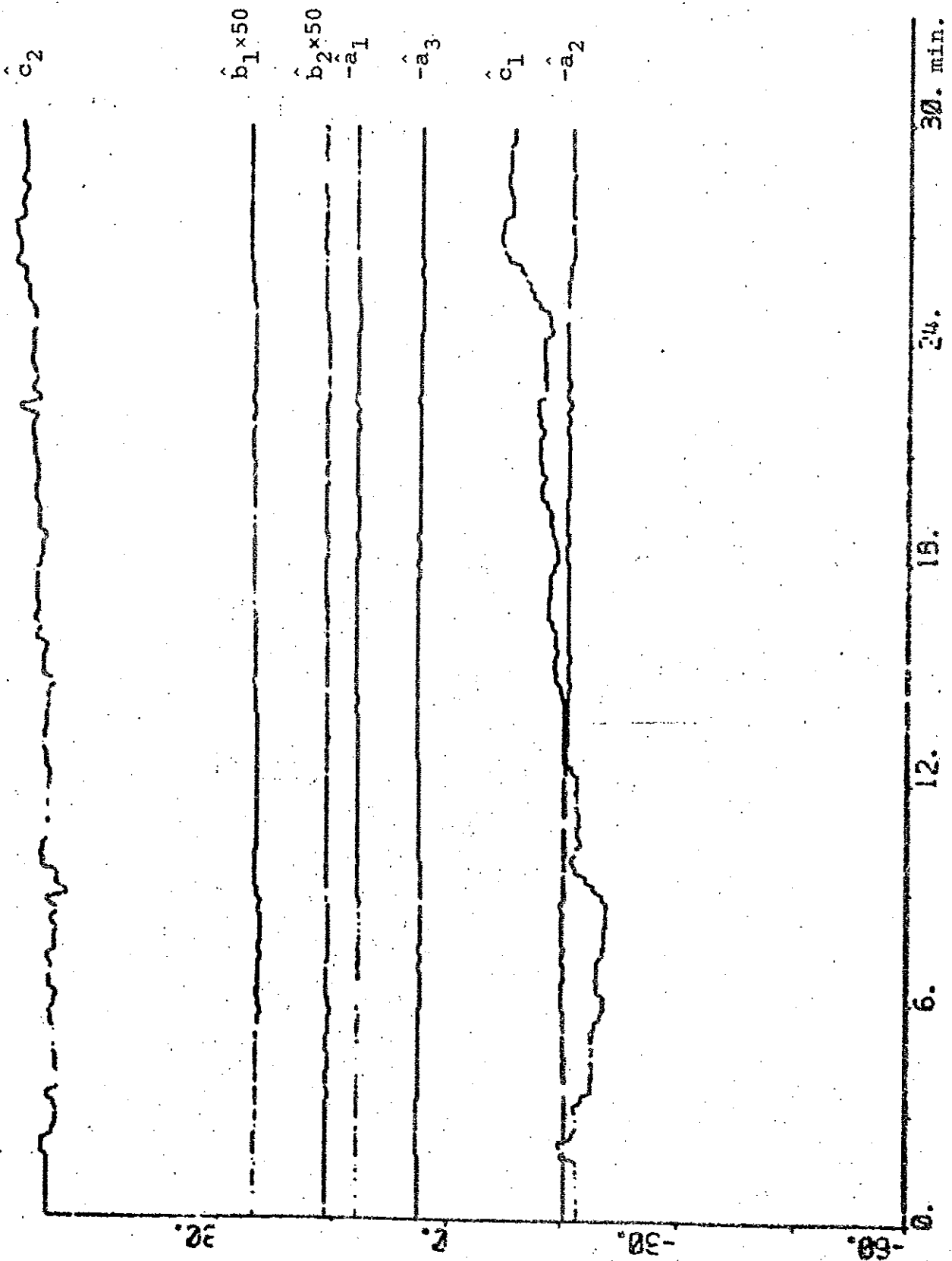


Fig. 4.5b

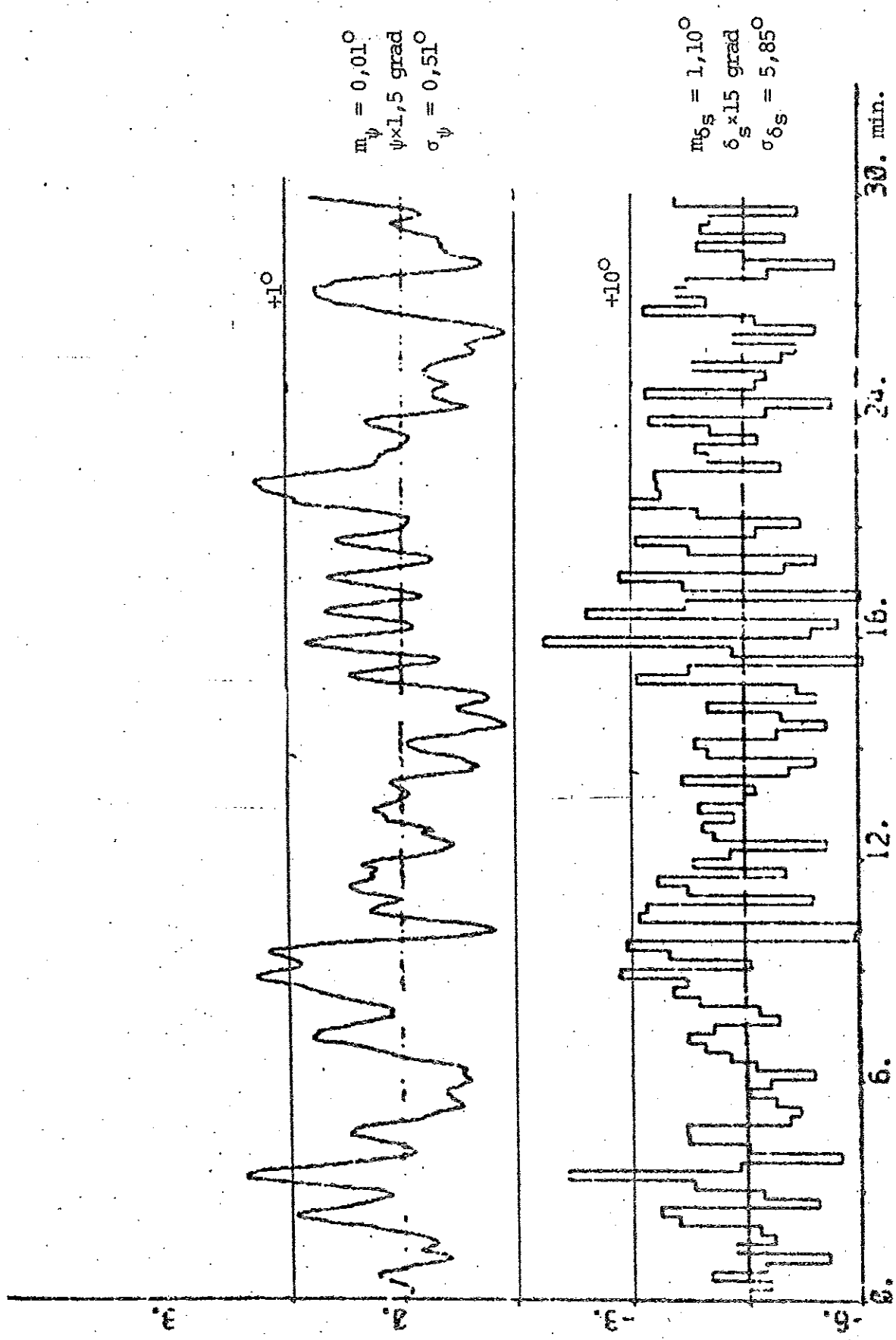


Fig. 4.6a - Styrning med framkoppling av  $\dot{\psi}$  och  $\dot{\delta}_s$  vid djupgåendet 10,5 m och hård vind. Forts. nästa sida.

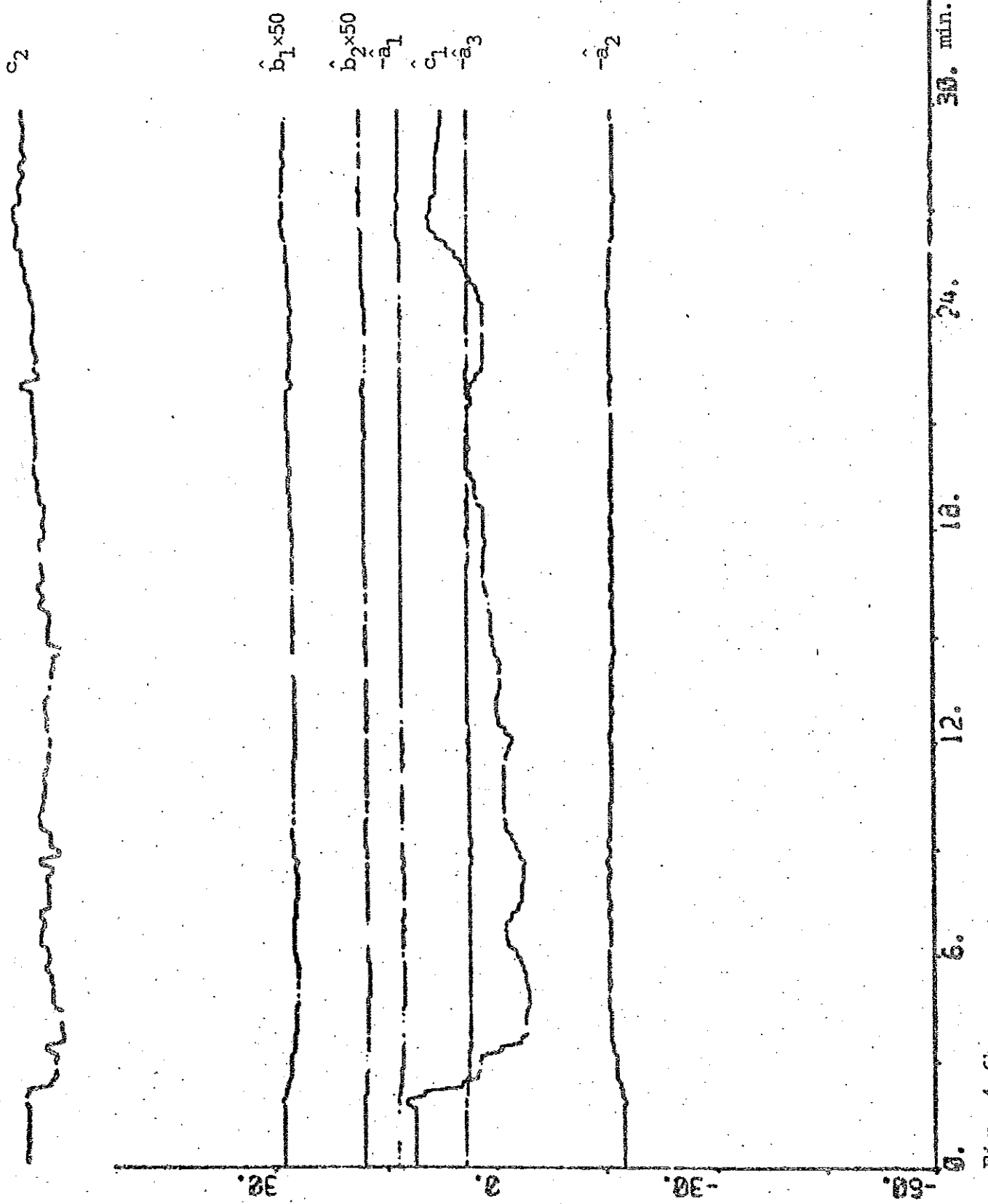


FIG. 4.6b

		Svag vind	Hård vind
Djupgående 20 m	$V_1$ gr <sup>2</sup>	0,60	2,41
	$V_2$ gr <sup>2</sup>	0,53	2,10
	$\sigma_{\psi}$ gr	0,31	0,57
	$\sigma_{\delta_s}$ gr	2,08	4,21
Djupgående 10,5 m	$V_1$ gr <sup>2</sup>	1,02	3,81
	$V_2$ gr <sup>2</sup>	1,00	3,69
	$\sigma_{\psi}$ gr	0,27	0,51
	$\sigma_{\delta_s}$ gr	3,04	5,85

Tabell 4.2 - Resultat av simuleringar med framkoppling av endast  $\hat{v}$  och  $\hat{r}$ .

Om tabell 4.2 jämförs med tabell 4.1 kan det konstateras att framkoppling av  $\hat{F}$  och  $\hat{M}$  inte förbättrar styrningen.

Proceduren vid samtliga simuleringar i denna rapport har varit att låta regulatorparametrarna först svänga in sig för fallet svag vind och djupgåendet 20 m. Dessa injusterade parametrar med tillhörande kovariansmatris har sedan använts som startvärdet vid simuleringar av de andra fallen. Möjligen har inte regulatorparametrarna hunnit svänga in sig när djupgåendet har ändrats från 20 m till 10,5 m, varför resultaten för det senare djupgåendet är något sämre än väntat. Emellertid är resultaten av simuleringar vid djupgåendet 20 m alltid sinsemellan jämförbara, liksom simuleringar vid djupgåendet 10,5 m är det.

För att utröna vilken av framkopplingarna  $\hat{v}$  eller  $\hat{r}$  som är viktigast för styrningen utfördes två simuleringar vid djupgåendet 20 m och svag vind. Se fig. 4.7 och 4.8 samt tabell 4.3.

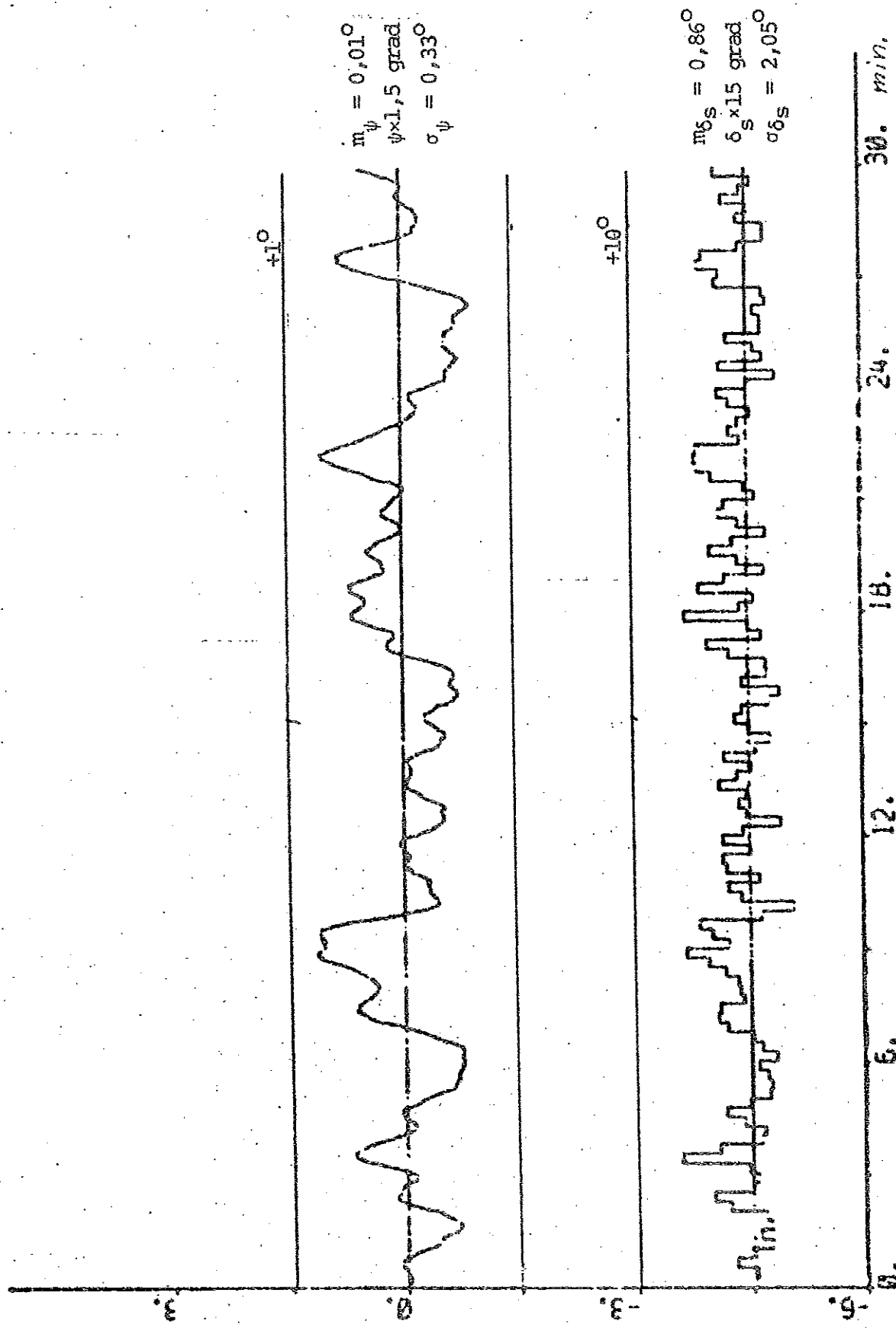


Fig. 4.7a - Styrning med framkoppling av  $\dot{\psi}$  vid djupgåendet 20 m och svag vind. Forts. nästa sida.

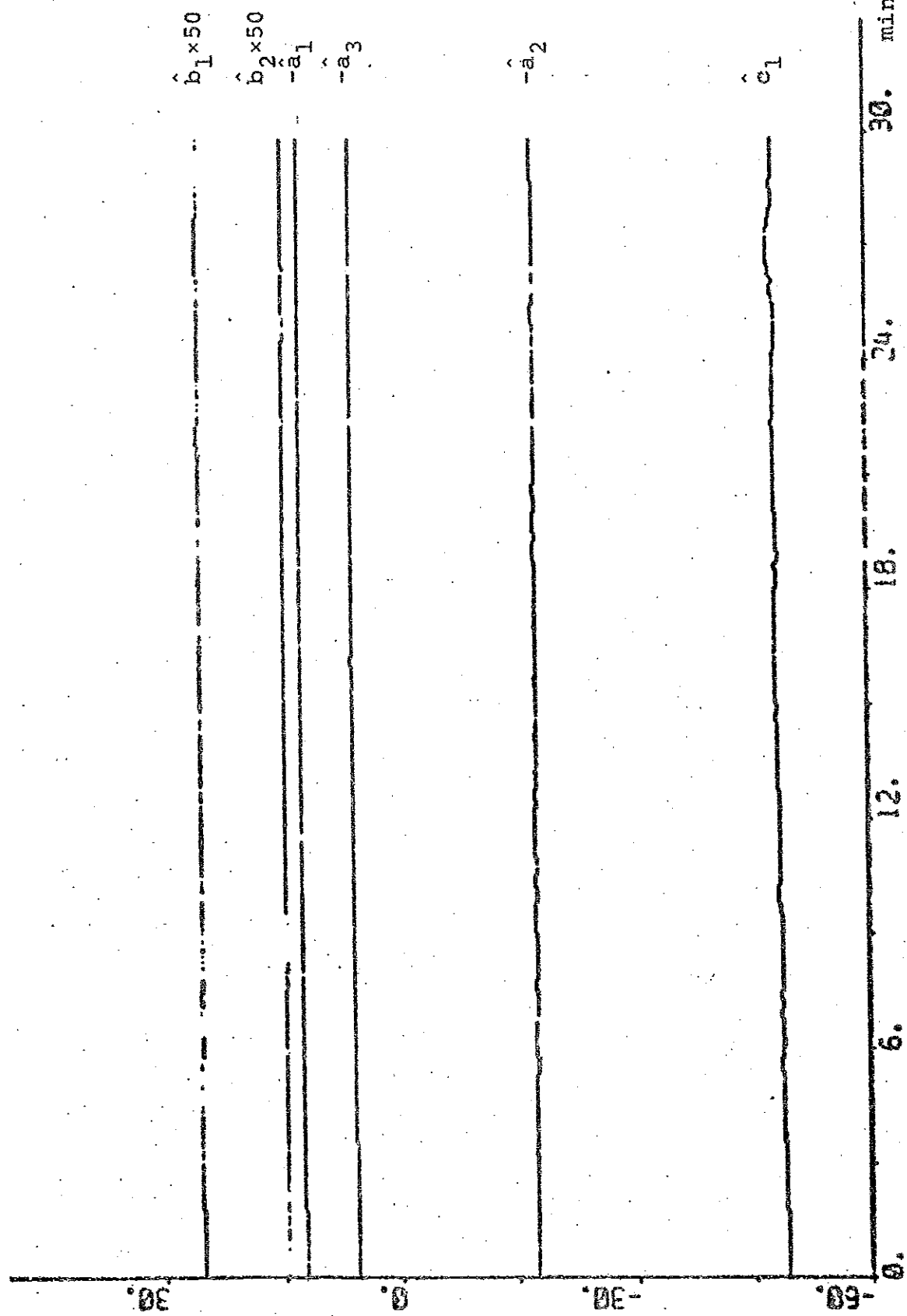


Fig. 4.7b.

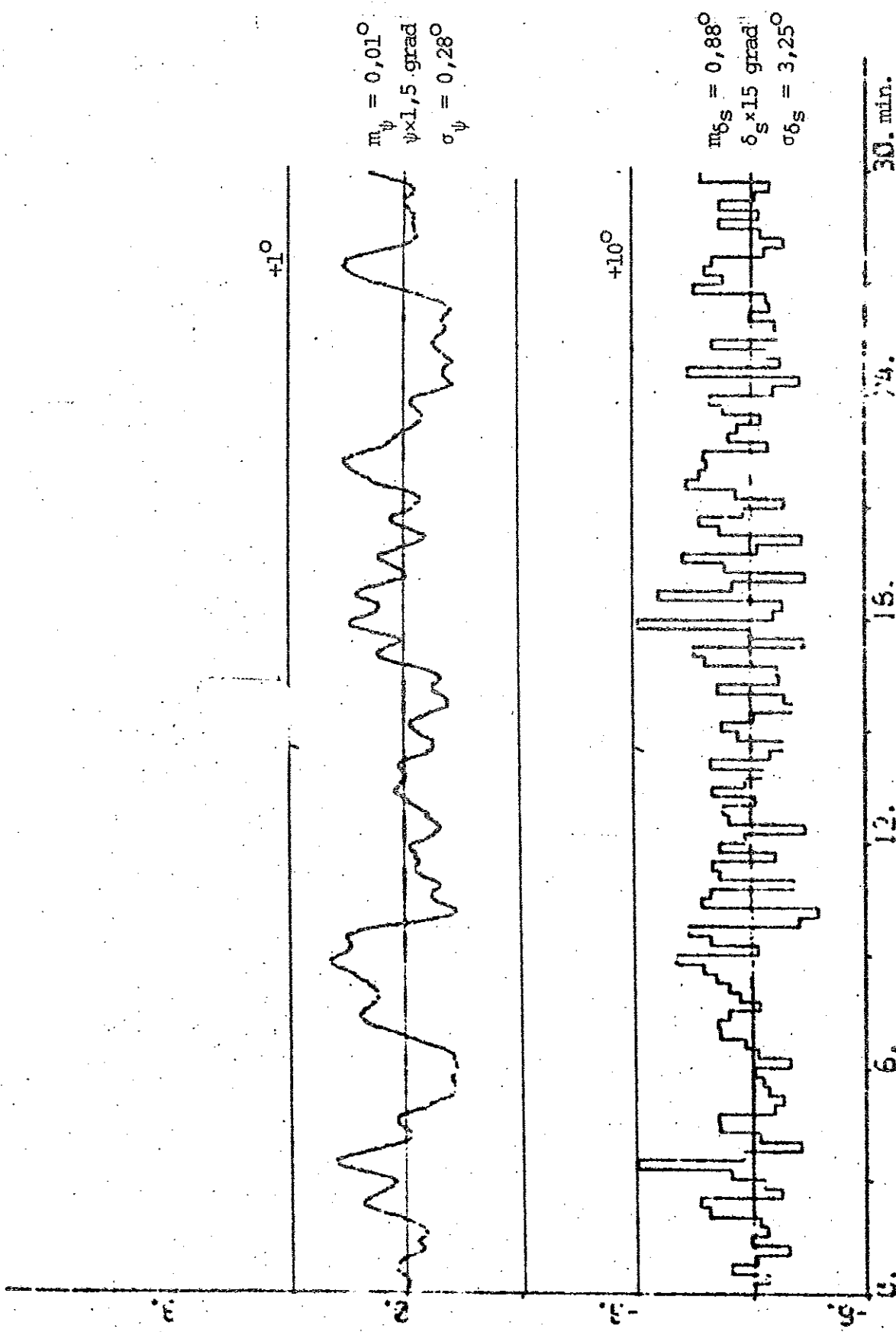


Fig. 4.8a - Styrning med framkoppling av  $\dot{\psi}$  vid djupsgåendet 20 m och svag vind. Forts. nästa sida.

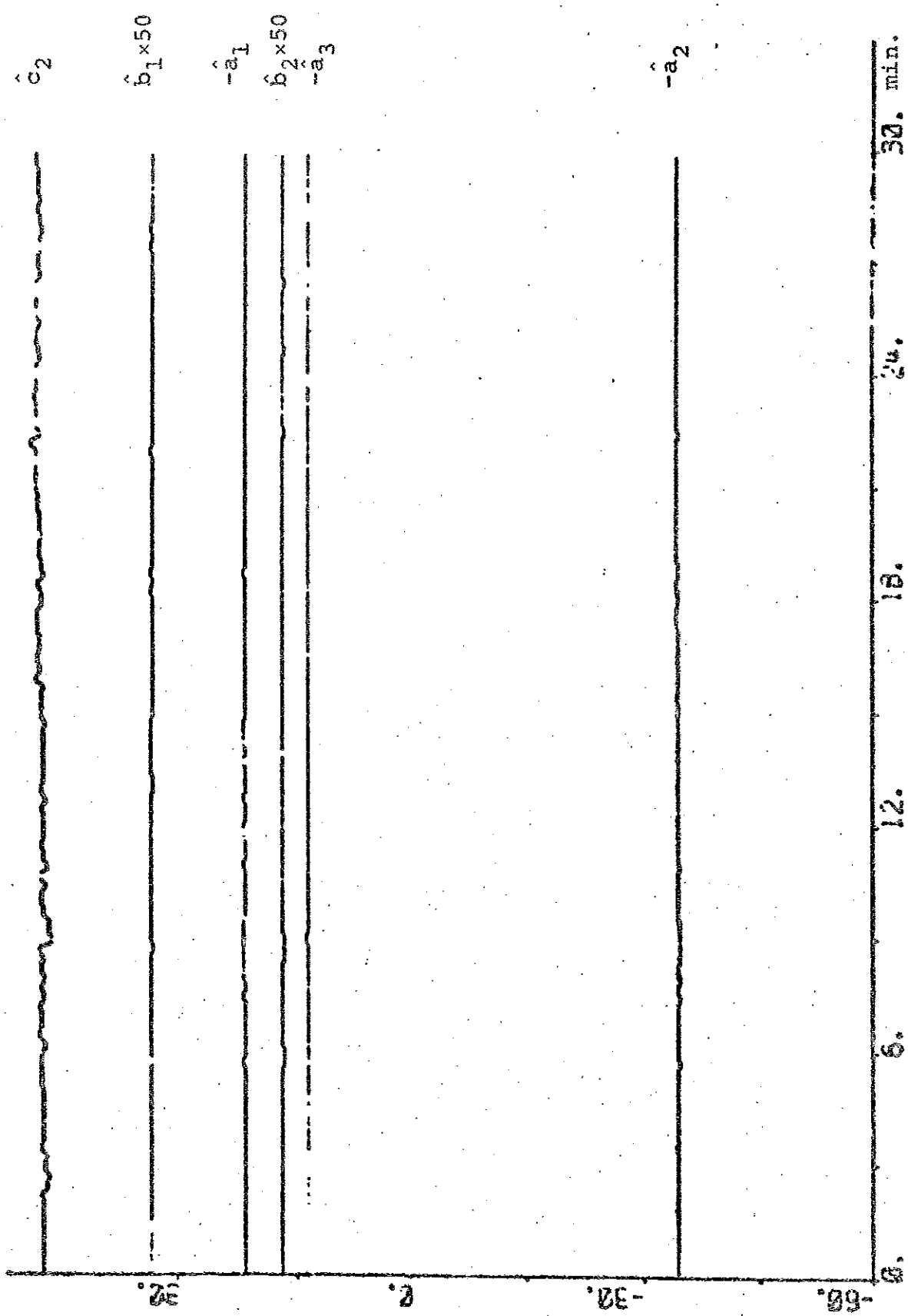


Fig. 4.8b

		Framkoppling $\hat{v}$	Framkoppling $\hat{r}$
Djupgående 20 m Svag vind	$v_1$ gr <sup>2</sup>	0,60	1,21
	$v_2$ gr <sup>2</sup>	0,53	1,13
	$\sigma_\psi$ gr	0,33	0,28
	$\sigma_{\delta_s}$ gr	2,05	3,25

Tabell 4.3 - Resultat av simulerings med framkoppling av endast  $\hat{v}$  resp. endast  $\hat{r}$ .

Tabell 4.3 bör jämföras med tabell 4.2 och slutsatsen blir att framkopplingen av  $\hat{v}$  är den absolut viktigaste, medan framkopplingen av  $\hat{r}$  kan undervas. Denna slutsats är egentligen inte förvånande, eftersom kurssignalen ger information om girvinkelhastigheten medan information om fartygsrörelsen i tvärsled endast kommer in till reglern genom  $\hat{v}$ .

Ett antal simuleringar utan Kalman-filter, d.v.s. i regulatorn (4.1) och (4.2) används  $\psi_m$  istället för  $\hat{\psi}$  och inga framkopplingar, visas i fig. 4.9 - 4.12. Resultaten finns sammanställda i tabell 4.4 som bör jämföras med tidigare tabeller, speciellt tabell 4.2. Slutsatsen blir att ett Kalman-filter otvetydigt förbättrar styrningen. Om tabell 4.4 jämförs med tabell 4.3 ser man emellertid att framkoppling av enbart  $\hat{r}$  är något sämre än inget Kalman-filter alls, vilket möjligen kan förklaras med att regulatorparametrarna i det förra fallet inte har hunnit konvergera ordentligt.

		Svag vind	Hård vind
Djupgående 20 m	$V_1$ gr <sup>2</sup>	1,04	3,36
	$V_2$ gr <sup>2</sup>	0,98	3,02
	$\sigma_\psi$ gr	0,40	0,66
	$\sigma_{\delta_s}$ gr	2,86	5,08
Djupgående 10,5 m	$V_1$ gr <sup>2</sup>	2,47	6,44
	$V_2$ gr <sup>2</sup>	2,44	6,30
	$\sigma_\psi$ gr	0,30	0,59
	$\sigma_{\delta_s}$ gr	4,85	7,71

Tabell 4.4 - Resultat av simuleringar utan framkoppling och med kursmätningen  $\hat{\psi}_m$  istället för estimatet  $\hat{\psi}$  i regulatorn.

Slutligen visas i fig. 4.13 och 4.14 simuleringar utan någon framkoppling, där i första fallet den verkliga kurserna  $\psi$  har använts och i det andra fallet kursestimate  $\hat{\psi}$ . Resultaten finns sammantällda i tabell 4.5 och genom att jämföra med tabell 4.4 kan vi dra slutsatsen att styrningen förbättras om kursestimate  $\hat{\psi}$  används istället för kursmätningen  $\hat{\psi}_m$ . Naturligtvis blir styrningen lite bättre genom att använda den verkliga kurserna  $\psi$  istället för kursestimate  $\hat{\psi}$ , men detta går givetvis inte att utnyttja i praktiken.

		Verklig kurs $\psi$	Kursestimate $\hat{\psi}$
Djupgående 20 m	$V_1$ gr <sup>2</sup>	0,77	0,85
	$V_2$ gr <sup>2</sup>	0,70	0,78
	$\sigma_\psi$ gr	0,37	0,38
	$\sigma_{\delta_s}$ gr	2,37	2,51
Svag vind			

Tabell 4.5 - Resultat av simulering utan framkoppling där den verkliga kurserna  $\psi$  resp. kursestimate  $\hat{\psi}$  har använts.

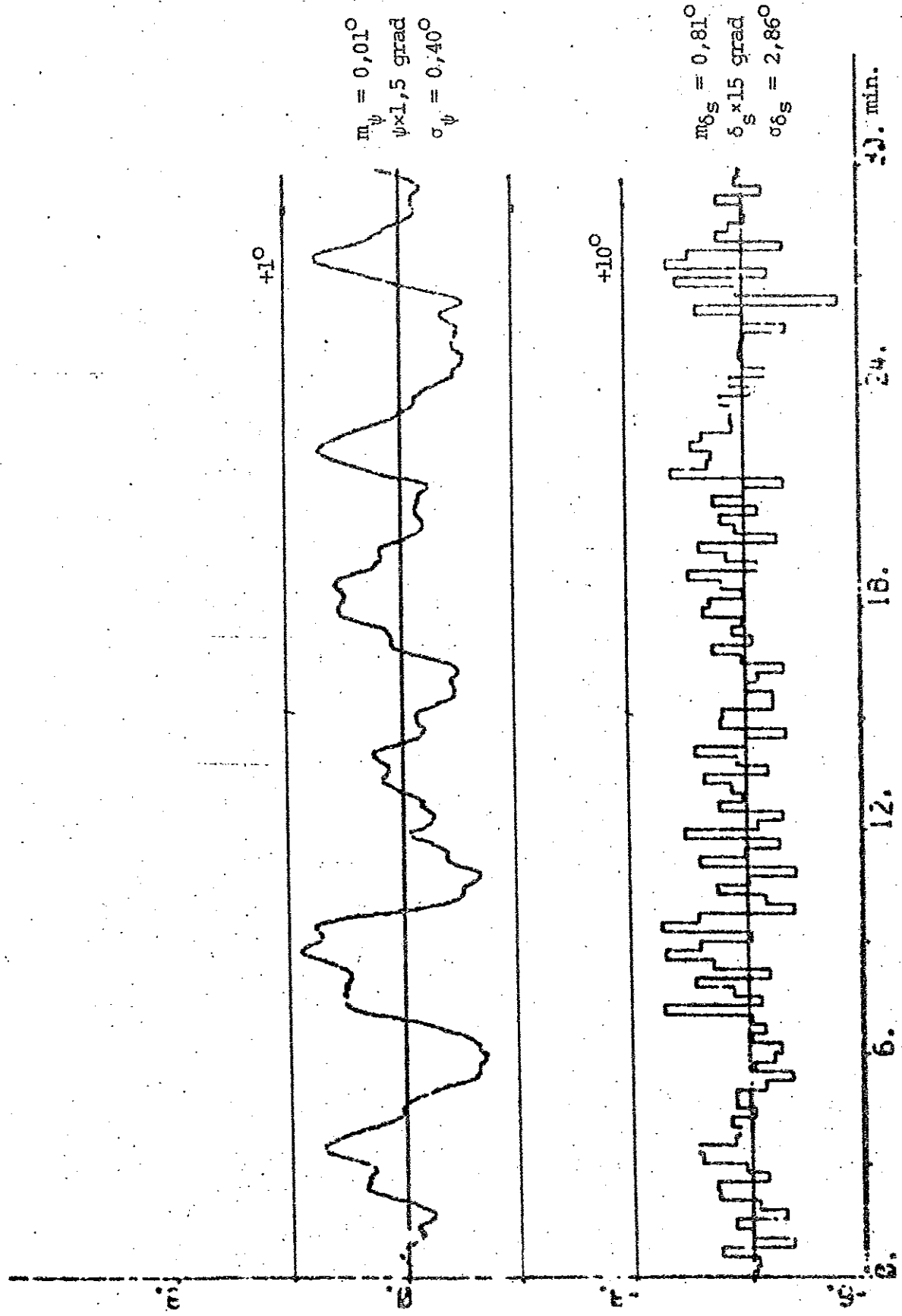


Fig. 4.9a. — Styrning utan framkoppling och med  $\psi_m$  istället för  $\psi$  vid djupgåendet 20 m och svag vind.  
 Forts. nästa sida.

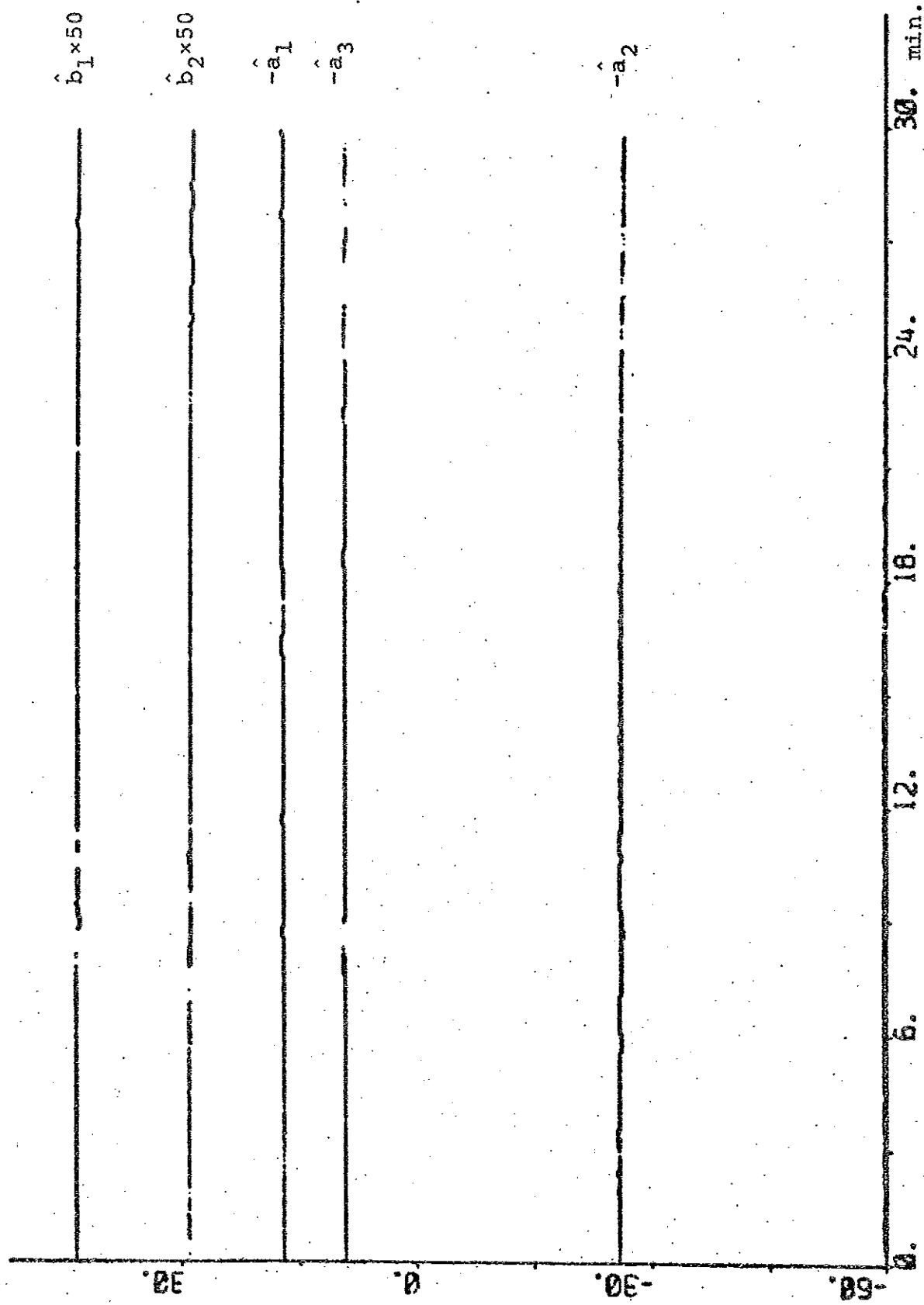


Fig. 4.9b

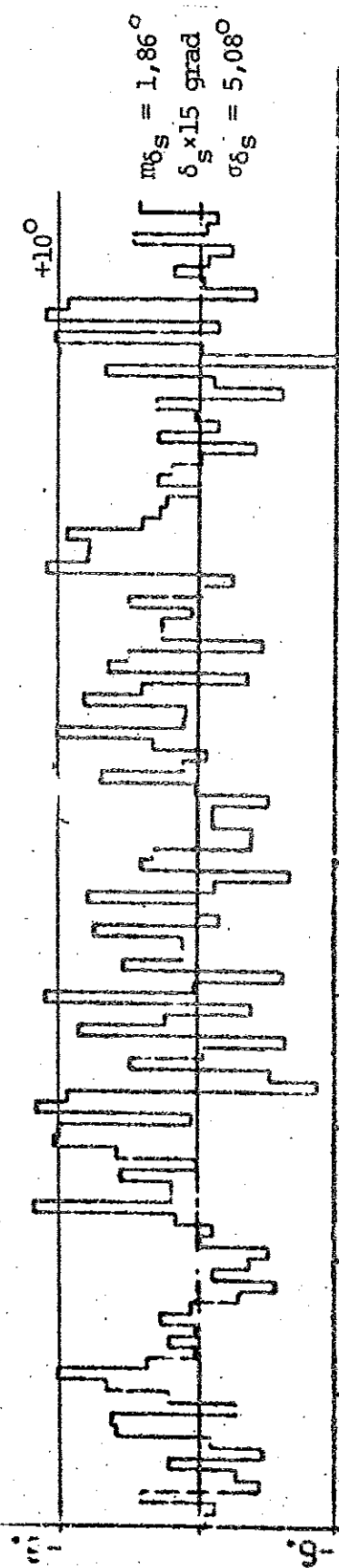
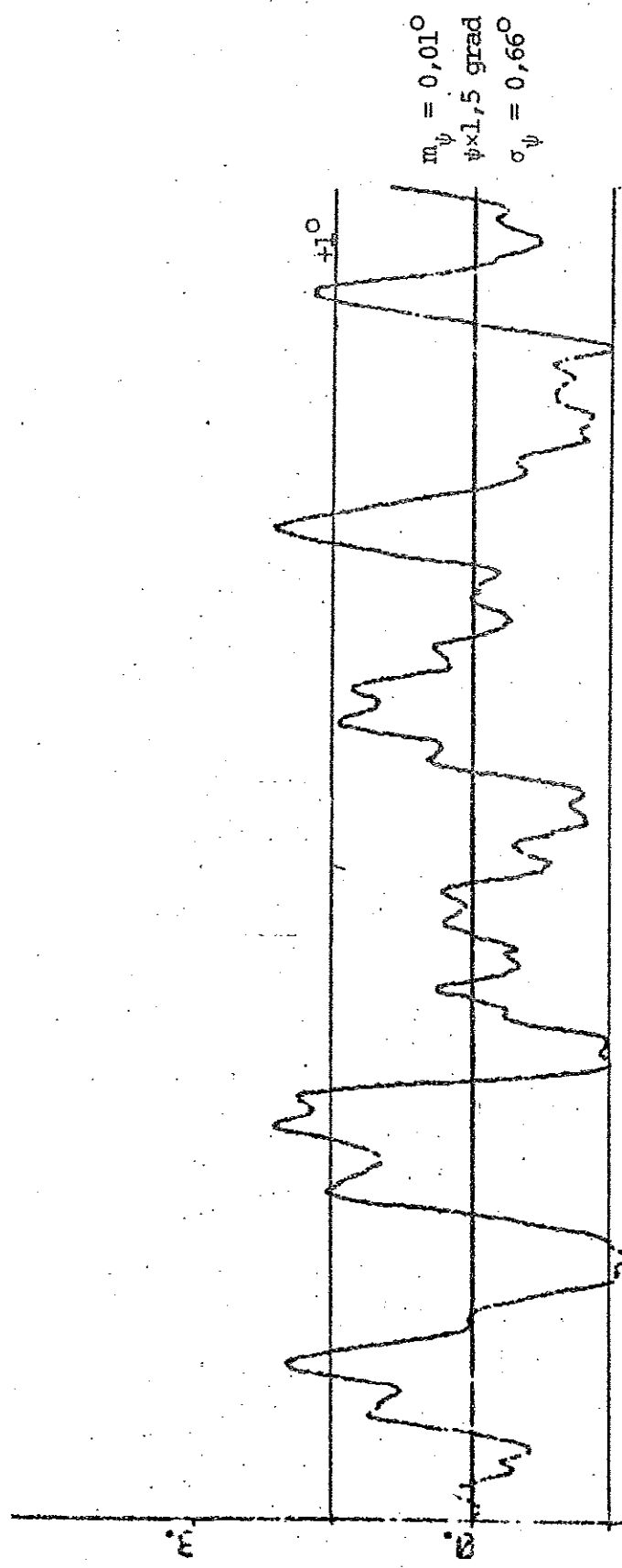
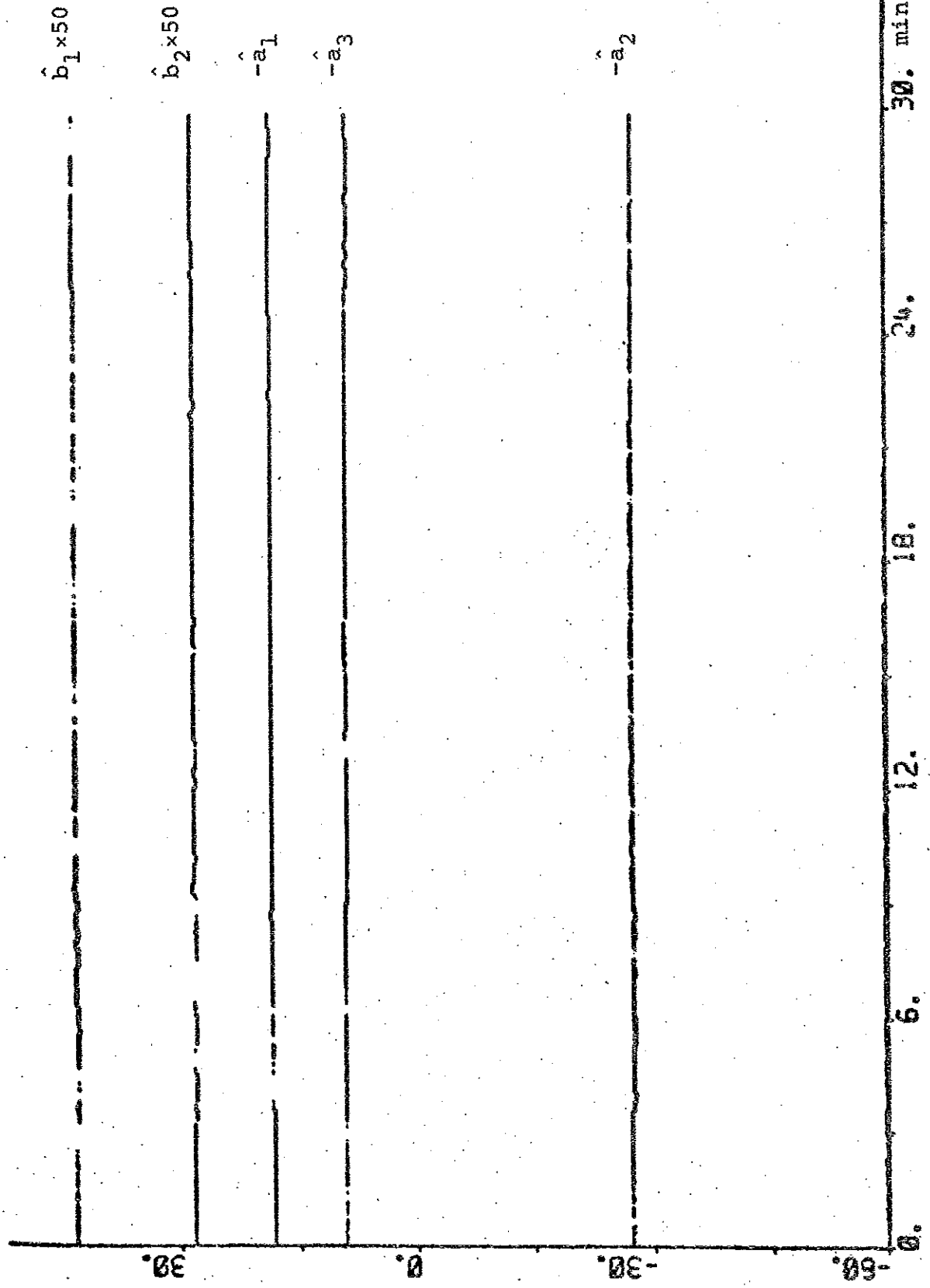
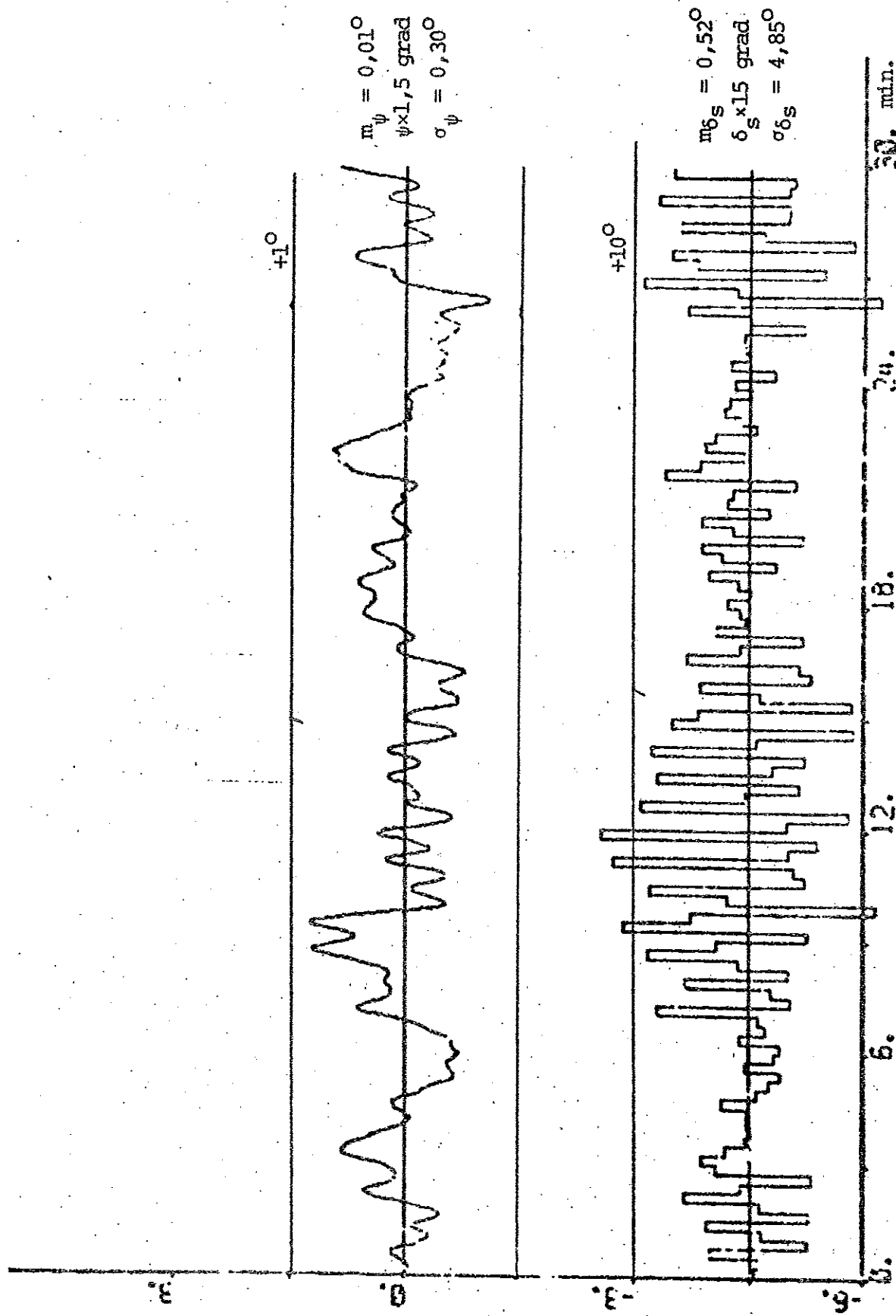


FIG. 4.10a - Styrning utan framkoppling och med  $\psi_m$  istället för  $\psi$  vid djuggåendet 20 m och hård vind.  
Fig. 4.10b - Styrning med framkoppling och med  $\psi_m$  istället för  $\psi$  vid djuggåendet 20 m och hård vind.  
Forts. nästa sida.

Fig. 4.10b





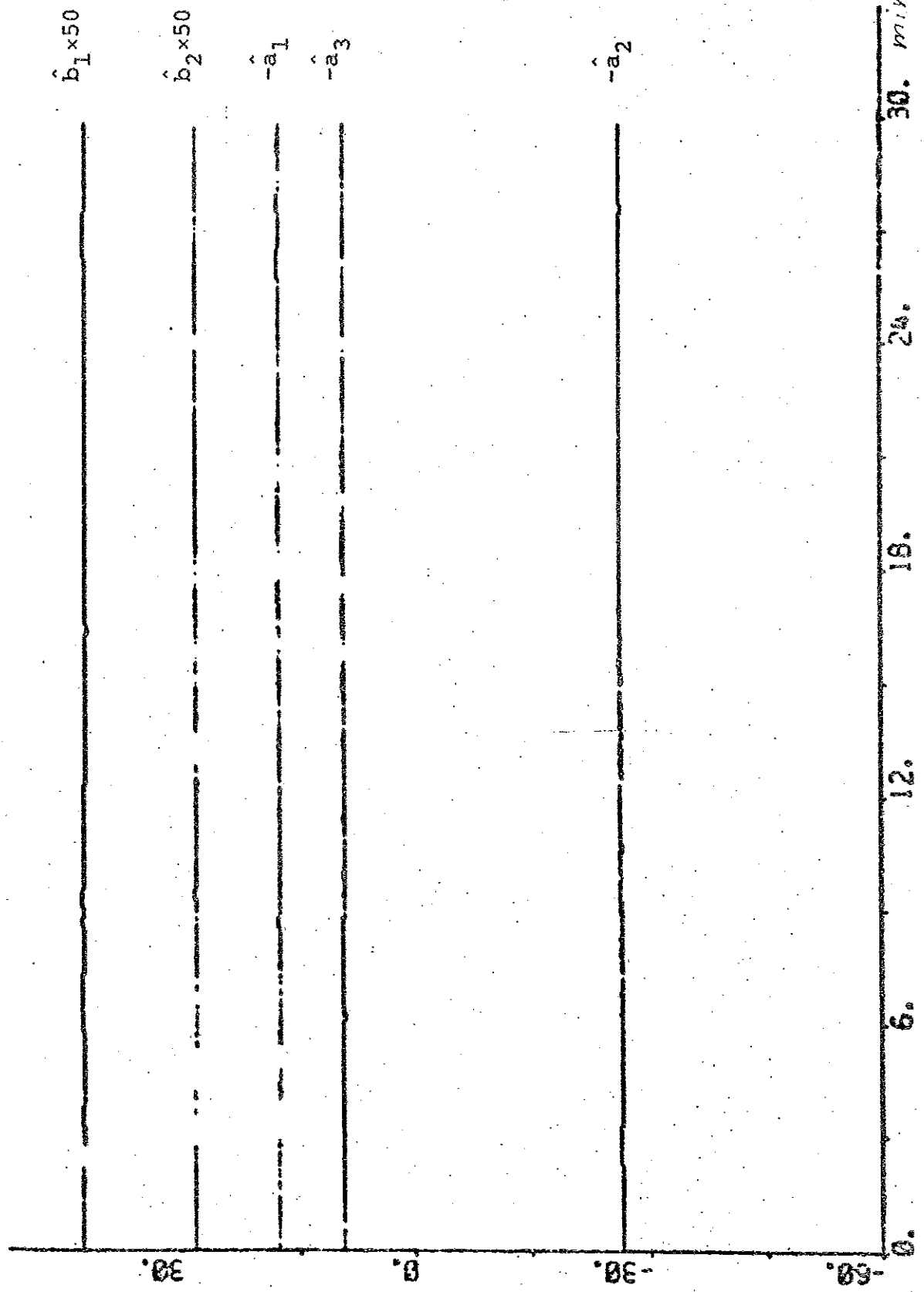


Fig. 4.11b

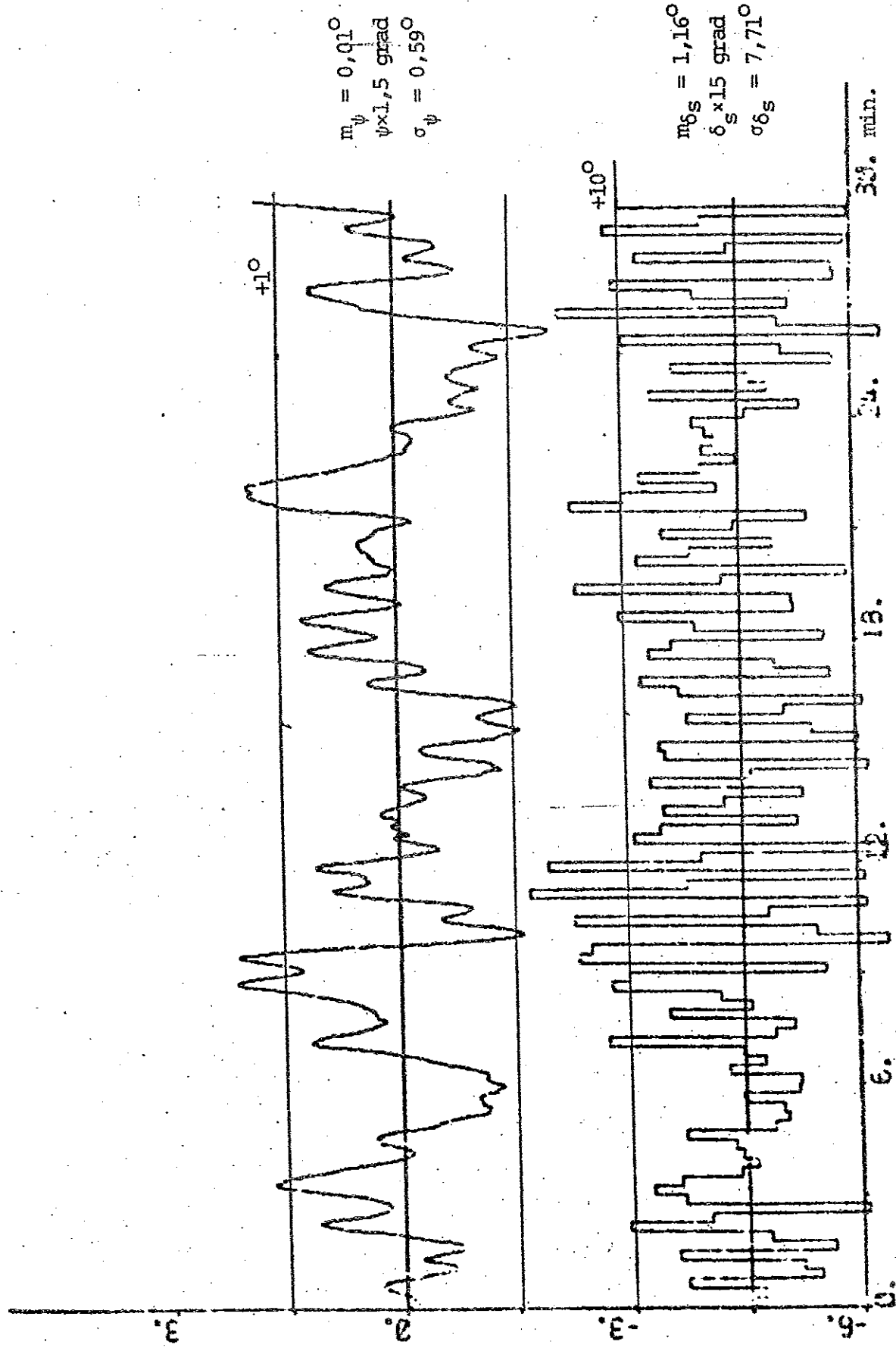


Fig. 4.12a - Styrning utan framkoppling och med  $\psi_m$  istället för  $\psi$  vid djupgåendet 10,5 m och hård vind.  
 Forts. nästa sida.

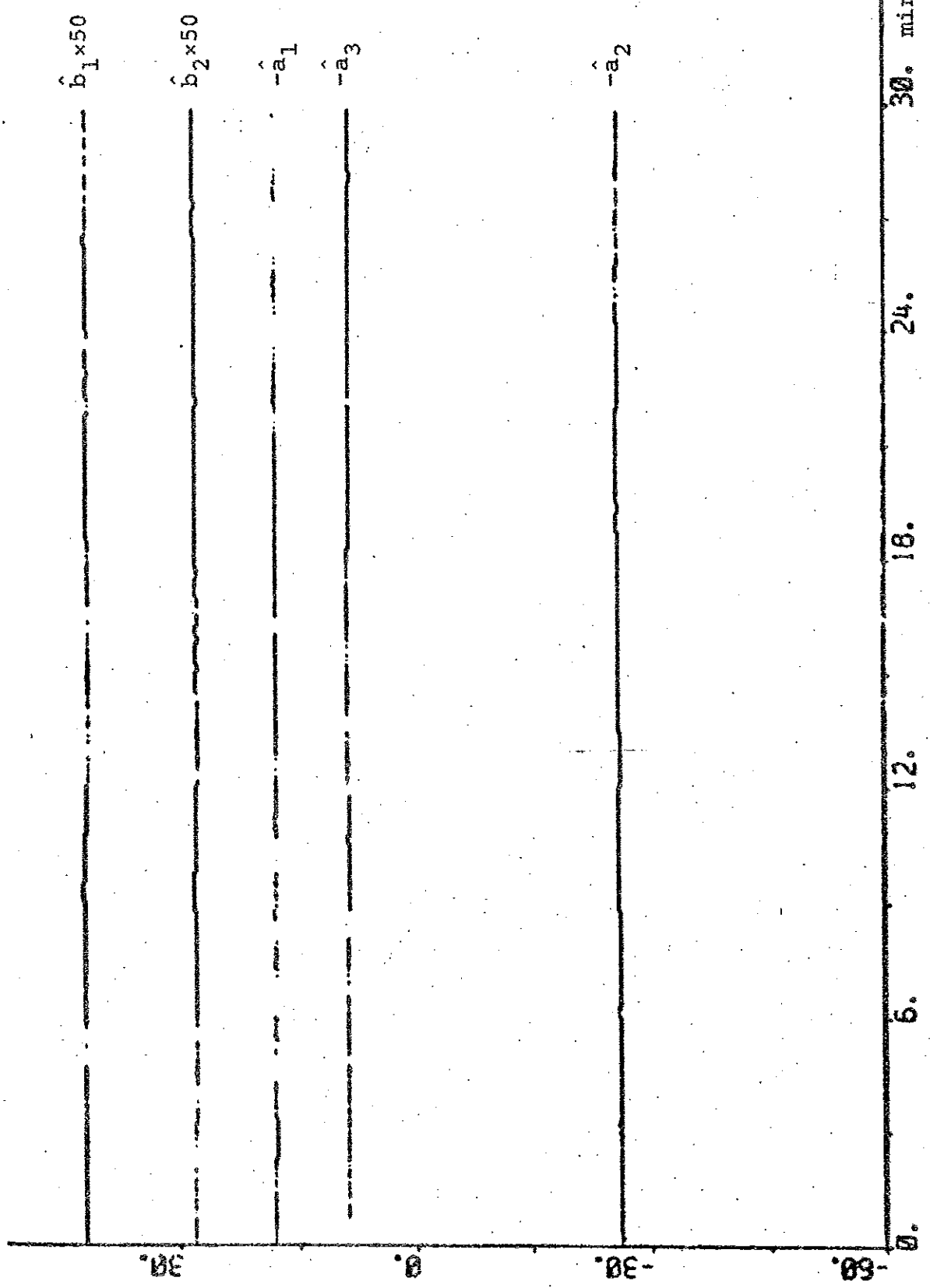
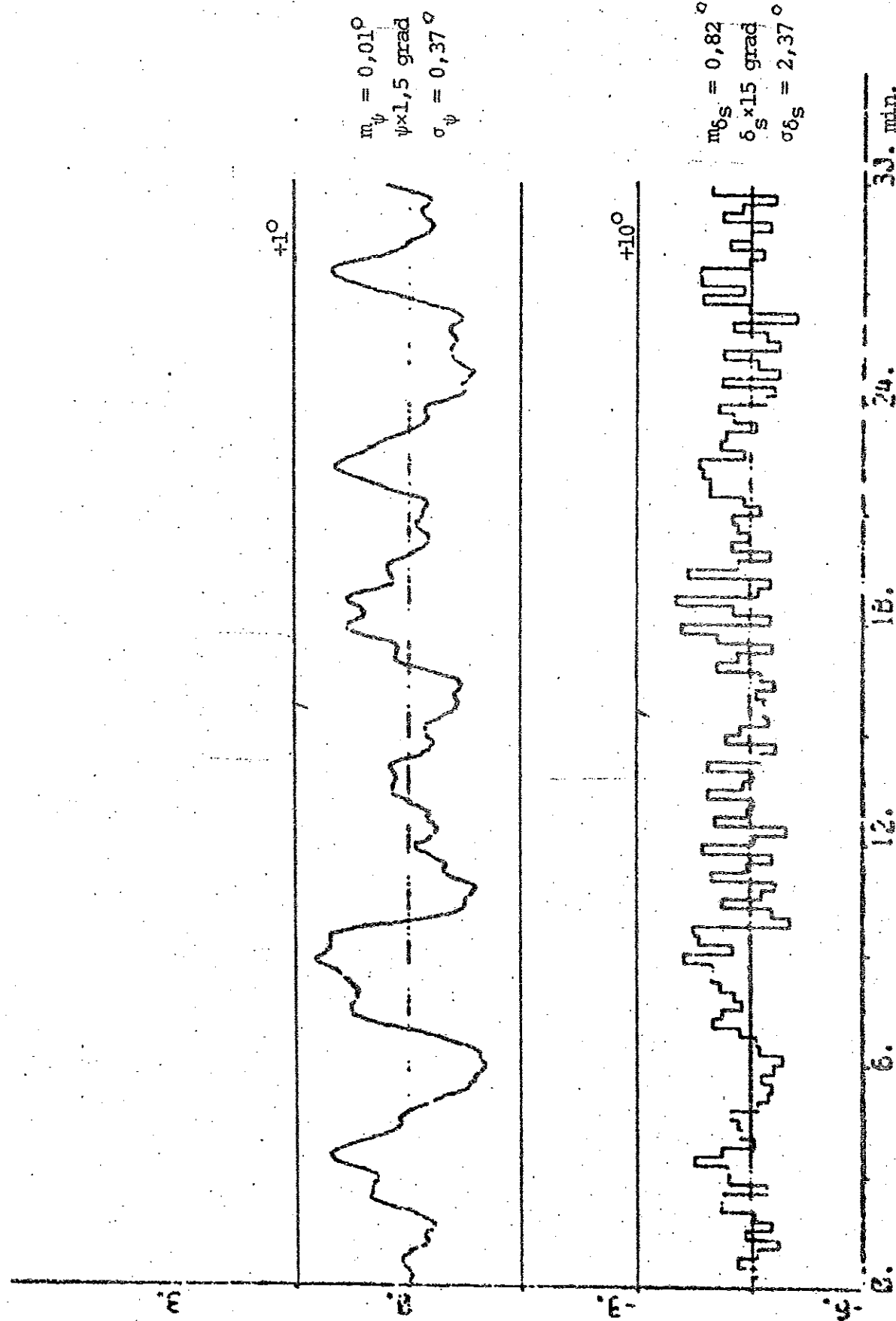
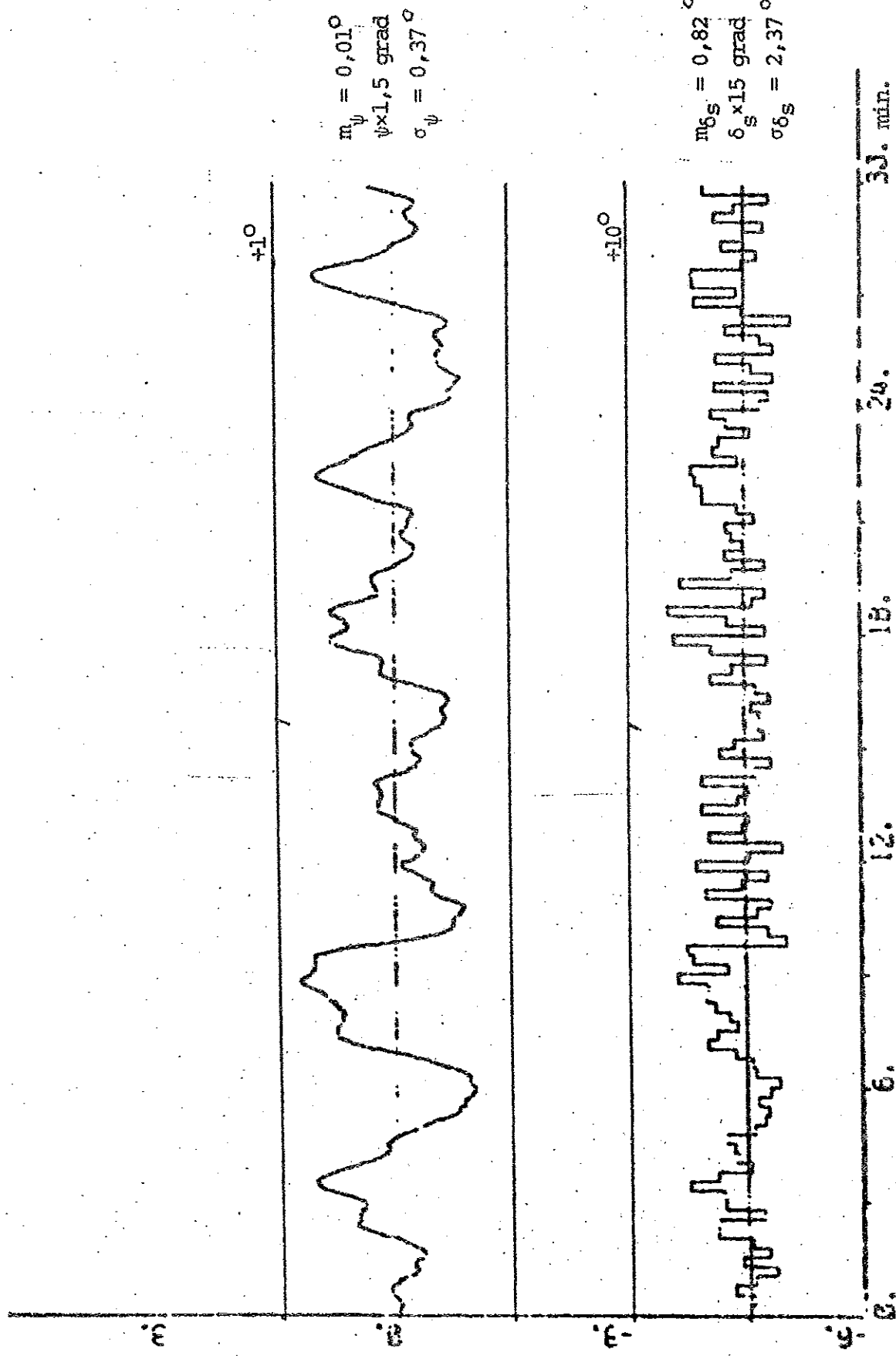


Fig. 4.12b.





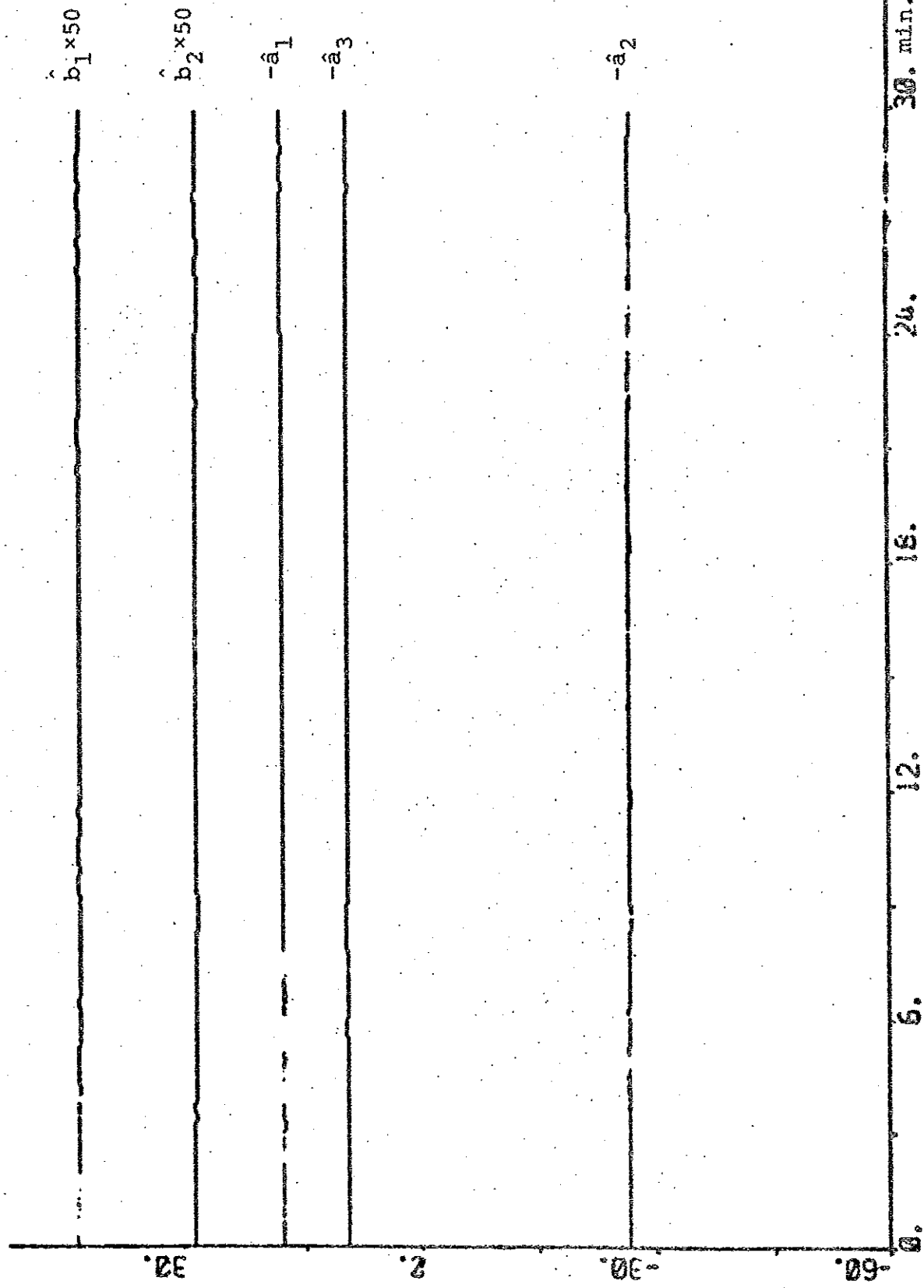
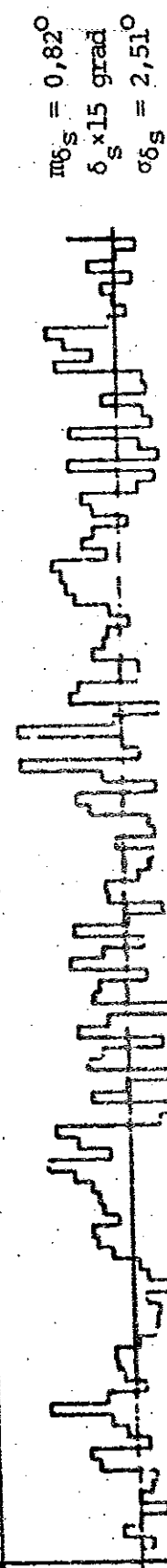
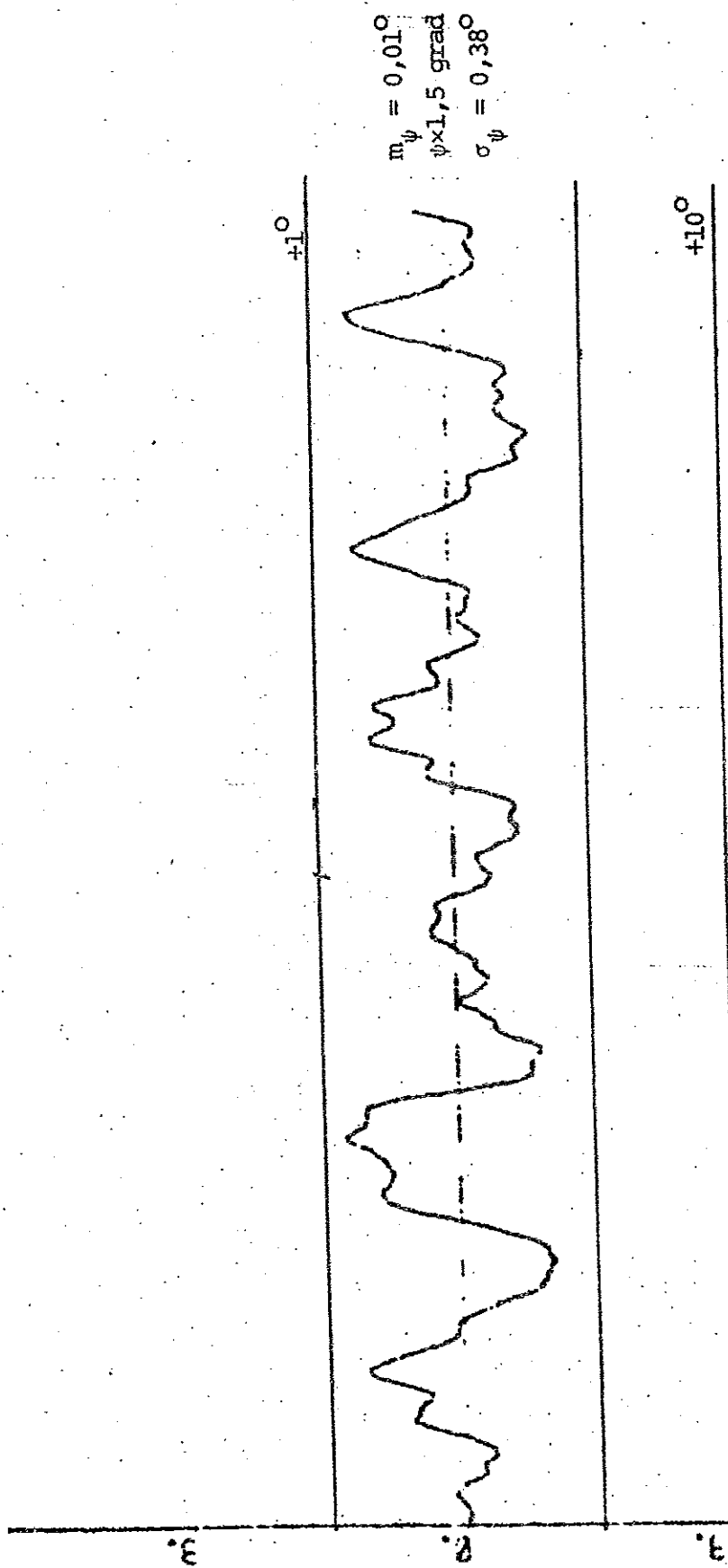


Fig. 4.13b

61.



31. min.

16.

12.

6.

3.

Fig. 4.14a - Styrning utan framkoppling och med  $\psi$  vid djupgåendet 20 m och svag vind.  
Forts. nästa sida.

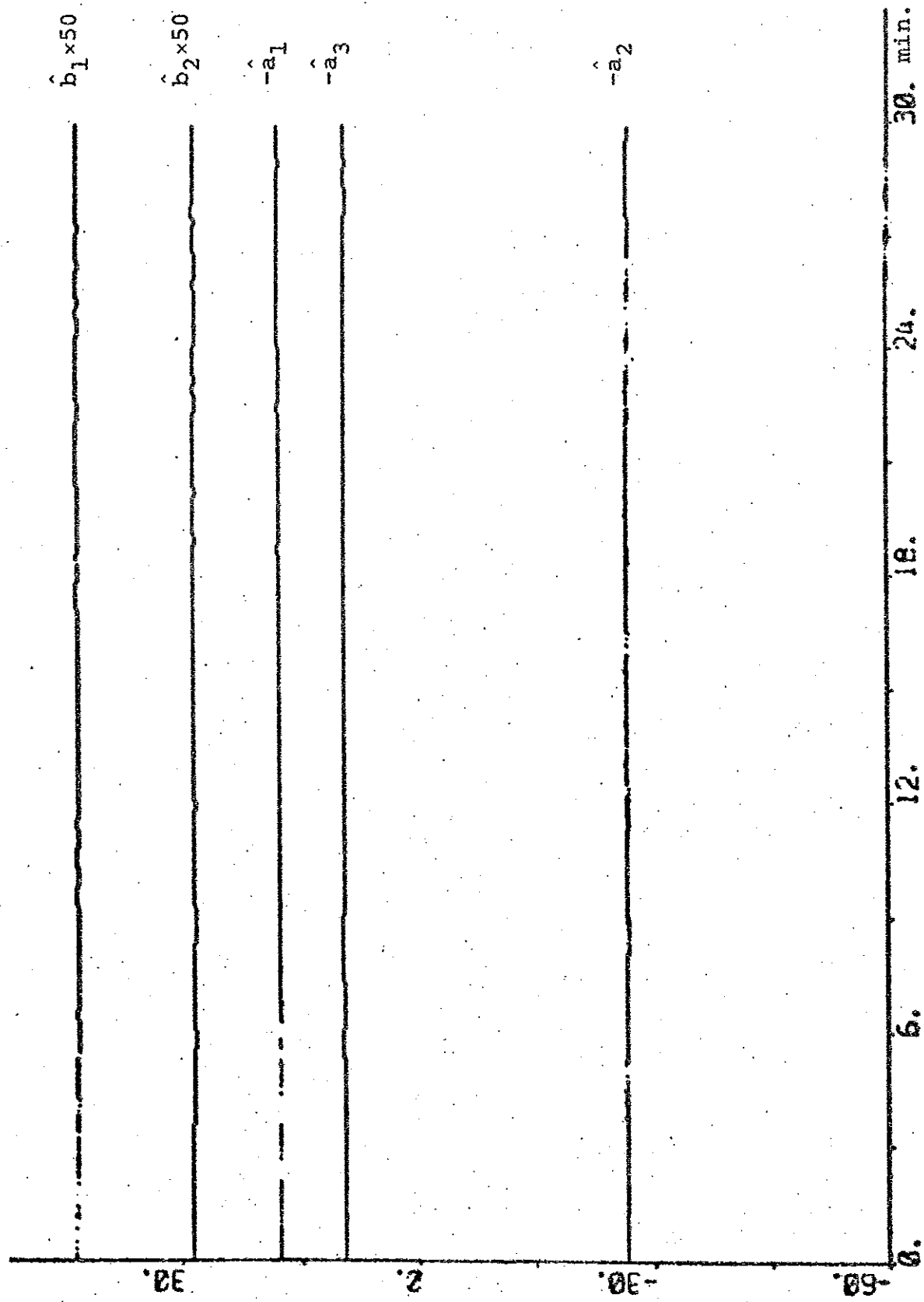


Fig. 4.14b

## 5. SLUTSATSER.

Ett stationärt Kalman-filter designat för djupgåendet 20 m och en vindstyrka av 6 - 9 m/s ger utmärkta tillståndsestimat även för andra djupgåenden och andra vindstyrkor. Kalman-filtret är med andra ord inte särskilt känsligt för ändringar i djupgående eller vindstyrka. Däremot har inte känsligheten för fartändringar undersökts och inte heller hur mycket sämre filtret blir om någon eller några av mätsignalerna faller bort.

En adaptiv autopilot förbättrar styrningen om kursestimatet från Kalman-filtret används istället för kursmätningen, även om denna mätning går att göra relativt noggrant. Bland tänkbara framkopplingar i regulatorn är estimatet av tvärhastigheten den viktigaste för att förbättra styrningen, eftersom regulatorn inte får någon information om fartygsrörelsen i tvärsled på annat sätt. Estimatet av girvinkelhastigheten ger regulatorn mycket lite ytterligare information utöver vad kursestimatet ger, så den framkopplingen kan ev. utelämnas. Estimaten av kraft och moment från vind och vågor gör parameterskattningarna i regulatorn något osäkra och dessutom elimineras denna typ av störningar redan i regulatorn genom att differenser av rodervoläget används. Simuleringarna i denna rapport visar alltså att estimaten av kurs, tvärhastighet och ev. girvinkelhastighet från ett stationärt Kalman-filter förbättrar styrningen hos en adaptiv autopilot.

## 6. REFERENSER.

Aspernäs, B. och Foisack, P. (1975), "Simulering av styr-system för tankfartyg", rapport RE-154 (ex.arbete), Inst. för Reglerteknik, Lunds Tekniska Högskola.

Elmqvist, H. (1975), "SIMNON - An Interactive Simulation Program for Nonlinear Systems, User's Manual", Report 7502, Department of Automatic Control, Lund Institute of Technology.

Källström, C. (1974), "The Sea Scout Experiments, October 1973", Report 7407(C), Div. of Automatic Control, Lund Institute of Technology.

Wittenmark, B. (1973), "A Self-Tuning Regulator", Report 7311, Div. of Automatic Control, Lund Institute of Technology.

Åström, K.J. (1970), "Introduction to Stochastic Control Theory", Academic Press, New York.

## CONNECTING SYSTEM COREG

TIME T

$X1[LPF11]=E1[NOISE]$   
 $X1[LPF12]=E2[NOISE]$

$W1[BOAT4]=X0[LPF11]$   
 $W2[BOAT4]=X0[LPF12]$

$Y1[KAL]=V1[BOAT4]+E1[NOISE]$   
 $Y2[KAL]=V2[BOAT4]+E2[NOISE]$   
 $Y3[KAL]=RM[BOAT4]+E3[NOISE]$   
 $Y4[KAL]=PSIM[BOAT4]+E4[NOISE]$   
 $U[KAL]=Y[DELAY]/CRG$

$Z1[REG]=X1[KAL]*CMK$   
 $Z2[REG]=X2[KAL]*CRG$   
 $Z3[REG]=X3[KAL]*CRG$   
 $Z4[REG]=X4[KAL]*CMK*100$   
 $Z5[REG]=X5[KAL]*CRG*100$   
 $Z6[REG]=PSIM[BOAT4]+E4[NOISE]$   
 $PSIRF[REG]=PREF$

$US[DELAY]=US[REG]$   
 $DELT[S][BOAT4]=US[REG]$   
 $UTSIG=US[REG]$

$U1[REG]=PSIM[BOAT4]$   
 $U2[REG]=PREF$   
 $U3[REG]=DELM[BOAT4]$   
 $U4[REG]=UTSIG$   
 $U5[REG]=V1[BOAT4]$   
 $U6[REG]=V2[BOAT4]$   
 $U7[REG]=VM[BOAT4]$   
 $U8[REG]=RM[BOAT4]$

$C1[FILE]=S1*V1[BOAT4]+PL1$	" TVÄRSHASTIGHET UTAN BRUS
$C2[FILE]=S2*V2[BOAT4]+PL2$	" TVÄRSHASTIGHET UTAN BRUS
$C3[FILE]=S3*VM[BOAT4]+PL3$	" TVÄRSHASTIGHET
$C4[FILE]=S4*RM[BOAT4]+PL4$	" GIRVINKELHASTIGHET UTAN BRUS
$C5[FILE]=S5*PSIM[BOAT4]+PL5$	" KURS UTAN BRUS
$C6[FILE]=S6*DELM[BOAT4]+PL6$	" RÖDERVINKEL
$C7[FILE]=S1*(V1[BOAT4]+E1[NOISE])+PL1+2$	" TVÄRSHAST, MED BRUS
$C8[FILE]=S2*(V2[BOAT4]+E2[NOISE])+PL2+2$	" TVÄRSHAST, MED BRUS
$C9[FILE]=S4*(RM[BOAT4]+E3[NOISE])+PL4+3$	" GIRVINKELHAST, MED BRUS
$C10[FILE]=S5*(PSIM[BOAT4]+E4[NOISE])+PL5+3$	" KURS MED BRUS
$C11[FILE]=S6*UTSIG+PL6$	" PODERSIGNAL

$C12[FILE]=X16[REG]$	" FORLUSTFUNKTION
$C13[FILE]=T$	
$C14[FILE]=THU1[REG]$	
$C15[FILE]=THU2[REG]$	
$C16[FILE]=THU3[REG]$	
$C17[FILE]=THU4[REG]*50$	
$C18[FILE]=THU5[REG]*50$	
$C19[FILE]=THU6[REG]$	

C20(FILE)=THU7(REG)  
C21(FILE)=THU8(REG)  
C22(FILE)=THU9(REG)  
  
C23(FILE)=S3\*CMK\*X1(KAL)+PL23  
C24(FILE)=S4\*CRG\*X2(KAL)+PL24  
C25(FILE)=S5\*CRG\*X3(KAL)+PL25  
C26(FILE)=S29\*CMK\*X4(KAL)  
C27(FILE)=S30\*CRG\*X5(KAL)  
  
C28(FILE)=T/60  
  
C29(FILE)=S29\*CMK\*(X0(LPF1)-1.1901E-03)  
C30(FILE)=S30\*CRG\*(X0(LPF2)+3.25177E-07)

PREF:0.  
S1:2.5  
PL1:3.  
S2:2.5  
PL2:-1.  
S3:5.  
PL3:-3.  
S4:10.  
PL4:0.  
S5:1.5  
PL5:0.  
S6:0.15  
PL6:-4.5  
PL23:-5.  
PL24:-3.  
PL25:-3.  
PL26:-2.3134  
PL27:1.86313E-02  
S29:1.E03  
PL29:0.  
S30:1.E03  
PL30:0.  
CMK:1.943844  
CRG:57,2958  
  
END

## CONTINUOUS SYSTEM BOAT4

STATE DELTA V R PSI  
 " DELTA=RODERVINKEL [RAD]  
 " V =TRANSVERSELL HASTIGHET[M/S]  
 " R =GIRVINKEHLHASTIGHET [RAD/(S\*100)]  
 " PSI =KURS [RAD]

DER DDELT DV DR DPSI

INPUT DELTS W1 W2  
 " DELTS=RODERVINKEL;ONSKAD [GRAD]  
 " W1 =FILTRERAT BRUS  
 " W2 =FILTRERAT BRUS

OUTPUT DELM V1 V2 VM RM PSIM  
 " DELM=RODERVINKEL [GRAD]  
 " V1 =TRANSVERSELL HASTIGHET;FOR [KNOP]  
 " V2 =TRANSVERSELL HASTIGHET;AKTER [KNOP]  
 " VM =TRANSVERSELL HASTIGHET;MASSCENTRUM [KNOP]  
 " RM =GIRVINKEHLHASTIGHET [GRAD/S]  
 " PSIM=KURS [GRAD]

INITIAL  
 DELTA:0  
 V :0  
 R :0  
 PSI :0  
 F1 =(20,-TT)/9.5  
 F2 =(TT-10.5)/9.5  
 CDV=YVD10\*F1+YVD20\*F2  
 YUVP=YUV10\*F1+YUV20\*F2  
 YUVM=YUR10\*F1+YUR20\*F2  
 YVVP=YVV10\*F1+YVV20\*F2  
 IZN=NRD10\*F1+NRD20\*F2  
 NUVP=NUV10\*F1+NUV20\*F2  
 NURM=NUR10\*F1+NUR20\*F2  
 NVRP=NVR10\*F1+NVR20\*F2  
 TS1 =1/TS  
 TS2 =TS1/CRG  
 LIM1=DELIM/CRG  
 G1S=G1/L  
 G3S=G3\*L  
 NSIGN=SIGN(N)  
 N2=N\*N  
 U2=U\*U  
 TPH=G1S\*U2+G2\*U\*N+G3S\*NSIGN\*N2  
 CCA=C1\*U2+C2\*NSIGN\*U2+C3\*U\*N+C4\*N2  
 A11=CDV  
 A12=MXY\*L  
 A21=MXN/L  
 A22=IZN  
 DET1=1/(A11\*A22-A12\*A21)  
 CUV=YUVP/L  
 CUR=YUVM  
 CV2=YVVP/L  
 CYC=YCCDP/L  
 CN2=YNRP\*L  
 C2UV=NUVP/(L\*L)  
 C2UR=NURM/L  
 C2VR=NVRP/L  
 C2CD=NCDP/(L\*L)

C2TP=KTNP/L  
 CSIN=LV/(L\*L)  
 FV1=CMK\*L1  
 FV2=-CMK\*L2  
 SINAL=SIN(1/CRG\*ALFA)\*K  
 COSAL=COS(1/CRG\*ALFA)\*K

## OUTPUT

DELM=CRG\*DELTA  
 V1=FV1\*R/100.+CMK\*V  
 V2=FV2\*R/100.+CMK\*V  
 VM=CMK\*V  
 RM=CRG\*R/100.  
 PSIM=CRG\*PSI

## DYNAMICS

SINP=SIN(PSI)  
 COSP=COS(PSI)  
 RR=R/100.  
 DDEL1=-TS1\*DELTA+TS2\*DELT  
 DDELT=IF DDEL1<-LIM1 THEN -LIM1 ELSE IF DDEL1>LIM1 THEN LIM1 ELSE DDEL1  
 KSIN=SINAL\*COSP-COSAL\*SINP  
 B0=CUV\*U\*V+CUR\*U\*RR+CV2\*V\*ABS(V)+CYC\*CCA\*DELTA+KTYP\*TPM  
 B1=B0+CN2\*N2-KSIN+W1

B21=C2UV\*U\*V+C2UR\*U\*RR+C2VR\*ABS(V)\*RR+C2CD\*CCA\*DELTA

B2=B21+C2TP\*TPM+NNNP\*N2+CSIN\*KSIN+W2

DV=DET1\*(B1\*A22-B2\*A12)

DR=DET1\*(B2\*A11-B1\*A21)\*100.

DPSI=RR

U:8.202 "FRAMMAT HASTIGHET (M/S)  
 N:1.282 "VARVTAL (1/S)

G:9.80665

CMK:1.943844

CRG:57.2958

CDLIM:7.9

L1329.18 " BATENS LAENGD

TS:5.0 " TIDSKONSTANT FOR RODRET

DELIM:2.0 " BEGRAENSNING FOR RODERHASTIGHETEN

D1:0.70E-7

D2:-0.95E-7

D3:0.575E-4

D4:0.423E-6

D5:-0.695E-7

D6:-0.431E-6

D7:0.685E-5

COU:1.050

XU2P:-0.0208

XVRP:6.0

XVVP:8.70

XCDP:-0.220

MLP:0.760

YVD10:1.67

YVD20:2.5

MXY:0.050

YUV10:-1.21

YUV20:-1.083

YUR10:-0.525

YUR20:-0.625

TT:20. " DJUPGAENDE

YVV10:-0.58

YVV20:-1.06

YCCDP:0.197

KTYP:0.040

YNNP:0

K:0  
ALFA:135.  
MXN:0.040  
NRD10:0.100  
NRD20:0.16  
NUV10:-0.180  
NUV20:-0.329  
NUR10:-0.256  
NUR20:-0.2122  
NVR10:-0.23  
NVR20:-0.49  
NCDP:-0.092  
KTPN:-0.0000645

## " VINDRIKTNING

NNNP:0  
LV:25.  
G1:-0.0226  
G2:-0.232E-3  
G3:0.234E-4  
C1:0.4225  
C2:-0.224  
C3:-0.81  
C4:29.1  
L1:148.7  
L2:131.1

## " MOMENTARM FOR VINDEN

" AVSTAND FRAN MASSCENTRUM TILL FORLIG DOPPLERLOGG  
" AVSTAND FRAN MASSCENTRUM TILL AKTLIG DOPPLERLOGG

END

## DISCRETE SYSTEM KAL

TIME T  
 INPUT Y1 Y2 Y3 Y4 U  
 STATE X1 X2 X3 X4 X5  
 NEW NX1 NX2 NX3 NX4 NX5  
 TSAMP TS

INITIAL  
 X1:0  
 X2:0  
 X3:0  
 X4:-1.1901E-03  
 X5:3.25177E-07

DYNAMICS  
 $H_1 = A_{11} \cdot X_1 + A_{12} \cdot X_2 + A_{14} \cdot X_4 + A_{15} \cdot X_5 + B_1 \cdot U$   
 $H_2 = A_{21} \cdot X_1 + A_{22} \cdot X_2 + A_{24} \cdot X_4 + A_{25} \cdot X_5 + B_2 \cdot U$   
 $H_3 = A_{31} \cdot X_1 + A_{32} \cdot X_2 + A_{33} \cdot X_3 + A_{34} \cdot X_4 + A_{35} \cdot X_5 + B_3 \cdot U$   
 $H_4 = X_4$   
 $H_5 = X_5$

EPS1=Y1-C11\*H1-C12\*H2  
 EPS2=Y2-C21\*H1-C22\*H2  
 EPS3=Y3-C32\*H2  
 EPS4=Y4-C43\*H3

NX1=H1+K11\*EPS1+K12\*EPS2+K13\*EPS3+K14\*EPS4  
 NX2=H2+K21\*EPS1+K22\*EPS2+K23\*EPS3+K24\*EPS4  
 NX3=H3+K31\*EPS1+K32\*EPS2+K33\*EPS3+K34\*EPS4  
 NX4=H4+K41\*EPS1+K42\*EPS2+K43\*EPS3+K44\*EPS4  
 NX5=H5+K51\*EPS1+K52\*EPS2+K53\*EPS3+K54\*EPS4

TS=T+DT  
 DT:1  
 A11:0.9903  
 A12:-1.810  
 A14:0.4003  
 A15:-46.87  
 A21:-1.4564E-04  
 A22:0.9689  
 A24:-3.2999E-04  
 A25:6.186  
 A31:-7.3324E-05  
 A32:0.9843  
 A34:-1.6091E-04  
 A35:3.109  
 K11:7.7668E-04  
 K12:1.3864E-02  
 K13:-8.6189E-03  
 K14:-4.7886E-03  
 K21:6.4842E-04  
 K22:-6.5972E-04  
 K23:8.6149E-04  
 K24:2.2765E-04  
 K31:9.8572E-04  
 K32:-1.1748E-03  
 K33:1.4228E-03  
 K34:2.1612E-03  
 K41:4.3472E-04  
 K42:4.4547E-04  
 K43:-7.0783E-06  
 K44:3.8565E-05

K51:3.2366E-05  
K52:-3.1357E-05  
K53:4.1965E-05  
K54:2.3513E-06  
B1:1.4756E-02  
B2:-2.8782E-04  
B3:-1.4449E-04  
C11:1.944  
C12:289.0  
C21:1.944  
C22:-254.8  
C32:57.30  
C43:57.30

END

## DISCRETE SYSTEM DELAY

INPUT US  
STATE Y  
NEW NY  
TIME T  
TSAMP TS

INITIAL  
Y:0

DYNAMICS  
NY=US  
TS=T+DT  
DT:1.  
END

```

001      SUBROUTINE REG
002      C
003      REAL LAMB
004      DIMENSION DAT(70),TH(9),THU(9),P(45),DUM(12)
005      DIMENSION X(16),U(8),H(14)
006      DIMENSION Z(6)
007      COMMON /TIME/ T
008      COMMON /DESTIN/ IDUM, IPART
009      COMMON /XUHL/ X,U,H,LAMB
010      GOT0(1,2,3,4,5,6,7,8),IPART
011      C
012      1      CALL IDENT('DISCR','REG')
013      RETJRN
014      C
015      2      CALL INPUT(U,8,'U')
016      CALL OUTPUV(X,16,'X')
017      CALL INPUT(Z,6,'Z')
018      CALL INPUT(PSIRF,'PSIRF')
019      CALL OUTPUT(US,'US')
020      CALL TSAMP(TS,'TS')
021      CALL PAR(DT,'DT')
022      CALL PAR(USL,'USL')
023      CALL PAR(LAMB,'LAMB')
024      CALL PAR(ANA,'NA')
025      CALL PAR(ANB,'NB')
026      CALL PAR(ANC,'NC')
027      CALL PAR(AK,'K')
028      CALL PAR(RL,'RL')
029      CALL PAR(B0,'B0')
030      CALL PARV(P,45,'P')
031      CALL OUTPUV(THU,9,'THU')
032      CALL PARV(TH,9,'TH')
033      CALL PAR(SW,'SW')
034      C
035      3      DT=15,
036                  LAMB=1./8,
037                  USL=20,
038                  ANA=3,
039                  ANB=2,
040                  ANC=4,
041                  AK=5,
042                  RL=0.99
043                  B0=-1,
044                  SW=0,
045                  DO 302 I=1,9
046                  TH(I)=0,
047                  DO 304 I=1,45
048                  P(I)=0,
049                  DO 306 I=1,9
050                  L=I*(I-1)/2+1
051                  P(L)=100,
052                  RETURN
053      C
054      4      TS=T
055                  AN=0,
056                  USOLD=0,
057                  US=0,
058                  Z10LD=0,
059                  Z20LD=0,
060                  Z40LD=0,
061                  Z50LD=0,
062                  DO 401 I=1,14
063                  H(I)=0,
401

```

```

064      DO 402 I=1,16
065      402      X(1)=0.
066      NA=ANA+0.1
067      NB=ANB+0.1
068      NC=ANC+0.1
069      ISW=SW+0.1
070      K=AK+0.1
071      DO 403 I=1,70
072      403      DAT(I)=0.
073      NAB=NA+NB
074      NP=NAB+NC
075      K11=K+1
076      NDAT=NAB+(K11+1)*(NC+2)-2
077      NDAT1=NDAT+1
078      NU1=NA+K+2
079      N1=NU1+K
080      NN1=NAB+2*K+3
081      NN2=NAB+(2+K)*3-1
082      NN3=NAB+(2+K)*4-1
083      NN4=NAB+(2+K)*5-1
084      RETURN
085      C
086      5      AN=AN+1,
087      IF(ISW)501,501,502
088      501      DAT(1)=Z(6)-PSIRF
089      GOTO 503
090      502      DAT(1)=Z(3)-PSIRF
091      503      DAT(NN1)=Z(1)-Z1OLD
092      DAT(NN2)=Z(2)-Z2OLD
093      DAT(NN3)=Z(4)-Z4OLD
094      DAT(NN4)=Z(5)-Z5OLD
095      Z1OLD=Z(1)
096      Z2OLD=Z(2)
097      Z4OLD=Z(4)
098      Z5OLD=Z(5)
099      CALL STURA(DAT,TH,P,DUM,RL,NA,NAB,NP,K11,NDAT,NDAT1,NU1,N1)
100      US1=DAT(NU1)/B0+US
101      USOLD=US
102      IF(ABS(US1)-USL)570,570,569
103      569      US1=SIGN(1.,US1)*USL
104      DAT(NU1)=(US1-USOLD)*B0
105      570      US=US1
106      DO 580 I=1,9
107      580      THU(I)=TH(I)
108      CALL LOSS(AN)
109      RETURN
110      C
111      6      TS=T+DT
112      RETURN
113      C
114      7      CONTINUE
115      RETURN
116      C
117      8      CONTINUE
118      RETURN
119      C
120      END

```

A.11.  
SUBROUTINE STURA(DAT,TH,P,DUM,RL,NA,NAB,NP,K1,NDAT,NDAT1,NU1,N1)

SELF-TUNING REGULATOR BASED ON LEAST SQUARES IDENTIFICATION  
AND MINIMUM VARIANCE CONTROL, ADMITS FEEDFORWARD AND  
EXPLOITS SYMMETRY OF P.

AUTHOR, C.KALLSTROM 1974-11-19.

THE ALGORITHM IS BASED ON THE MODEL

$$Y(T) + A(1)*Y(T-K-1) + \dots + A(NA)*Y(T-K-NA) = \\ B_0*(U(T-K-1) + B(1)*U(T-K-2) + \dots + B(NB)*U(T-K-NB-1)) + \\ C(1)*V1(T-K-1) + C(2)*V2(T-K-1) + \dots + C(NC)*VNC(T-K-1) + EPS(T)$$

AT EACH STEP THE LEAST SQUARES ESTIMATES OF THE PARAMETERS  
OF THE MODEL ARE COMPUTED. THE CONTROL VARIABLE U(T) TO  
BE APPLIED AT TIME T IS THEN COMPUTED FROM

$$US(T) = AE(1)*Y(T) + \dots + AE(NA)*Y(T-NA+1) \\ - BE(1)*US(T-1) - \dots - BE(NB)*US(T-NB) \\ - CE(1)*V1(T) - \dots - CE(NC)*VNC(T)$$

WHERE AE,BE AND CE ARE THE PARAMETER ESTIMATES  
AND US THE SCALED CONTROL SIGNAL I.E.,  $US = B_0 * U$

WHEN USING THE ALGORITHM THE PROCESS OUTPUT Y(T) AND THE  
FEEDFORWARD SIGNALS V(T) ARE READ AT TIME T AND THE CONTROL  
SIGNAL U(T) TO BE APPLIED AT TIME T IS THEN COMPUTED

DAT= VECTOR OF DIMENSION  $NA+NB+(K+2)*(NC+2)-2$  CONTAINING  
PROCESS OUTPUTS Y, SCALED CONTROL VARIABLES U  
AND FEED FORWARD SIGNALS V ORGANIZED AS FOLLOWS  
DAT(1)=Y(T) RETURNED AS Y(T)  
DAT(2)=Y(T-1) RETURNED AS Y(T)  
DAT(3)=Y(T-2) RETURNED AS Y(T-1)  
.  
DAT(NA+K+1)=Y(T-K-NA) RETURNED AS Y(T-K-NA+1)  
DAT(NA+K+2)=US(T-1) RETURNED AS US(T)  
DAT(NA+K+3)=US(T-2) RETURNED AS US(T-1)  
.  
DAT(NA+NB+2\*K+2)=US(T-K-NB-1) RETURNED AS US(T-K-NB)  
DAT(NA+NB+2\*K+3)=V1(T) RETURNED AS US(T-K-NB-1)  
DAT(NA+NB+2\*K+4)=V1(T-1) RETURNED AS V1(T)  
.  
DAT(NA+NB+3\*K+4)=V1(T-K-1) RETURNED AS V1(T-K)  
.  
DAT(NA+NB+(K+2)\*(NC+1)-1)=VNC(T) RETURNED AS V(NC-1)(T-K-1)  
.  
DAT(NA+NB+(K+2)\*(NC+2)-2)=VNC(T-K-1) RETURNED AS VNC(T-K)

TH= VECTOR OF DIMENSION  $NP=NA+NB+NC$  CONTAINING THE PARAMETER  
ESTIMATES ORGANIZED AS FOLLOWS

TH(1)=~AE(1)  
TH(2)=~AE(2)  
.  
TH(NA)=~AB(NA)  
TH(NA+1)=BE(1)  
TH(NA+2)=BE(2)  
.  
TH(NA+N8)=BE(NB)  
TH(NA+NB+1)=CE(1)  
TH(NA+NB+2)=CE(2)

C  
C  
C  
C  
TH(NA+NB+NC)=CE(NC)

P= COVARIANCE MATRIX STORED AS FOLLOWS

P(1)=P(1,1)

P(2)=P(2,1)

P(3)=P(2,2)

·  
P(I\*(I-1)/2+J)=P(I,J)

·  
P(NP\*(NP+1)/2)=P(NP,NP)

DUM= DUMMY VECTOR OF DIMENSION NP

RL= BASE OF EXPONENTIAL WEIGHTING FACTOR

NA= NUMBER OF A-PARAMETERS (NO MAX, MIN 0)

NB= NUMBER OF B-PARAMETERS (NO MAX, MIN 0)

NC= NUMBER OF C-PARAMETERS (NO MAX, MIN 0)

K =NUMBER OF TIME DELAYS IN THE MODEL (NO MAX, MIN 0)

NAB= NA+NB

NP= NA+NB+NC (NO MAX, MIN 1)

K1= K+1

NDAT= NAB+(K1+1)\*(NC+2)-2

NDAT1= NDAT+1

NU1= NA+K+2

N1= NU1+K

SUBROUTINE REQUIRED

NONE

DIMENSION DAT(1), TH(1), P(1), DUM(1)

RES=DAT(1)-DAT(N1)

DENOM=1.

DO 12 I=1,NP

R=0.

DO 10 J=1,NP

L=I\*(I-1)/2+J

IF (J.GT.1) L=J\*(J-1)/2+I

M=K1+J

IF (J.GT.NA) M=M+K1

IF (J.GT.NAB) M=2\*K1+(J-NAB)\*(K1+1)+NAB

R=R+P(L)\*DAT(M)

DUM(I)=R

M=K1+1

IF (I.GT.NA) M=M+K1

IF (I.GT.NAB) M=2\*K1+(I-NAB)\*(K1+1)+NAB

DENOM=DENOM+R\*DAT(M)

RES=RES-DAT(M)\*TH(I)

DO 20 I=1,NP

R=DUM(I)/DENOM

TH(I)=TH(I)+R\*RES

DO 20 J=1,I

L=I\*(I-1)/2+J

P(L)=(P(L)-R\*DUM(J))/RL

R=0,

DO 30 I=1,NP

L=I

IF (I.GT.NA) L=L+K1

IF (I.GT.NAB) L=NAB+K1+(K1+1)\*(I-NAB)

R=R-TH(I)\*DAT(L)

10

12

C

20

C

30